



**ΕΘΝΙΚΟ ΚΑΙ ΚΑΠΟΔΙΣΤΡΙΑΚΟ ΠΑΝΕΠΙΣΤΗΜΙΟ ΑΘΗΝΩΝ**  
**ΣΧΟΛΗ ΘΕΤΙΚΩΝ ΕΠΙΣΤΗΜΩΝ**  
**ΔΙΑΤΜΗΜΑΤΙΚΟ ΜΕΤΑΠΤΥΧΙΑΚΟ ΔΙΠΛΩΜΑ ΕΙΔΙΚΕΥΣΗΣ**  
**ΡΑΔΙΟΗΛΕΚΤΡΟΛΟΓΙΑΣ ΚΑΙ ΗΛΕΚΤΡΟΝΙΚΗΣ (Ρ/Η)**

# **ΘΕΩΡΙΑ ΚΑΙ ΕΦΑΡΜΟΓΕΣ**

# **ΜΙΚΡΟΚΥΜΑΤΩΝ**

**2<sup>ο</sup> ΕΞΑΜΗΝΟ Ρ/Η**

Ιωάννης Γ. Τίγκελης, Αν. Καθηγητής, Τμήμα Φυσικής

# ΠΕΡΙΕΧΟΜΕΝΑ

- ΕΞΙΣΩΣΕΙΣ ΜΑΧWELL
- ΚΥΜΑΤΟΔΗΓΟΣ ΠΑΡΑΛΛΗΛΩΝ ΠΛΑΚΩΝ
- ΚΥΜΑΤΟΔΗΓΟΣ ΟΡΘΟΓΩΝΙΚΗΣ ΔΙΑΤΟΜΗΣ
- ΚΥΛΙΝΔΡΙΚΟΣ ΚΥΜΑΤΟΔΗΓΟΣ
- ΟΜΟΑΞΟΝΙΚΗ ΓΡΑΜΜΗ
- ΓΡΑΜΜΕΣ ΜΕΤΑΦΟΡΑΣ
- ΠΑΡΑΜΕΤΡΟΙ ΣΚΕΔΑΣΗΣ

# ΕΙΣΩΣΕΙΣ MAXWELL (1)

Εξισώσεις  
Maxwell

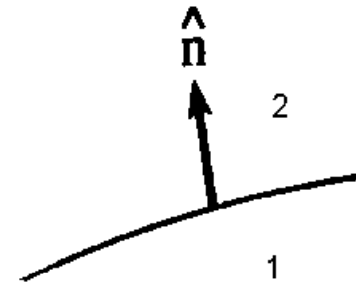
$$\vec{\nabla} \times \vec{E} = -\frac{\partial \vec{B}}{\partial t}, \quad \vec{\nabla} \times \vec{H} = \vec{J} + \frac{\partial \vec{D}}{\partial t}, \quad \vec{\nabla} \cdot \vec{B} = 0, \quad \vec{\nabla} \cdot \vec{D} = \rho$$

Απουσία εξωτερικών πηγών:  $\vec{J} = 0, \quad \rho = 0$

Οριακές Συνθήκες

$$\hat{n} \times (\vec{E}_2 - \vec{E}_1) = 0, \quad \hat{n} \times (\vec{H}_2 - \vec{H}_1) = \vec{K}_s$$

$$\hat{n} \cdot (\vec{D}_2 - \vec{D}_1) = \sigma, \quad \hat{n} \cdot (\vec{B}_2 - \vec{B}_1) = 0$$



$\vec{K}_s$  επιφανειακή πυκνότητα ρεύματος,  $\sigma$  επιφανειακή πυκνότητα φορτίου

Η πυκνότητα ισχύος δίνεται από το διάνυσμα Poynting:

$$\vec{S}_{av} = \vec{E} \times \vec{H} \quad (\text{στο πεδίο του χρόνου})$$

$$\vec{P}_{av} = \frac{1}{2} \text{Re} \{ \vec{E} \times \vec{H}^* \} \quad (\text{στο πεδίο της συχνότητας})$$

## ΕΞΙΣΩΣΕΙΣ MAXWELL (2)

Στην περίπτωση που έχουμε μέσο με πεπερασμένη αγωγιμότητα  $\sigma$ , τότε οι εξισώσεις Maxwell γίνονται:

$$\vec{\nabla} \times \vec{E} = -i\omega\mu_0\vec{H} \Rightarrow \vec{\nabla} \times (\vec{\nabla} \times \vec{E}) = -i\omega\mu_0 (\vec{\nabla} \times \vec{H})$$

$$\vec{\nabla} \times \vec{H} = \vec{J} + i\omega\varepsilon_0\vec{E} \Rightarrow \vec{\nabla} \times \vec{H} = (\sigma + i\omega\varepsilon_0)\vec{E} \Rightarrow$$

$$\vec{\nabla} \times (\vec{\nabla} \times \vec{E}) = -i\omega\mu_0 (\sigma + i\omega\varepsilon_0)\vec{E}$$

Όμως

$$\vec{\nabla} \times (\vec{\nabla} \times \vec{E}) = \vec{\nabla} (\vec{\nabla} \cdot \vec{E}) - \nabla^2 \vec{E} \quad \text{και} \quad \vec{\nabla} \cdot \vec{E} = 0$$

$$\Rightarrow \nabla^2 \vec{E} - i\omega\mu_0 (\sigma + i\omega\varepsilon_0)\vec{E} = 0 \Rightarrow \nabla^2 \vec{E} - \gamma^2 \vec{E} = 0$$

$$\gamma^2 = i\omega\mu_0 (\sigma + i\omega\varepsilon_0) = i\omega\mu_0\sigma - \omega^2\mu_0\varepsilon_0 = -\omega^2\mu_0\varepsilon_0 \left( 1 - i\frac{\sigma}{\omega\varepsilon_0} \right)$$

## ΕΞΙΣΩΣΕΙΣ MAXWELL (3)

$$\gamma = \omega \sqrt{\mu_0 \varepsilon_0} \sqrt{-1 + i \frac{\sigma}{\omega \varepsilon_0}} \equiv \alpha + i\beta,$$

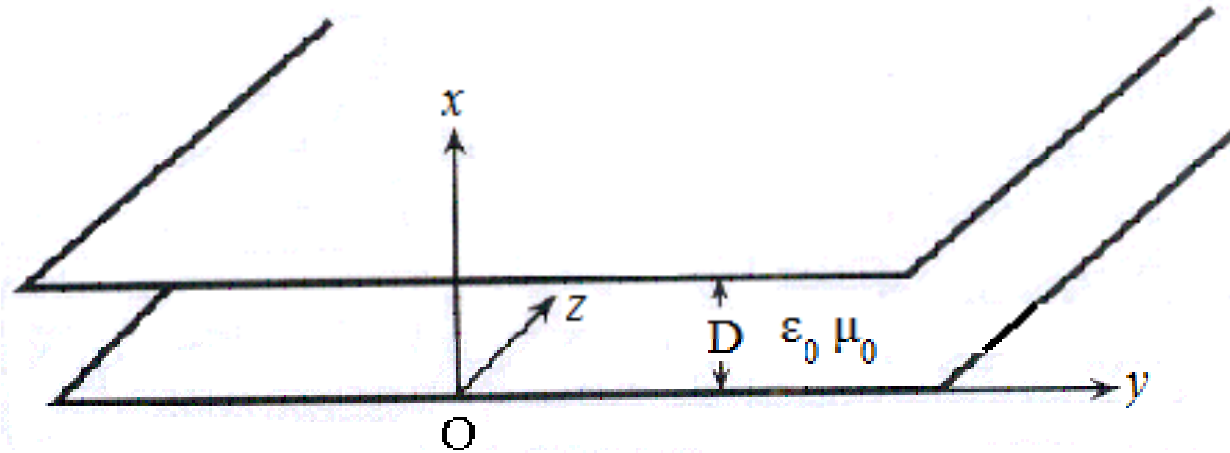
όπου  $\alpha$  είναι ο συντελεστής απωλειών (σε Neper/m) και  $\beta$  η σταθερά διάδοσης (σε rad/m)

$$\text{Όταν } \sigma / (\omega \varepsilon_0) \gg 1, \text{ τότε } \gamma = \omega \sqrt{\mu_0 \varepsilon_0} \sqrt{i \frac{\sigma}{\omega \varepsilon_0}} = \sqrt{i \omega \mu_0 \sigma} = \sqrt{\omega \mu_0 \sigma} \frac{1+i}{\sqrt{2}}$$

$$\Rightarrow \alpha = \sqrt{\frac{\omega \mu_0 \sigma}{2}} \equiv \frac{1}{\delta_s},$$

όπου  $\delta_s$  είναι το βάθος διείσδυσης, δηλαδή το μήκος μέσα στον αγωγό, στο οποίο το πλάτος του πεδίου έχει μειωθεί στο  $1/e$  της τιμής που είχε πάνω στην επιφάνεια του αγωγού.

# ΚΥΜΑΤΟΔΗΓΟΣ ΠΑΡΑΛΛΗΛΩΝ ΠΛΑΚΩΝ (1)



- Τέλεια αγώγιμα τοιχώματα
- Διάδοση στον άξονα  $z$
- Ανεξαρτησία από τη συντεταγμένη  $y$
- Ανάλυση στο πεδίο συχνοτήτων για αρμονικά μεταβαλλόμενα πεδία

$$\vec{E}(x, z, t) = \text{Re} \left\{ \vec{E}(x, z) \exp(+i\omega t) \right\}, \quad \vec{E}(x, z) = \vec{e}(x) \exp(-\gamma z)$$

$$\vec{H}(x, z, t) = \text{Re} \left\{ \vec{H}(x, z) \exp(+i\omega t) \right\}, \quad \vec{H}(x, z) = \vec{h}(x) \exp(-\gamma z)$$

## ΚΥΜΑΤΟΔΗΓΟΣ ΠΑΡΑΛΛΗΛΩΝ ΠΛΑΚΩΝ (2)

$$\vec{\nabla} \times \vec{E} = -i\omega\mu_0\vec{H} \Rightarrow \begin{vmatrix} \hat{x} & \hat{y} & \hat{z} \\ \frac{\partial}{\partial x} & 0 & \frac{\partial}{\partial z} \\ e_x(x)e^{-\gamma z} & e_y(x)e^{-\gamma z} & e_z(x)e^{-\gamma z} \end{vmatrix} = -i\omega\mu_0\vec{h}(x)e^{-\gamma z}$$

Λαμβάνοντας υπόψη ότι  $\frac{\partial}{\partial z} \equiv -\gamma$  προκύπτει:

$$\vec{\nabla} \times \vec{e}(x) = \begin{vmatrix} \hat{x} & \hat{y} & \hat{z} \\ \frac{d}{dx} & 0 & -\gamma \\ e_x(x) & e_y(x) & e_z(x) \end{vmatrix} = -i\omega\mu_0\vec{h}(x)$$

## ΚΥΜΑΤΟΔΗΓΟΣ ΠΑΡΑΛΛΗΛΩΝ ΠΛΑΚΩΝ (3)

$$\left\{ \begin{array}{l} -i\omega\mu_0 h_x(x) = \gamma e_y(x) \quad (1.1a) \\ -i\omega\mu_0 h_y(x) = -\left( \frac{de_z(x)}{dx} + \gamma e_x(x) \right) \quad (1.1b) \\ -i\omega\mu_0 h_z(x) = \frac{de_y(x)}{dx} \quad (1.1c) \end{array} \right.$$

Αντίστοιχα από την εξίσωση  $\vec{\nabla} \times \vec{H} = i\omega\epsilon_0 \vec{E}$  προκύπτουν:

$$\left\{ \begin{array}{l} i\omega\epsilon_0 e_x(x) = \gamma h_y(x) \quad (1.2a) \\ i\omega\epsilon_0 e_y(x) = -\left( \frac{dh_z(x)}{dx} + \gamma h_x(x) \right) \quad (1.2b) \\ i\omega\epsilon_0 e_z(x) = \frac{dh_y(x)}{dx} \quad (1.2c) \end{array} \right.$$



## ΚΥΜΑΤΟΔΗΓΟΣ ΠΑΡΑΛΛΗΛΩΝ ΠΛΑΚΩΝ (4)

- Οι εξισώσεις (1.1a), (1.1c) και (1.2b) έχουν  $e_z = 0$ ,  
**μη** μηδενικές συνιστώσες τις  $e_y$ ,  $h_x$ ,  $h_z$  και αντιστοιχούν σε  
Εγκάρσια Ηλεκτρικά Κύματα (Transverse Electric, TE)
- Οι εξισώσεις (1.1b), (1.2a) και (1.2c) έχουν  $h_z = 0$ ,  
**μη** μηδενικές συνιστώσες τις  $h_y$ ,  $e_x$ ,  $e_z$  και αντιστοιχούν σε  
Εγκάρσια Μαγνητικά Κύματα (Transverse Magnetic, TM)

# ΚΥΜΑΤΟΔΗΓΟΣ ΠΑΡΑΛΛΗΛΩΝ ΠΛΑΚΩΝ (5)

## Κύματα TE

$$(1.1a), (1.1c) \text{ και } (1.2b) \Rightarrow i\omega\varepsilon_0 e_y = -\frac{d}{dx} \left[ -\frac{1}{i\omega\mu_0} \frac{de_y}{dx} \right] - \gamma \frac{\gamma e_y}{-i\omega\mu_0} \stackrel{\times(-i\omega\mu_0)}{\Rightarrow}$$

$$\omega^2 \mu_0 \varepsilon_0 e_y = -\frac{d^2 e_y}{dx^2} - \gamma^2 e_y \Rightarrow e_y''(x) + (\gamma^2 + \omega^2 \mu_0 \varepsilon_0) e_y(x) = 0 \Rightarrow$$

$$e_y''(x) + k_{\perp}^2 e_y(x) = 0 \quad (1.3)$$

$$k_{\perp}^2 = \gamma^2 + \omega^2 \mu_0 \varepsilon_0 = \gamma^2 + (\omega/c)^2 \quad (1.4)$$

### Λύση της κυματικής εξίσωσης (1.3)

$$k_{\perp}^2 = s^2 > 0 \Rightarrow e_y(x) = A' e^{isx} + B' e^{-isx} = A \cos(sx) + B \sin(sx)$$

$$k_{\perp}^2 = -q^2 < 0 \Rightarrow e_y(x) = A e^{qx} + B e^{-qx}$$

## ΚΥΜΑΤΟΔΗΓΟΣ ΠΑΡΑΛΛΗΛΩΝ ΠΛΑΚΩΝ (6)

Προφανώς στο συγκεκριμένο πρόβλημα θέλουμε **περιοδικές** λύσεις:

$$e_y(x) = A \cos(k_{\perp} x) + B \sin(k_{\perp} x), \quad k_{\perp}^2 = \gamma^2 + (\omega/c)^2$$

### Οριακές Συνθήκες

$$e_y(x=0) = 0 \quad \text{και} \quad e_y(x=D) = 0$$

$$e_y(x=0) = 0 \Rightarrow A = 0$$

$$e_y(x=D) = 0 \Rightarrow k_{\perp} D = m\pi, \quad m = 1, 2, 3, \dots$$

Η λύση  $m = 0$  **απορρίπτεται**, γιατί διαφορετικά  $e_y = 0$  και  $h_x = 0$ .

$$k_{\perp}^2 > 0, \text{ δηλαδή } \left(\frac{m\pi}{D}\right)^2 = \gamma^2 + (\omega/c)^2 > 0 \Rightarrow \gamma_m^2 = \left(\frac{m\pi}{D}\right)^2 - \left(\frac{\omega}{c}\right)^2$$

## ΚΥΜΑΤΟΔΗΓΟΣ ΠΑΡΑΛΛΗΛΩΝ ΠΛΑΚΩΝ (7)

I)  $\gamma_m^2 = 0$  αποκοπή  $\Rightarrow \omega_m = \frac{m\pi c}{D}$  (συχνότητα αποκοπής)

II)  $\gamma_m^2 > 0$  απόσβεση  $\Rightarrow \omega < \omega_m \Rightarrow \gamma_m = a_m \in R$

III)  $\gamma_m^2 < 0$  διάδοση  $\Rightarrow \omega > \omega_m \Rightarrow \gamma_m = i\beta_m \in I \Rightarrow \beta_m = \frac{\sqrt{\omega^2 - \omega_m^2}}{c}$

$$\beta_m^2 = \left(\frac{\omega}{c}\right)^2 - \left(\frac{\omega_m}{c}\right)^2 \Rightarrow \left(\frac{2\pi}{\lambda_{gm}}\right)^2 = \left(\frac{2\pi f}{c}\right)^2 - \left(\frac{2\pi f_m}{c}\right)^2 \Rightarrow \frac{1}{\lambda_{gm}^2} = \frac{1}{\lambda_0^2} - \frac{1}{\lambda_m^2}$$

όπου  $\lambda_{gm} = \frac{2\pi}{\beta_m}$  μήκος κύματος μέσα στον κυματοδηγό,

$\lambda_0$  μήκος κύματος ελευθέρου χώρου και  $\lambda_m$  μήκος κύματος αποκοπής

$$u_{\varphi m} = \frac{\omega}{\beta_m} = \frac{c}{\sqrt{1 - (\omega_m / \omega)^2}} > c \quad \text{φασική ταχύτητα}$$

$$u_{gm} = \frac{\partial \omega}{\partial \beta_m} = c \sqrt{1 - (\omega_m / \omega)^2} < c \quad \text{ταχύτητα ομάδας}$$

## ΚΥΜΑΤΟΔΗΓΟΣ ΠΑΡΑΛΛΗΛΩΝ ΠΛΑΚΩΝ (8)

$$E_y(x, z) = A \sin\left(\frac{m\pi x}{D}\right) e^{-i\beta_m z}, \quad H_x(x, z) = -\frac{\beta_m}{\omega\mu_0} E_y(x, z)$$

$$H_z(x, z) = -\frac{1}{i\omega\mu_0} \frac{\partial E_y}{\partial x} = -\frac{1}{i\omega\mu_0} A \left(\frac{m\pi}{D}\right) \cos\left(\frac{m\pi x}{D}\right) e^{-i\beta_m z}$$

Η ισχύς που μεταφέρεται από το ρυθμό είναι:

$$\vec{P}_{av} = \frac{1}{2} \operatorname{Re}\{\vec{E} \times \vec{H}^*\} = \frac{1}{2} \operatorname{Re} \begin{vmatrix} \hat{x} & \hat{y} & \hat{z} \\ 0 & E_y & 0 \\ H_x^* & 0 & H_z^* \end{vmatrix} = \frac{1}{2} \operatorname{Re}\{\hat{x}E_yH_z^* - \hat{z}E_yH_x^*\}$$

$$= -\frac{1}{2} \hat{z} \operatorname{Re}\left\{-\frac{\beta_m}{\omega\mu_0} E_y E_y^*\right\} = \hat{z} \frac{\beta_m}{2\omega\mu_0} |A|^2 \sin^2\left(\frac{m\pi x}{D}\right) \left[\frac{W}{m^2}\right]$$

$$P_{ολ} = \oint \vec{P}_{av} \cdot d\vec{S} = \int_0^D dx \frac{\beta_m}{2\omega\mu_0} |A|^2 \sin^2\left(\frac{m\pi x}{D}\right) = \frac{\beta_m D}{4\omega\mu_0} |A|^2 \left[\frac{W}{m}\right]$$

# ΚΥΜΑΤΟΔΗΓΟΣ ΠΑΡΑΛΛΗΛΩΝ ΠΛΑΚΩΝ (9)

Για τον πρώτο ρυθμό  $TE_1$

$$E_y(x, z) = A \sin\left(\frac{\pi x}{D}\right) e^{-i\beta_1 z}$$

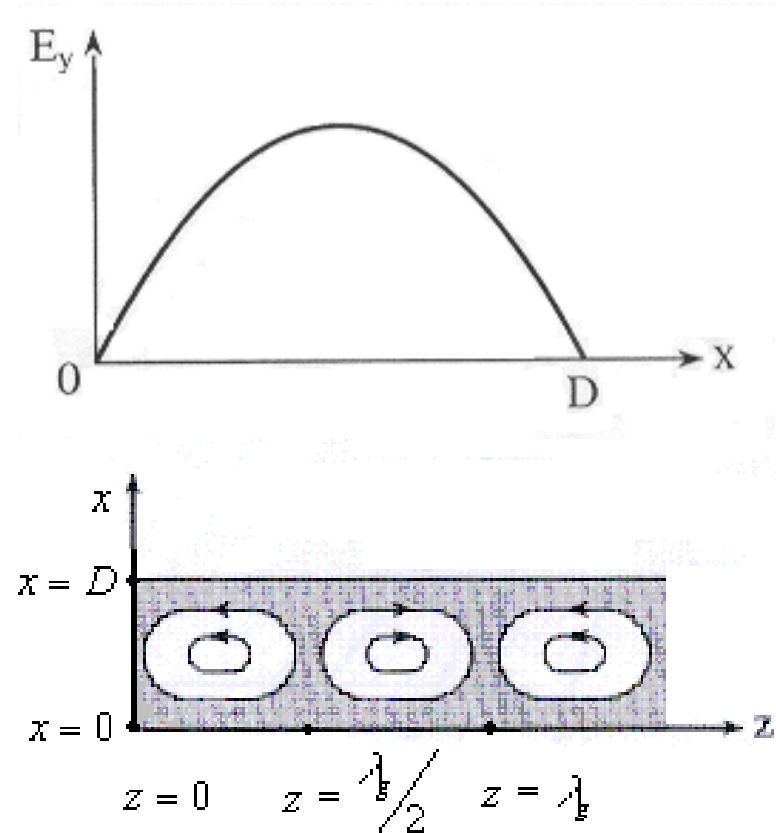
$$H_x(x, z) = -\frac{\beta_1}{\omega\mu_0} A \sin\left(\frac{\pi x}{D}\right) e^{-i\beta_1 z}$$

$$H_z(x, z) = -\frac{1}{i\omega\mu_0} A \left(\frac{\pi}{D}\right) \cos\left(\frac{\pi x}{D}\right) e^{-i\beta_1 z}$$

$$E_y(x, z, t) = A \sin\left(\frac{\pi x}{D}\right) \cos(\omega t - \beta_1 z)$$

$$H_x(x, z, t) = -\frac{\beta_1}{\omega\mu_0} A \sin\left(\frac{\pi x}{D}\right) \cos(\omega t - \beta_1 z)$$

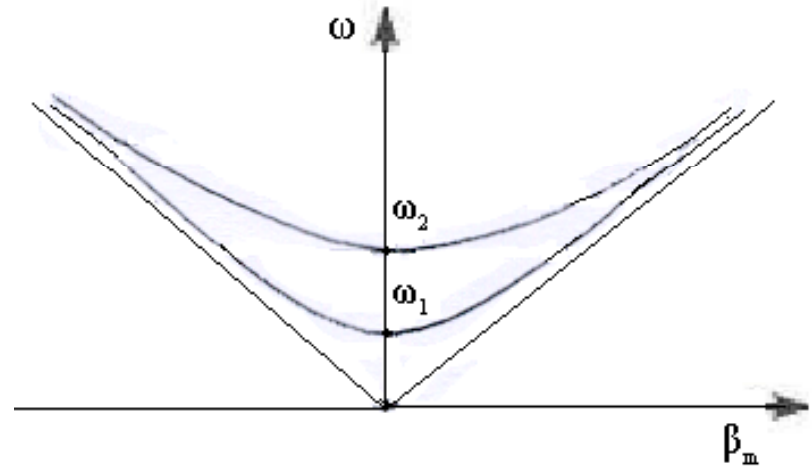
$$H_z(x, z, t) = \frac{1}{\omega\mu_0} A \left(\frac{\pi}{D}\right) \cos\left(\frac{\pi x}{D}\right) \cos\left(\omega t - \beta_1 z + \frac{\pi}{2}\right)$$



# ΚΥΜΑΤΟΔΗΓΟΣ ΠΑΡΑΛΛΗΛΩΝ ΠΛΑΚΩΝ (10)

$$\beta_m^2 = \frac{\omega^2 - \omega_m^2}{c^2} \Rightarrow \omega^2 = \omega_m^2 + c^2 \beta_m^2$$

Οι δύο λύσεις που προκύπτουν για κάθε  $\omega$  αντιστοιχούν σε διάδοση κατά  $+z$  και  $-z$ , αντίστοιχα



Κυματική ή χαρακτηριστική αντίσταση του ρυθμού  $TE_m$

$$Z_{TE_m} \equiv -\frac{E_y}{H_x} = \frac{\omega\mu_0}{\beta_m}$$

## ΚΥΜΑΤΟΔΗΓΟΣ ΠΑΡΑΛΛΗΛΩΝ ΠΛΑΚΩΝ (11)

Όταν ο κυματοδηγός έχει τοιχώματα με πεπερασμένη αγωγιμότητα, τότε αυτά εμφανίζουν επιφανειακή αντίσταση, το εφαπτομενικό ηλεκτρικό πεδίο σε αυτά είναι **μη** μηδενικό και είναι ίσο με  $Z_G \mathbf{K}_s$ , οπότε έχουμε ωμικές απώλειες στα τοιχώματα:

$$\begin{aligned} P_{\omega\mu} &= \frac{1}{2} \operatorname{Re} \left\{ (\vec{E} \times \vec{H}^*) \cdot \hat{n} \right\} = \frac{1}{2} \operatorname{Re} \left\{ (\vec{H}^* \times \hat{n}) \cdot \vec{E} \right\} \\ &= -\frac{1}{2} \operatorname{Re} \left\{ (\hat{n} \times \vec{H}^*) \cdot \vec{E} \right\} = -\frac{1}{2} \operatorname{Re} \left\{ \vec{E} \cdot (\hat{n} \times \vec{H}^*) \right\} = \frac{1}{2} \operatorname{Re} \left\{ Z_G \vec{K}_s \cdot \vec{K}_s^* \right\} \Rightarrow \end{aligned}$$

$$P_{\omega\mu} = \frac{R_G}{2\sigma\delta_s} |\vec{K}_s|^2 \Rightarrow$$

$$P_{\omega\mu} = \frac{R_G}{2\sigma\delta_s} \oint_C |\vec{K}_s|^2 dl$$

όπου  $P_{\omega\mu}$  είναι οι ωμικές απώλειες στα τοιχώματα,  $R_G$  το πραγματικό μέρος της επιφανειακής αντίστασης των τοιχωμάτων και  $C$  η επιφάνεια των τοιχωμάτων που έχουν απώλειες.



## ΚΥΜΑΤΟΔΗΓΟΣ ΠΑΡΑΛΛΗΛΩΝ ΠΛΑΚΩΝ (12)

Τότε τα τοιχώματα έχουν αντίσταση:

$$Z_G = \frac{i\omega\mu_0}{\gamma} = \frac{i\omega\mu_0}{\sqrt{i\omega\mu_0\sigma}} = \sqrt{\frac{i\omega\mu_0}{\sigma}} = \frac{1+i}{\sqrt{2}} \sqrt{\frac{\omega\mu_0}{\sigma}} = \frac{1+i}{\sigma\delta_s}, \quad \vec{E}_t = Z_G \vec{K}_s$$

$$\vec{K}_s(x=0) = \hat{x} \times \vec{H}(0, z) = \hat{x} \times \hat{z} H_z(0, z) = -\hat{y} \frac{-1}{i\omega\mu_0} A \left( \frac{\pi}{D} \right) e^{-i\beta_1 z}$$

$$\Rightarrow \vec{K}_s(x=0) = \hat{y} \frac{1}{i\omega\mu_0} A \left( \frac{\pi}{D} \right) e^{-i\beta_1 z}$$

$$\vec{K}_s(x=D) = -\hat{x} \times \vec{H}(D, z) = -\hat{x} \times \hat{z} H_z(D, z) = \hat{y} \frac{-1}{i\omega\mu_0} A \left( \frac{\pi}{D} \right) \cos(\pi) e^{-i\beta_1 z}$$

$$\Rightarrow \vec{K}_s(x=D) = \hat{y} \frac{1}{i\omega\mu_0} A \left( \frac{\pi}{D} \right) e^{-i\beta_1 z}$$

$$|\vec{K}_s(x=0)|^2 = |\vec{K}_s(x=D)|^2 = \left( \frac{A\pi}{\omega\mu_0 D} \right)^2$$

## ΚΥΜΑΤΟΔΗΓΟΣ ΠΑΡΑΛΛΗΛΩΝ ΠΛΑΚΩΝ (13)

$$P_{\omega\mu} = \frac{1}{2} \operatorname{Re} \left\{ \frac{1+i}{\sigma\delta_s} \vec{K}_s \cdot \vec{K}_s^* \right\} = \frac{1}{2\sigma\delta_s} |\vec{K}_s|^2 = \frac{|\vec{H}_t|^2}{2\sigma\delta_s} \Rightarrow$$

$$P_{\omega\mu} = \frac{1}{2\sigma\delta_s} 2|A|^2 \left( \frac{\pi}{\omega\mu_0 D} \right)^2 = \frac{|A|^2}{\sigma\delta_s} \left( \frac{\pi}{\omega\mu_0 D} \right)^2$$

Λαμβάνοντας υπόψη και τις απώλειες το ηλεκτρικό πεδίο γίνεται:

$$\tilde{e}_y(x, z) = e_y(x) e^{-az} e^{-i\beta_m z}$$

όπου  $a$  είναι ο συντελεστής εξασθένισης πεδίου λόγω ωμικών απωλειών.

Επομένως η μείωση ισχύος κατά μήκος του κυματοδηγού είναι:

$$\Delta P = P(z_0) - P(z_0 + \Delta z) = P_{\omega\mu} \Delta z,$$

$$\text{Όμως } P(z) \propto e^{-2az} \Rightarrow P'(z) = -2aP(z)$$

$$P_{\omega\mu} = -\frac{P(z_0 + \Delta z) - P(z_0)}{\Delta z} = -P'(z_0) \Rightarrow a = \frac{P_{\omega\mu}}{2P(z)}$$

# ΚΥΜΑΤΟΔΗΓΟΣ ΠΑΡΑΛΛΗΛΩΝ ΠΛΑΚΩΝ (14)

## Κύματα TM

$$h_y''(x) + k_{\perp}^2 h_y(x) = 0 \Rightarrow h_y(x) = A \sin(k_{\perp} x) + B \cos(k_{\perp} x)$$

$$\vec{\nabla} \times \vec{h} = i\omega\epsilon_0 \vec{e} \Rightarrow \frac{dh_y}{dx} = i\omega\epsilon_0 e_z, \gamma h_y = i\omega\epsilon_0 e_x$$

Το εφαπτομενικό ηλεκτρικό πεδίο πρέπει να μηδενίζεται στα τοιχώματα, δηλαδή  $h_y'(x) = Ak_{\perp} \cos(k_{\perp} x) - Bk_{\perp} \sin(k_{\perp} x) = 0$  για  $x = 0$  και  $x = D$

$$\Rightarrow A = 0 \text{ και } k_{\perp} D = m\pi, m = 0, 1, 2, \dots$$

$$H_y(x, z) = H_0 \cos(k_{\perp} x) e^{-i\beta z},$$

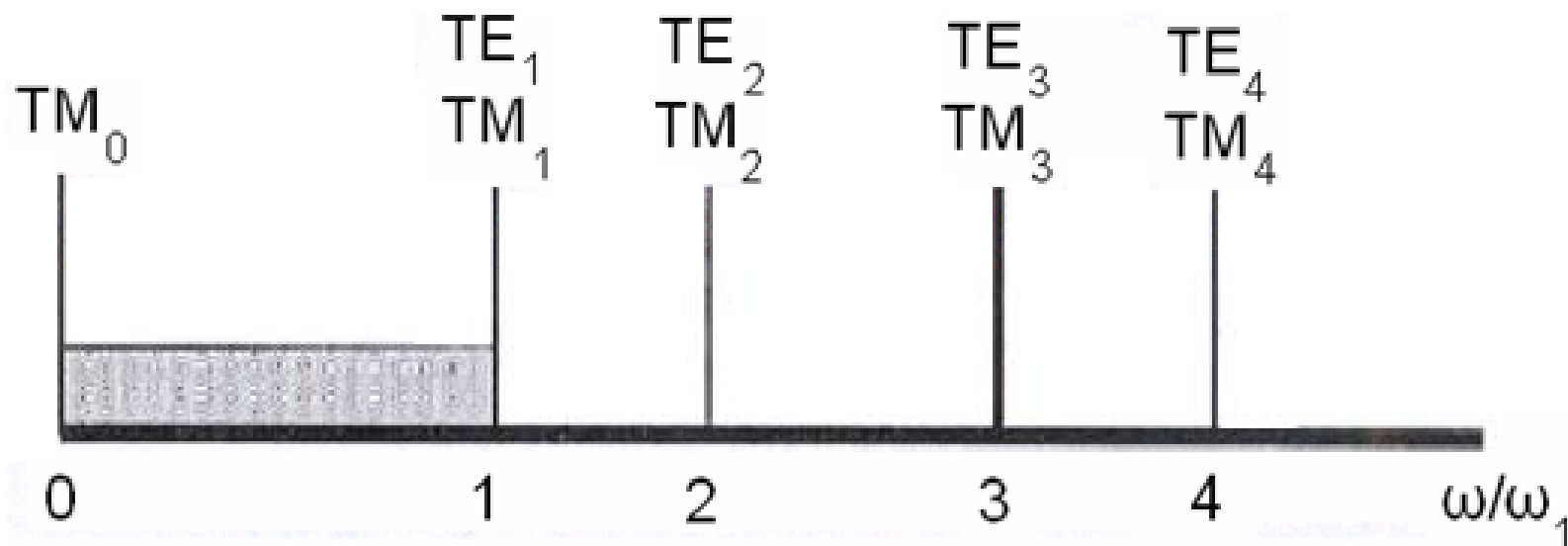
$$E_z(x, z) = -\frac{1}{i\omega\epsilon_0} H_0 k_{\perp} \sin(k_{\perp} x) e^{-i\beta z}$$

$$E_x(x, z) = \frac{\beta}{\omega\epsilon_0} H_0 \cos(k_{\perp} x) e^{-i\beta z}$$

## ΚΥΜΑΤΟΔΗΓΟΣ ΠΑΡΑΛΛΗΛΩΝ ΠΛΑΚΩΝ (15)

$$\text{Για } m = 0 \quad H_y(x, z) = H_0 e^{-i\beta z} \quad \text{και} \quad E_x(x, z) = \frac{\beta}{\omega \epsilon_0} H_0 e^{-i\beta z}$$

έχουμε επίπεδο κύμα ( $H_y, E_x \neq 0$ ) σε αντίθεση με τα ΤΕ.



# ΚΥΜΑΤΟΔΗΓΟΣ ΠΑΡΑΛΛΗΛΩΝ ΠΛΑΚΩΝ (16)

**Άσκηση 1.** Έστω ότι σε κυματοδηγό παράλληλων πλακών στο επίπεδο  $z=0$  υπάρχει κατανομή ρεύματος στην κατεύθυνση του θετικού άξονα των  $y$  και με συνάρτηση  $J_0(x)$ . Να βρείτε το είδος κυμάτων που μπορούν να διαδοθούν στις περιοχές  $z < 0$  και  $z > 0$ .

**Λύση**

$$E_y^I(x, z) = \sum_{n=1}^{\infty} A_n \sin\left(\frac{n\pi x}{D}\right) \exp(+\gamma_n z), \quad z < 0 \quad (1)$$

$$E_y^{II}(x, z) = \sum_{n=1}^{\infty} B_n \sin\left(\frac{n\pi x}{D}\right) e(-\gamma_n z), \quad z > 0 \quad (2)$$

$$\vec{\nabla} \times \vec{E} = -i\omega\mu_0 \vec{H} \Rightarrow \begin{vmatrix} \hat{x} & \hat{y} & \hat{z} \\ \frac{\partial}{\partial x} & 0 & \frac{\partial}{\partial z} \\ 0 & E_y & 0 \end{vmatrix} = -i\omega\mu_0 \vec{H} \Rightarrow \frac{\partial E_y}{\partial z} = i\omega\mu_0 H_x \quad (3)$$

## ΚΥΜΑΤΟΔΗΓΟΣ ΠΑΡΑΛΛΗΛΩΝ ΠΛΑΚΩΝ (16)

$$(3) \begin{matrix} \xrightarrow{(1)} \\ \xrightarrow{(2)} \end{matrix} \left\{ \begin{array}{l} H_x^I(x, z) = \sum_{n=1}^{\infty} \left( \frac{\gamma_n}{i\omega\mu_0} \right) A_n \sin\left(\frac{n\pi x}{D}\right) e^{+\gamma_n z}, z < 0 \quad (4) \\ H_x^{II}(x, z) = \sum_{n=1}^{\infty} \left( \frac{-\gamma_n}{i\omega\mu_0} \right) A_n \sin\left(\frac{n\pi x}{D}\right) e^{-\gamma_n z}, z > 0 \quad (5) \end{array} \right.$$

$$z = 0 \quad \hat{z} \times (\vec{E}_y^{II} - \vec{E}_y^I) = 0 \Rightarrow E_y^{II}(x, 0) = E_y^I(x, 0) \quad (6)$$

$$\hat{z} \times (\vec{H}^{II} - \vec{H}^I) = \vec{J} \Rightarrow H_x^{II} - H_x^I = J_0(x) \quad (7)$$

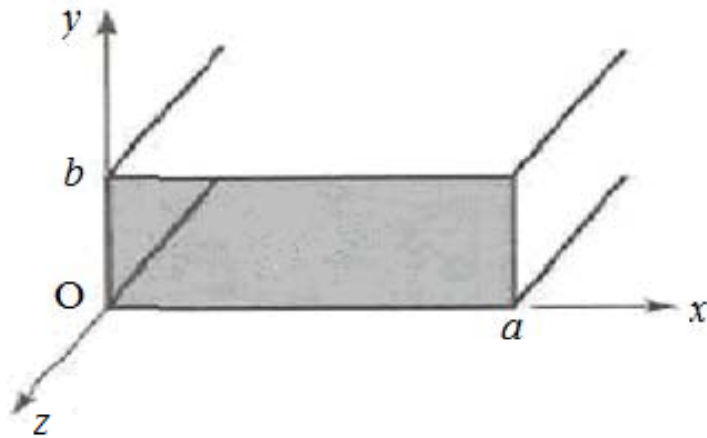
$$(6) \begin{matrix} \xrightarrow{(1)} \\ \xrightarrow{(2)} \end{matrix} \sum_{n=1}^{\infty} A_n \sin\left(\frac{n\pi x}{D}\right) = \sum_{n=1}^{\infty} B_n \sin\left(\frac{n\pi x}{D}\right) \Rightarrow A_n = B_n$$

$$(7) \begin{matrix} \xrightarrow{(4)} \\ \xrightarrow{(5)} \end{matrix} J_0(x) = -\frac{2}{i\omega\mu_0} \sum_{n=1}^{\infty} A_n \gamma_n \sin\left(\frac{n\pi x}{D}\right) \Rightarrow$$

$$A_n = -\frac{i\omega\mu_0}{2\gamma_n D} \int_0^D J_0(x) \sin\left(\frac{n\pi x}{D}\right) dx$$

# ΚΥΜΑΤΟΔΗΓΟΣ ΟΡΘΟΓΩΝΙΚΗΣ ΔΙΑΤΟΜΗΣ (1)

$$\vec{E}(x, y, z) = \vec{e}(x, y) \exp(-\gamma z) \quad \vec{H}(x, y, z) = \vec{h}(x, y) \exp(-\gamma z)$$



$$\vec{\nabla} \times \vec{E} = -i\omega\mu_0 \vec{H} \Rightarrow \left\{ \begin{array}{l} -i\omega\mu_0 h_x = \frac{\partial e_z}{\partial y} + \gamma e_y \quad (1.4a) \\ -i\omega\mu_0 h_y = -\left( \frac{\partial e_z}{\partial x} + \gamma e_x \right) \quad (1.4b) \\ -i\omega\mu_0 h_z = \frac{\partial e_y}{\partial x} - \frac{\partial e_x}{\partial y} \quad (1.4c) \end{array} \right.$$

$$\vec{\nabla} \times \vec{H} = i\omega\varepsilon_0 \vec{E} \Rightarrow \left\{ \begin{array}{l} i\omega\varepsilon_0 e_x = \frac{\partial h_z}{\partial y} + \gamma h_y \quad (1.4d) \\ i\omega\varepsilon_0 e_y = -\left( \frac{\partial h_z}{\partial x} + \gamma h_x \right) \quad (1.4e) \\ i\omega\varepsilon_0 e_z = \frac{\partial h_y}{\partial x} - \frac{\partial h_x}{\partial y} \quad (1.4f) \end{array} \right.$$

## ΚΥΜΑΤΟΔΗΓΟΣ ΟΡΘΟΓΩΝΙΚΗΣ ΔΙΑΤΟΜΗΣ (2)

$$(1.4e) \stackrel{(1.4a)}{\Rightarrow} i\omega\epsilon_0 e_y = -\frac{\partial h_z}{\partial x} + \frac{\gamma}{i\omega\mu_0} \left( \frac{\partial e_z}{\partial y} + \gamma e_y \right) \Rightarrow$$

$$\left[ \gamma^2 + \left( \frac{\omega}{c} \right)^2 \right] e_y = -\gamma \frac{\partial e_z}{\partial y} + i\omega\mu_0 \frac{\partial h_z}{\partial x}, \quad \gamma^2 + \left( \frac{\omega}{c} \right)^2 \equiv k_{\perp}^2 \neq 0 \Rightarrow$$

$$e_y(x, y) = \frac{1}{k_{\perp}^2} \left[ -\gamma \frac{\partial e_z}{\partial y} + i\omega\mu_0 \frac{\partial h_z}{\partial x} \right] \quad (1.5)$$

$$e_x(x, y) = \frac{1}{k_{\perp}^2} \left[ -\gamma \frac{\partial e_z}{\partial x} - i\omega\mu_0 \frac{\partial h_z}{\partial y} \right] \quad (1.6)$$

$$h_x(x, y) = \frac{1}{k_{\perp}^2} \left[ i\omega\epsilon_0 \frac{\partial e_z}{\partial y} - \gamma \frac{\partial h_z}{\partial x} \right] \quad (1.7)$$

$$h_y(x, y) = \frac{1}{k_{\perp}^2} \left[ -i\omega\epsilon_0 \frac{\partial e_z}{\partial x} - \gamma \frac{\partial h_z}{\partial y} \right] \quad (1.8)$$

**Υπέρθεση TE και TM κυμάτων**



### ΚΥΜΑΤΟΔΗΓΟΣ ΟΡΘΟΓΩΝΙΚΗΣ ΔΙΑΤΟΜΗΣ (3)

$$(1.4c), (1.4f) \xrightarrow[(1.7),(1.8)]{(1.5),(1.6)} \left( \frac{\partial^2}{\partial x^2} + \frac{\partial^2}{\partial y^2} + k_{\perp}^2 \right) \begin{pmatrix} e_z \\ h_z \end{pmatrix} = 0$$

Μέθοδος χωρισμένων μεταβλητών:  $\Phi(x, y) = X(x)Y(y)$

$$\left( \frac{\partial^2}{\partial x^2} + \frac{\partial^2}{\partial y^2} + k_{\perp}^2 \right) \Phi(x, y) = 0 \quad \forall (x, y) \in S$$

$$\Rightarrow Y(y)X''(x) + Y''(y)X(x) + k_{\perp}^2 X(x)Y(y) = 0$$

$$\frac{X''(x)}{X(x)} + \frac{Y''(y)}{Y(y)} + k_{\perp}^2 = 0 \quad \forall (x, y) \in S$$

$$\frac{X''(x)}{X(x)} = -k_x^2 \Rightarrow X(x) = A_x \cos(k_x x) + B_x \sin(k_x x)$$

$$\frac{Y''(y)}{Y(y)} = -k_y^2 \Rightarrow Y(y) = A_y \cos(k_y y) + B_y \sin(k_y y)$$

$$k_x^2, k_y^2: \text{σταθερές, } k_x^2 + k_y^2 = k_{\perp}^2 = \gamma^2 + (\omega/c)^2 \neq 0$$

# ΚΥΜΑΤΟΔΗΓΟΣ ΟΡΘΟΓΩΝΙΚΗΣ ΔΙΑΤΟΜΗΣ (4)

## Κύματα TE

$$e_z = 0, h_z \neq 0 \Rightarrow e_y \propto \frac{\partial h_z}{\partial x} = X'(x)Y(y) \text{ και } e_x \propto \frac{\partial h_z}{\partial y} = X(x)Y'(y)$$

Οριακές Συνθήκες:

$$\left. \begin{array}{l} e_x(x,0) = 0 \\ e_x(x,b) = 0 \end{array} \right\} \text{ και } \left. \begin{array}{l} e_y(0,y) = 0 \\ e_y(a,y) = 0 \end{array} \right\}$$

$$e_x(x,0) = 0 \Rightarrow X(x)Y'(0) = 0 \quad \forall x \Rightarrow Y'(0) = 0 \Rightarrow B_y = 0$$

$$e_x(x,b) = 0 \Rightarrow Y'(b) = 0 \Rightarrow -k_y B_y \sin(k_y b) = 0 \Rightarrow k_y b = n\pi, n = 0, 1, 2, \dots$$

$$e_y(0,y) = 0 \Rightarrow X'(0)Y(y) = 0 \quad \forall y \Rightarrow X'(0) = 0 \Rightarrow B_x = 0$$

$$e_y(a,y) = 0 \Rightarrow X'(a) = 0 \Rightarrow \sin(k_x a) = 0 \Rightarrow k_x a = m\pi, m = 0, 1, 2, \dots$$

$$\boxed{m + n \neq 0}$$

## ΚΥΜΑΤΟΔΗΓΟΣ ΟΡΘΟΓΩΝΙΚΗΣ ΔΙΑΤΟΜΗΣ (5)

$$\text{I) } \gamma_{mn} = 0 \Rightarrow \omega_{mn} = c \sqrt{\left(\frac{m\pi}{a}\right)^2 + \left(\frac{n\pi}{b}\right)^2} \quad \text{ή} \quad f_{mn} = \frac{c}{2} \sqrt{\left(\frac{m}{a}\right)^2 + \left(\frac{n}{b}\right)^2}$$

$$\text{II) } \gamma_{mn}^2 > 0 \Rightarrow \omega < \omega_{mn} \text{ απόσβεση } (e^{-a_{mn}z}), \quad a_{mn} = \sqrt{\frac{\omega_{mn}^2 - \omega^2}{c^2}}$$

$$\text{III) } \gamma_{mn}^2 < 0 \Rightarrow \omega > \omega_{mn} \text{ διάδοση } (e^{-i\beta_{mn}z}), \quad \beta_{mn} = \sqrt{\frac{\omega^2 - \omega_{mn}^2}{c^2}},$$

$$\omega^2 = \omega_{mn}^2 + c^2 \beta_{mn}^2$$

$$\text{Για } b < a < 2b: f_{10} = \frac{c}{2a}, f_{01} = \frac{c}{2b}, f_{20} = \frac{c}{a} \Rightarrow f_{10} < f_{01} < f_{20},$$

δηλ. πρώτος ρυθμός ο  $TE_{10}$

Αν  $f < f_{10}$ , το κύμα σβήνει εκθετικά κατά μήκος του άξονα διάδοσης και μετά από μερικά cm δεν υπάρχει.

# ΚΥΜΑΤΟΔΗΓΟΣ ΟΡΘΟΓΩΝΙΚΗΣ ΔΙΑΤΟΜΗΣ (6)

## Κύματα TM

$$h_z = 0, \quad e_z(x, y) = X(x)Y(y) \neq 0$$

Οριακές συνθήκες:

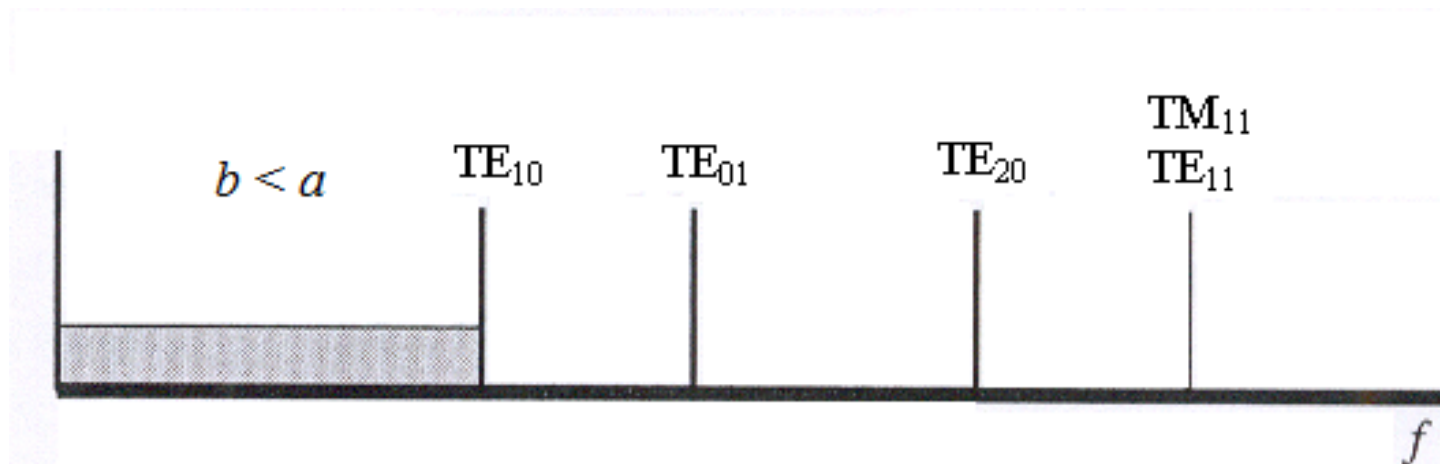
$$e_z(x, 0) = 0 \Rightarrow A_y = 0$$

$$e_z(0, y) = 0 \Rightarrow A_x = 0$$

$$e_z(x, b) = 0 \Rightarrow k_y b = n\pi, \quad n = 1, 2, \dots$$

$$e_z(a, y) = 0 \Rightarrow k_x a = m\pi, \quad m = 1, 2, \dots$$

$$m \cdot n \neq 0$$



# ΚΥΜΑΤΟΔΗΓΟΣ ΟΡΘΟΓΩΝΙΚΗΣ ΔΙΑΤΟΜΗΣ (7)

## Ρυθμός $TE_{10}$

$$H_z(x, z) = H_0 \cos\left(\frac{\pi x}{a}\right) e^{-i\beta_{10}z}$$

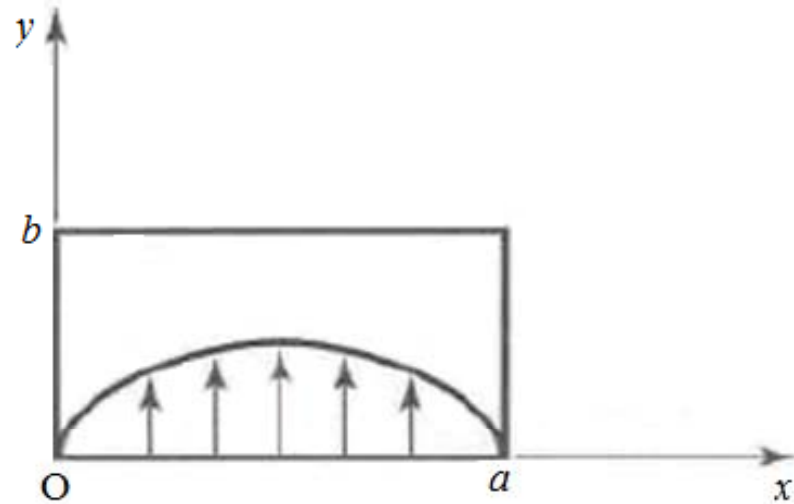
$$E_y(x, z) = -\frac{i\omega\mu_0 a}{\pi} H_0 \sin\left(\frac{\pi x}{a}\right) e^{-i\beta_{10}z}$$

$$H_x(x, z) = \frac{i\beta_{10}a}{\pi} H_0 \sin\left(\frac{\pi x}{a}\right) e^{-i\beta_{10}z}$$

$$E_x = E_z = H_y = 0$$

$$k_x = \frac{\pi}{a}, \quad k_y = 0$$

$$\beta_{10} = \sqrt{\left(\frac{\omega}{c}\right)^2 - \left(\frac{\pi}{a}\right)^2}, \quad Z_{TE_{10}} = -\frac{E_y}{H_x} = \frac{\omega\mu_0}{\beta_{10}}$$



## ΚΥΜΑΤΟΔΗΓΟΣ ΟΡΘΟΓΩΝΙΚΗΣ ΔΙΑΤΟΜΗΣ (8)

Ισχύς που μεταφέρεται από τον κυματοδηγό:

$$\vec{P}_{av} = \frac{1}{2} \operatorname{Re} \left\{ \hat{y} E_y \times (\hat{x} H_x^* + \hat{z} H_z^*) \right\} = \frac{1}{2} \operatorname{Re} \left\{ -\hat{z} E_y H_x^* + \hat{x} E_y H_z^* \right\}$$

$$= \frac{1}{2} \operatorname{Re} \left\{ -\hat{z} E_y \frac{-E_y^*}{Z_{TE_{10}}} \right\} = \hat{z} \frac{|E_y|^2}{2Z_{TE_{10}}} \left( \frac{W}{m^2} \right)$$

$$P_{o\lambda} = \frac{\omega^2 \mu_0^2 a^2}{2\pi^2 Z_{TE_{10}}} |H_0|^2 \int_0^a \sin^2 \left( \frac{\pi x}{a} \right) dx \int_0^b dy = \frac{\omega^2 \mu_0^2 a^3 b}{4\pi Z_{TE_{10}}} |H_0|^2$$

Εξασθένιση από την πεπερασμένη αγωγιμότητα των τοιχωμάτων:

$$P_{\sigma} = \frac{1}{2\sigma\delta_s} \int |\vec{K}_s|^2 d\vec{l}$$

$$\vec{K}_s(x=0) = \hat{x} \times \vec{H}(x=0, y, z) = \hat{x} \times \hat{z} H_0 \cos \left( \frac{\pi}{a} 0 \right) e^{-i\beta_{10}z} = -\hat{y} H_0 e^{-i\beta_{10}z}$$

$$\vec{K}_s(x=a) = -\hat{x} \times \vec{H}(x=a, y, z) = -\hat{x} \times \hat{z} H_0 \cos(\pi) e^{-i\beta_{10}z} = -\hat{y} H_0 e^{-i\beta_{10}z}$$

## ΚΥΜΑΤΟΔΗΓΟΣ ΟΡΘΟΓΩΝΙΚΗΣ ΔΙΑΤΟΜΗΣ (9)

$$\vec{K}_s (y = 0) = \hat{y} \times \vec{H} (x, y = 0) = -\hat{z}H_x (x, 0) + \hat{x}H_z (x, 0)$$

$$\Rightarrow \vec{K}_s (y = 0) = -\hat{z} \frac{i\beta_{10}a}{\pi} H_0 \sin\left(\frac{\pi x}{a}\right) e^{-i\beta_{10}z} + \hat{x}H_0 \cos\left(\frac{\pi x}{a}\right) e^{-i\beta_{10}z}$$

$$\vec{K}_s (y = b) = -\hat{y} \times \vec{H} (x, b) = \hat{z}H_x (x, b) - \hat{x}H_z (x, b)$$

$$\Rightarrow \vec{K}_s (y = b) = \hat{z} \frac{i\beta_{10}a}{\pi} H_0 \sin\left(\frac{\pi x}{a}\right) e^{-i\beta_{10}z} - \hat{x}H_0 \cos\left(\frac{\pi x}{a}\right) e^{-i\beta_{10}z}$$

$$P_\sigma = \frac{1}{2\sigma\delta_s} \int |\vec{K}_s|^2 dl = \frac{1}{2\sigma\delta_s} 2 \left[ \int_0^a dx |\vec{K}_s (y = 0)|^2 + \int_0^b dy |\vec{K}_s (x = 0)|^2 \right]$$

$$\Rightarrow P_\sigma = \frac{1}{\sigma\delta_s} |H_0|^2 \left( b + \frac{a}{2} + \frac{\beta^2 a^3}{2\pi^2} \right) \left( \frac{W}{m} \right)$$

$$a = \frac{\pi Z_{TE_{10}} \left( 2b + a + \frac{\beta^2 a^3}{\pi^2} \right)}{\omega^2 \mu_0^2 a^3 b \sigma \delta_s}$$

## ΚΥΜΑΤΟΔΗΓΟΣ ΟΡΘΟΓΩΝΙΚΗΣ ΔΙΑΤΟΜΗΣ (10)

Σε κοιλότητα ορθογωνικής διατομής με εγκάρσιες διαστάσεις  $a$  και  $b$  και διαμήκη  $L$  διαδίδεται ο ρυθμός  $TE_{10}$ . Να βρείτε τις συχνότητες που μπορούν να υπάρξουν στην κοιλότητα.

$$E_y(x, z) = \sin\left(\frac{\pi x}{a}\right) \left[ A e^{-i\beta_{10}z} + B e^{+i\beta_{10}z} \right]$$

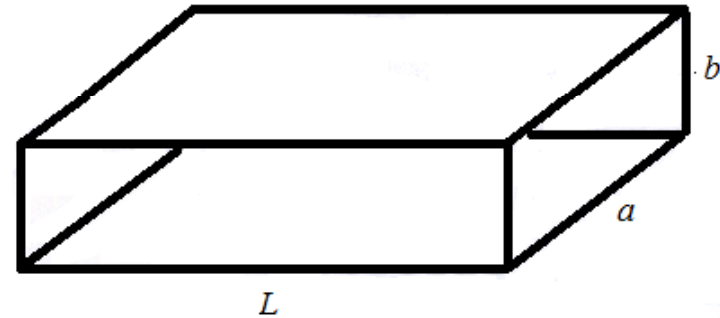
$$E_y(x, z = 0) = 0 \Rightarrow A + B = 0$$

$$E_y(x, z = L) = 0 \Rightarrow A e^{-i\beta_{10}L} + B e^{+i\beta_{10}L} = 0$$

$$\sin(\beta_{10}L) = 0 \Rightarrow \beta_{10}L = \ell\pi, \ell = 1, 2, \dots,$$

$$\beta_{10}^2 = \left(\frac{\omega}{c}\right)^2 - \left(\frac{\pi}{a}\right)^2 \Rightarrow \left(\frac{\omega_{10\ell}}{c}\right)^2 = \left(\frac{\pi}{a}\right)^2 + \left(\frac{\ell\pi}{L}\right)^2$$

$$\text{Για τον } TE_{mn\ell} \quad \left(\frac{\omega_{mn\ell}}{c}\right)^2 = \left(\frac{m\pi}{a}\right)^2 + \left(\frac{n\pi}{b}\right)^2 + \left(\frac{\ell\pi}{L}\right)^2$$



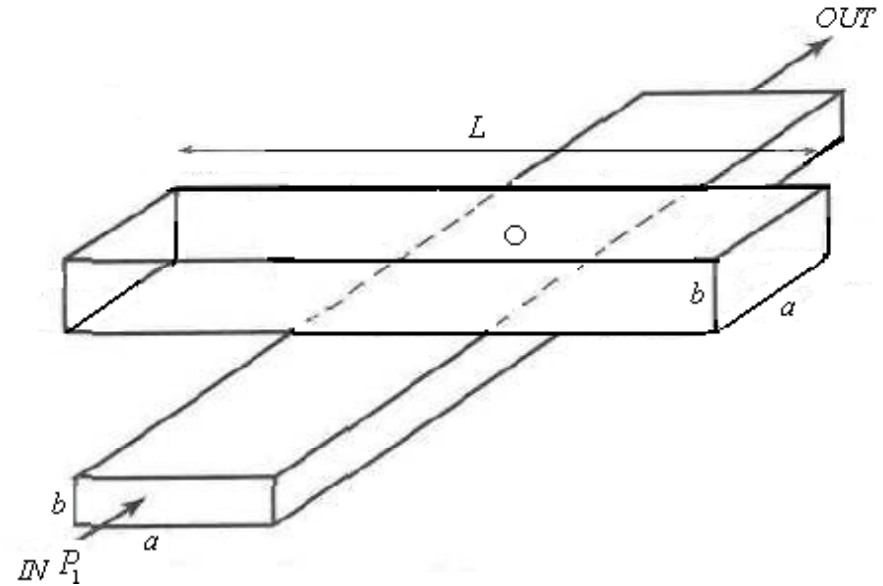


# ΚΥΜΑΤΟΔΗΓΟΣ ΟΡΘΟΓΩΝΙΚΗΣ ΔΙΑΤΟΜΗΣ (11)

## Μέτρηση συχνότητας

Μεταβάλλοντας το μήκος  $L$  της κοιλότητας, παρατηρούμε ότι η ισχύς εξόδου για κάποια τιμή του  $L$  μειώνεται. Αυτό σημαίνει ότι έχουμε κατανάλωση ισχύος στην κοιλότητα (δηλ. συντονισμό) και επομένως η συχνότητα λειτουργίας ισούται με τη συχνότητα συντονισμού αυτής:

$$\omega_{10\ell} = c \sqrt{\left(\frac{\pi}{a}\right)^2 + \left(\frac{\ell\pi}{L}\right)^2}$$



# ΚΥΜΑΤΟΔΗΓΟΣ ΟΡΘΟΓΩΝΙΚΗΣ ΔΙΑΤΟΜΗΣ (12)

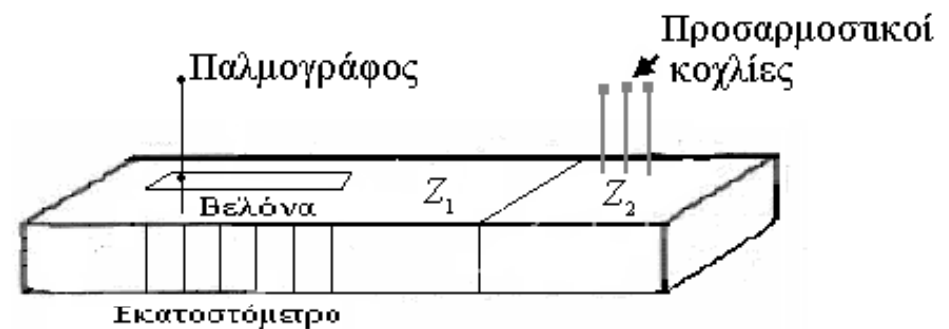
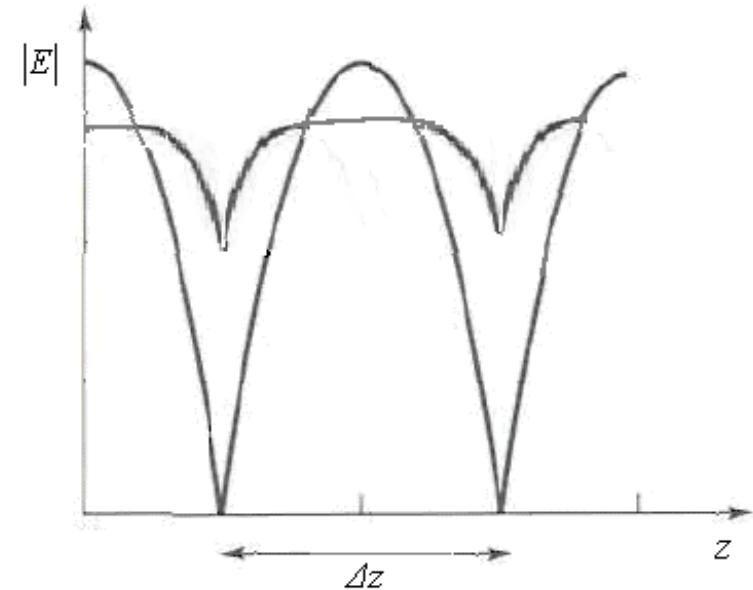
## Μέτρηση μήκους κύματος

Σε κυματοδηγό τοποθετούμε μια κεραία έτσι ώστε να διαδίδεται μόνο ο ρυθμός  $TE_{10}$  και δημιουργούμε ανακλάσεις μέσα στον κυματοδηγό (στάσιμα κύματα). Αν η απόσταση δύο διαδοχικών ελαχίστων είναι  $\Delta z$ , τότε ισχύει:

$$\sin(\beta \Delta z) = 0 \Rightarrow \beta \Delta z = \pi \Rightarrow$$

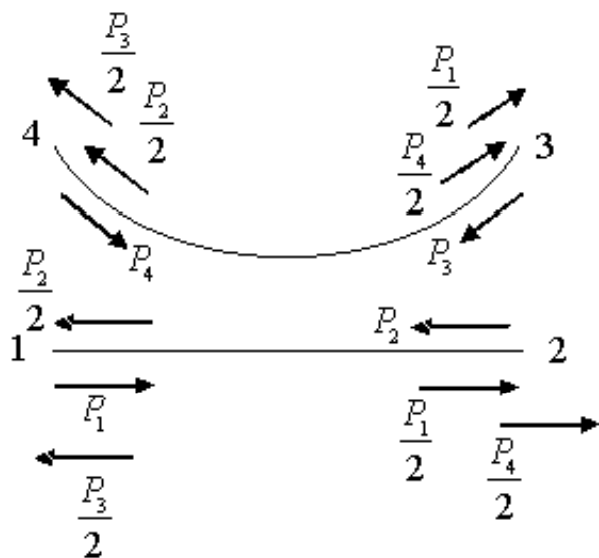
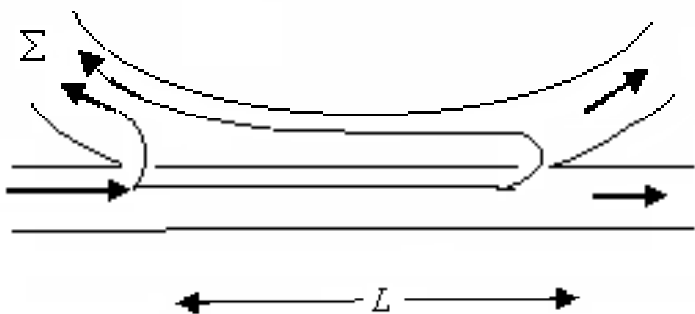
$$\Delta z = \frac{\pi}{\beta_{10}} = \frac{\lambda_{g10}}{2}$$

$$\left(\frac{2\pi}{\lambda_{g10}}\right)^2 = \left(\frac{2\pi}{\lambda_0}\right)^2 - \left(\frac{2\pi}{2a}\right)^2$$



# ΚΥΜΑΤΟΔΗΓΟΣ ΟΡΘΟΓΩΝΙΚΗΣ ΔΙΑΤΟΜΗΣ (13)

## Κατευθυντικός συζεύκτης



Για να αλληλοαναιρούνται τα κύματα που φτάνουν στο  $\Sigma$  πρέπει:

$$2\beta L = \pi \Rightarrow L = \frac{\pi}{2\beta} = \frac{\lambda_g}{4}$$

$$\text{Προσαρμογή \#4 } (P_4 = 0) \Rightarrow Q_3 = \frac{P_1}{2}$$

$$\text{Προσαρμογή \#3 } (P_3 = 0) \Rightarrow Q_4 = \frac{P_2}{2}$$

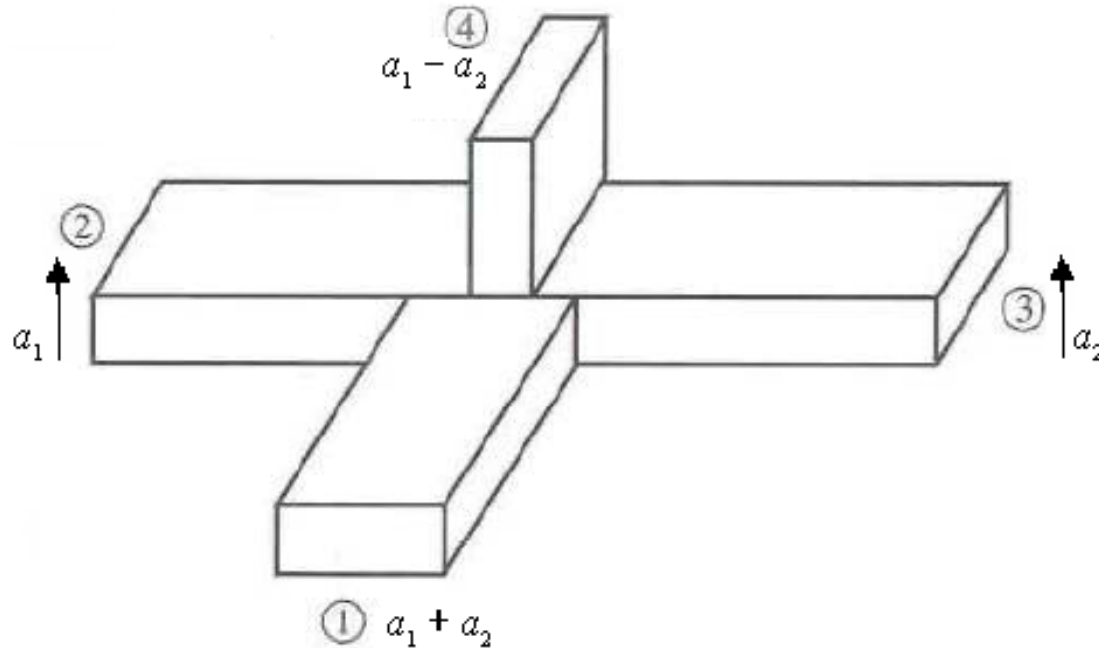
$$P_{\text{προσπίπτουσα},2} = \frac{P_1}{2} = Q_3$$

$$P_{\text{ανακλώμενη},2} = P_2 = 2Q_4$$

$$|\rho_2|^2 = \frac{P_{\text{αν},2}}{P_{\text{πρ},2}} = \frac{2Q_4}{Q_3}$$

# ΚΥΜΑΤΟΔΗΓΟΣ ΟΡΘΟΓΩΝΙΚΗΣ ΔΙΑΤΟΜΗΣ (14)

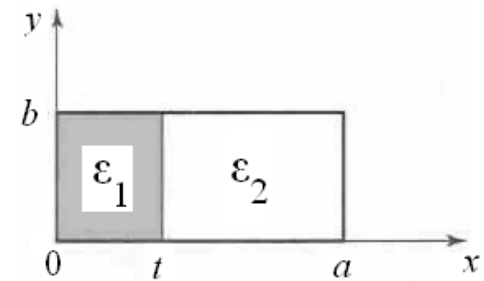
## Μαγικό T



Εισάγοντας δύο κύματα  $a_1$  και  $a_2$  στις θύρες #1 και #2, αντίστοιχα, τότε στην μία έξοδο παίρνουμε το άθροισμα αυτών και στην άλλη τη διαφορά τους.

## ΚΥΜΑΤΟΔΗΓΟΣ ΟΡΘΟΓΩΝΙΚΗΣ ΔΙΑΤΟΜΗΣ (15)

**Άσκηση 2.** Σε κυματοδηγό ορθογωνικής διατομής με διαστάσεις  $a$  και  $b$ , οι περιοχές  $0 < x < t$  και  $t < x < a$  περιέχουν υλικά σχετικής διηλεκτρικής σταθερά  $\epsilon_1$  και  $\epsilon_2$ , αντίστοιχα. Να βρεθούν κύματα TE με ανεξαρτησία από το  $y$ , που μπορούν να διαδοθούν στον κυματοδηγό καθώς και η συχνότητα αποκοπής του ρυθμού TE<sub>1</sub>.



### Λύση

Οι διαμήκεις κυματαριθμοί των περιοχών I και II πρέπει να είναι ίδιοι, δηλ.  $\gamma_1 = \gamma_2 = \gamma$ . Για κύματα TE ισχύει:  $H_z(x, z) = f(x) \exp(-\gamma z)$ , οπότε η κυματική εξίσωση στη γενική μορφή γράφεται:

$$\left( \frac{\partial^2}{\partial x^2} + \frac{\partial^2}{\partial z^2} + \omega^2 \mu_0 \epsilon_0 \epsilon \right) H_z(x, z) = 0 \Rightarrow$$

$$\left[ \frac{d^2}{dx^2} + \gamma^2 + \left( \frac{\omega}{c} \right)^2 \epsilon_i \right] f_i(x) = 0, \quad i = 1, 2$$

## ΚΥΜΑΤΟΔΗΓΟΣ ΟΡΘΟΓΩΝΙΚΗΣ ΔΙΑΤΟΜΗΣ (16)

$$\left( \frac{d^2}{dx^2} + h_i^2 \right) f_i(x) = 0, \quad h_i^2 = \gamma^2 + \left( \frac{\omega}{c} \right)^2 \varepsilon_i > 0 \Rightarrow$$

$$f_i(x) = A_i \sin(h_i x) + B_i \cos(h_i x), \quad i = 1, 2 \Rightarrow$$

$$H_z^I(x, z) = [A_1 \sin(h_1 x) + B_1 \cos(h_1 x)] \exp(-\gamma z)$$

$$H_z^{II}(x, z) = [A_2 \sin(h_2 x) + B_2 \cos(h_2 x)] \exp(-\gamma z)$$

$$E_x \propto \left( \frac{\partial E_z}{\partial x}, \frac{\partial H_z}{\partial y} \right) = 0, \quad E_y \propto \left( \frac{\partial E_z}{\partial y}, \frac{\partial H_z}{\partial x} \right) \neq 0$$

$$E_y^I(x, z) = \frac{i\omega\mu_0}{h_1} [A_1 \cos(h_1 x) - B_1 \sin(h_1 x)] \exp(-\gamma z)$$

$$E_y^{II}(x, z) = \frac{i\omega\mu_0}{h_2} [A_2 \cos(h_2 x) - B_2 \sin(h_2 x)] \exp(-\gamma z)$$

$$H_x \neq 0, H_y = 0$$

# ΚΥΜΑΤΟΔΗΓΟΣ ΟΡΘΟΓΩΝΙΚΗΣ ΔΙΑΤΟΜΗΣ (17)

$$\text{Οριακές συνθήκες: } E_y^I(x=0) = 0 \quad (1)$$

$$E_y^{II}(x=a) = 0 \quad (2)$$

$$E_y^I(x=t) = E_y^{II}(x=t) \quad (3)$$

$$H_z^I(x=t) = H_z^{II}(x=t) \quad (4)$$

$$(1) \Rightarrow A_1 = 0$$

$$(2) \Rightarrow A_2 \cos(h_2 a) - B_2 \sin(h_2 a) = 0$$

$$(4) \Rightarrow B_1 \cos(h_1 t) = A_2 \sin(h_2 t) + B_2 \cos(h_2 t) \quad (5)$$

$$(3) \Rightarrow \frac{-i\omega\mu_0}{h_1} B_1 \sin(h_1 t) = \frac{i\omega\mu_0}{h_2} [A_2 \cos(h_2 t) - B_2 \sin(h_2 t)] \quad (6)$$

$$\frac{(6)}{(5)} \Rightarrow \frac{-1}{h_1} \tan(h_1 t) = \frac{1}{h_2} \frac{A_2 \cos(h_2 t) - B_2 \sin(h_2 t)}{A_2 \sin(h_2 t) + B_2 \cos(h_2 t)}$$

## ΚΥΜΑΤΟΔΗΓΟΣ ΟΡΘΟΓΩΝΙΚΗΣ ΔΙΑΤΟΜΗΣ (18)

$$\Rightarrow \frac{-1}{h_1} \tan(h_1 t) = \frac{1}{h_2} \frac{\frac{B_2}{\cos(h_2 a)} \sin(h_2 a) \cos(h_2 t) - B_2 \sin(h_2 t)}{\frac{B_2}{\cos(h_2 a)} \sin(h_2 a) \sin(h_2 t) + B_2 \cos(h_2 t)}$$

$$= \frac{1}{h_2} \frac{\sin[h_2(a-t)]}{\cos[h_2(a-t)]} \Rightarrow \frac{1}{h_1} \tan(h_1 t) = -\frac{1}{h_2} \tan[h_2(a-t)]$$

$$\text{Για } t = 0 \Rightarrow 0 = \tan(h_2 a) \Rightarrow \sin(h_2 a) = 0 \Rightarrow h_2 a = m\pi$$

$$\text{Για } t = a \Rightarrow \tan(h_1 a) = 0 \Rightarrow h_1 a = m\pi$$

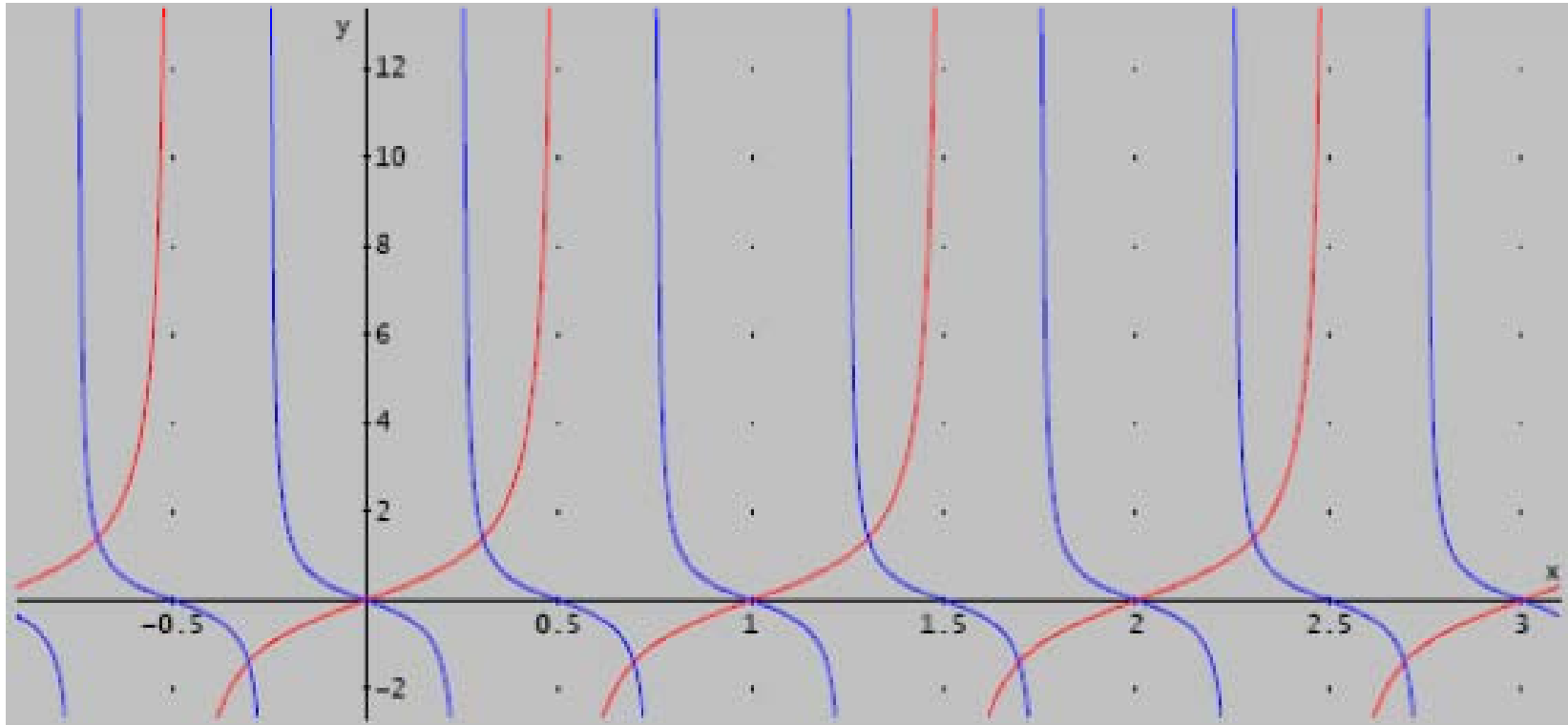
Για τη συχνότητα αποκοπής ισχύει:

$$\gamma = 0 \Rightarrow h_1 = \omega \sqrt{\epsilon_1} / c, \quad h_2 = \omega \sqrt{\epsilon_2} / c$$

$$\frac{1}{(\omega \sqrt{\epsilon_1} / c)} \tan\left(\frac{\omega a \sqrt{\epsilon_1}}{2c}\right) = -\frac{1}{(\omega \sqrt{\epsilon_2} / c)} \tan\left(\frac{\omega a \sqrt{\epsilon_2}}{2c}\right)$$



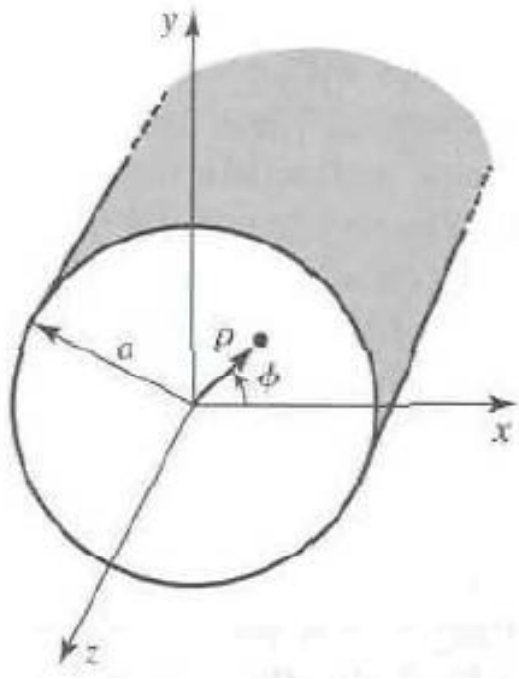
# ΚΥΜΑΤΟΔΗΓΟΣ ΟΡΘΟΓΩΝΙΚΗΣ ΔΙΑΤΟΜΗΣ (19)



$$\text{Για } \varepsilon_1 = 1, \varepsilon_2 = 4, t = (a/2) \Rightarrow \tan\left(\frac{\omega a}{2c}\right) = -\frac{1}{2} \tan\left(\frac{\omega a}{c}\right)$$

$$\Rightarrow \tan(x\pi) = -\frac{1}{2} \tan(2x\pi) \Rightarrow x = \frac{\omega a}{2\pi c} \approx \frac{1}{2} \left( \frac{1}{4} + \frac{1}{2} \right)$$

# ΚΥΛΙΝΔΡΙΚΟΣ ΚΥΜΑΤΟΔΗΓΟΣ (1)



$$\vec{E}(\rho, \phi, z) = \vec{e}(\rho, \phi) e^{-\gamma z}$$

$$\vec{H}(\rho, \phi, z) = \vec{h}(\rho, \phi) e^{-\gamma z}$$

$$\vec{\nabla} \times \vec{E} = -i\omega\mu_0 \vec{H}$$

$$\vec{\nabla} \times \vec{H} = i\omega\varepsilon_0 \vec{E}$$

$$\left. \begin{aligned} \frac{1}{\rho} \left( \frac{\partial e_z}{\partial \phi} + \gamma \rho e_\phi \right) &= -i\omega\mu_0 h_\rho & (1.9a) \\ \frac{1}{\rho} \left( \frac{\partial h_z}{\partial \phi} + \gamma \rho h_\phi \right) &= i\omega\varepsilon_0 e_\rho & (1.9b) \\ -\gamma e_\rho - \frac{\partial e_z}{\partial \rho} &= -i\omega\mu_0 h_\phi & (1.9c) \\ -\gamma h_\rho - \frac{\partial h_z}{\partial \rho} &= i\omega\varepsilon_0 e_\phi & (1.9d) \\ \frac{1}{\rho} \left( \frac{\partial(\rho e_\phi)}{\partial \rho} - \frac{\partial e_\rho}{\partial \phi} \right) &= -i\omega\mu_0 h_z & (1.9e) \\ \frac{1}{\rho} \left( \frac{\partial(\rho h_\phi)}{\partial \rho} - \frac{\partial h_\rho}{\partial \phi} \right) &= i\omega\varepsilon_0 e_z & (1.9f) \end{aligned} \right\}$$

## ΚΥΛΙΝΔΡΙΚΟΣ ΚΥΜΑΤΟΔΗΓΟΣ (2)

$$(1.9c) \stackrel{(1.9b)}{\Rightarrow} \frac{1}{\rho} \frac{\partial h_z}{\partial \phi} + \gamma \frac{1}{i\omega\mu_0} \left( \gamma e_\rho + \frac{\partial e_z}{\partial \rho} \right) = i\omega\varepsilon_0 e_\rho \Rightarrow$$

$$\frac{i\omega\mu_0}{\rho} \frac{\partial h_z}{\partial \phi} + \gamma^2 e_\rho + \gamma \frac{\partial e_z}{\partial \rho} = -\omega^2 \varepsilon_0 \mu_0 e_\rho \Rightarrow -k_\perp^2 e_\rho = \gamma \frac{\partial e_z}{\partial \rho} + \frac{i\omega\mu_0}{\rho} \frac{\partial h_z}{\partial \phi}$$

$$e_\rho = \frac{-1}{k_\perp^2} \left( \gamma \frac{\partial e_z}{\partial \rho} + \frac{i\omega\mu_0}{\rho} \frac{\partial h_z}{\partial \phi} \right), \quad e_\phi = \frac{-1}{k_\perp^2} \left( \frac{\gamma}{\rho} \frac{\partial e_z}{\partial \phi} - i\omega\mu_0 \frac{\partial h_z}{\partial \rho} \right)$$

$$h_\rho = \frac{-1}{k_\perp^2} \left( -\frac{i\omega\varepsilon_0}{\rho} \frac{\partial e_z}{\partial \phi} + \gamma \frac{\partial h_z}{\partial \rho} \right), \quad h_\phi = \frac{-1}{k_\perp^2} \left( i\omega\varepsilon_0 \frac{\partial e_z}{\partial \rho} + \frac{\gamma}{\rho} \frac{\partial h_z}{\partial \phi} \right)$$

$$k_\perp^2 = \left( \gamma^2 + \frac{\omega^2}{c^2} \right)$$

$$\left[ \nabla_{\rho,\phi}^2 + k_\perp^2 \right] \begin{bmatrix} e_z(\rho,\phi) \\ h_z(\rho,\phi) \end{bmatrix} = \begin{pmatrix} 0 \\ 0 \end{pmatrix}$$

## ΚΥΛΙΝΔΡΙΚΟΣ ΚΥΜΑΤΟΔΗΓΟΣ (3)

$$\left(\nabla_{\rho,\phi}^2 + k_{\perp}^2\right)F(\rho,\phi) = 0 \Rightarrow F(\rho,\phi) = R(\rho)e^{\pm im\phi} \Rightarrow$$

$$\frac{1}{\rho} \frac{\partial}{\partial \rho} \left( \rho \frac{\partial R}{\partial \rho} \right) + \frac{1}{\rho^2} (im)^2 R + k_{\perp}^2 R = 0 \Rightarrow$$

$$\frac{1}{\rho} \frac{\partial}{\partial \rho} \left( \rho \frac{\partial R}{\partial \rho} \right) + \left[ k_{\perp}^2 - \frac{m^2}{\rho^2} \right] R = 0, 0 < \rho < \infty$$

I)  $k_{\perp}^2 > 0$ :  $R(\rho) = AJ_m(k_{\perp}\rho) + BY_m(k_{\perp}\rho)$ ,

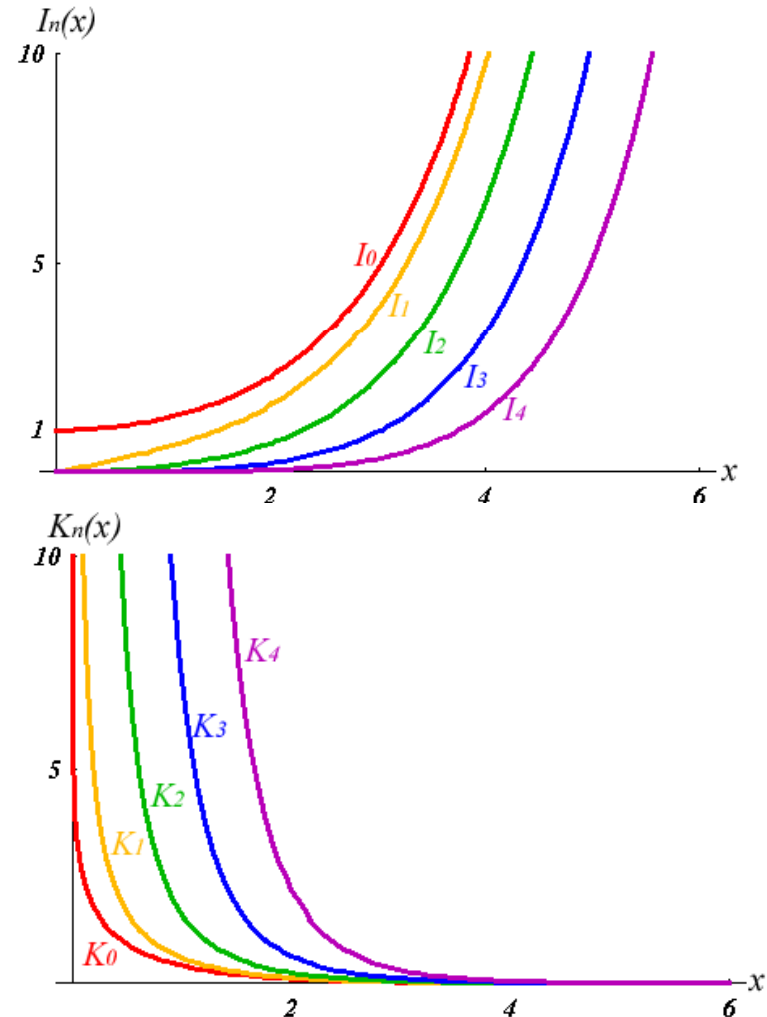
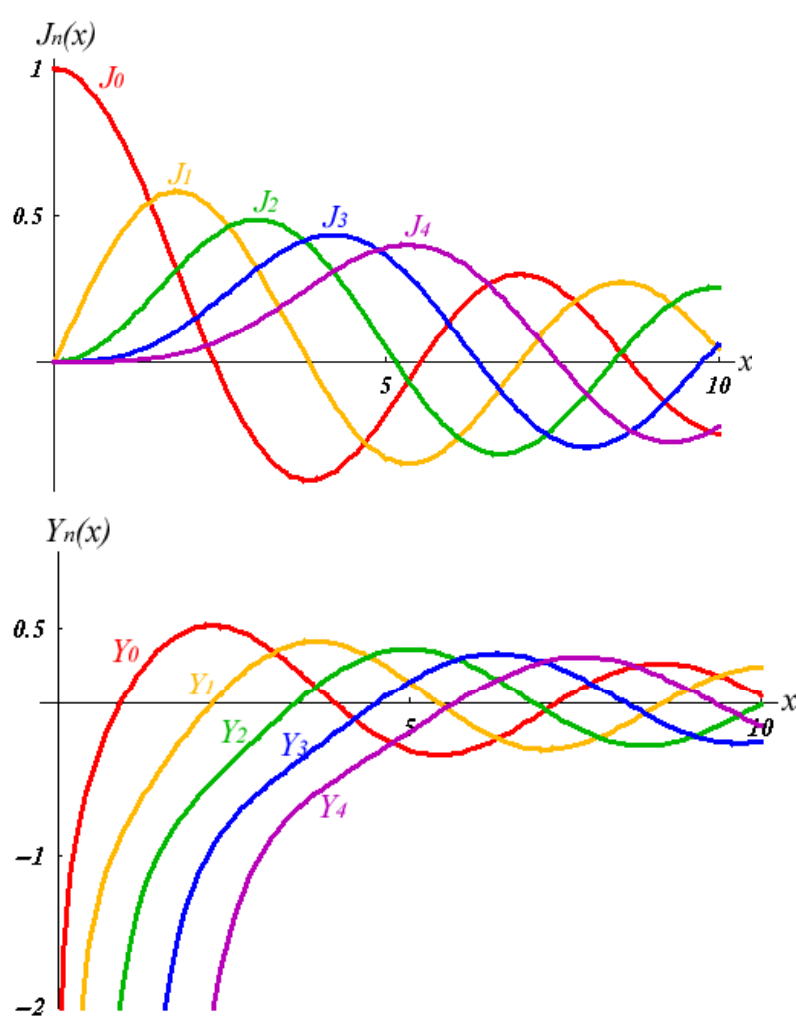
λύσεις Bessel και Neumann πρώτου και δευτέρου είδους.

II)  $k_{\perp}^2 = -\xi^2 < 0$ :  $R(\rho) = A'I_m(\xi\rho) + B'K_m(\xi\rho)$ ,

τροποποιημένες Bessel πρώτου και δευτέρου είδους.

# ΚΥΛΙΝΔΡΙΚΟΣ ΚΥΜΑΤΟΔΗΓΟΣ (4)

- I) Για  $\rho \rightarrow 0$   $Y_m \rightarrow -\infty$ , και για να μην απειρίζεται το πεδίο πρέπει  $B = 0$ .
- II) Για  $\rho \rightarrow 0$   $K_m \rightarrow +\infty$ , και για να μην απειρίζεται το πεδίο πρέπει  $B' = 0$ .
- III) Για  $\rho \rightarrow \infty$   $I_m \rightarrow +\infty$ , και για να μην απειρίζεται το πεδίο πρέπει  $A' = 0$ .



# ΚΥΛΙΝΔΡΙΚΟΣ ΚΥΜΑΤΟΔΗΓΟΣ (5)

## Κύματα TM

$$e_z(\rho, \phi) = J_m(k_{\perp} \rho) [a_m \cos(m\phi) + b_m \sin(m\phi)]$$

$$\text{Οριακή συνθήκη: } e_z(a, \phi) = 0 \Rightarrow J_m(k_{\perp} a) = 0$$

Πίνακας 1.1: Ρίζες της εξίσωσης  $J_m(k_{\perp} a) = 0$

$m/n$	1	2	3
0	2.405	5.520	8.654
1	3.832	7.016	10.173
2	5.136	8.417	11.620

# ΚΥΛΙΝΔΡΙΚΟΣ ΚΥΜΑΤΟΔΗΓΟΣ (6)

## Κύματα ΤΕ

$$h_z(\rho, \phi) = J_m(k_{\perp} \rho) [a_m \cos(m\phi) + b_m \sin(m\phi)]$$

$$\text{Οριακή συνθήκη: } e_{\phi}(a, \phi) = 0 \Rightarrow e_{\phi} \propto \frac{\partial h_z}{\partial \rho} \Rightarrow J'_m(k_{\perp} \alpha) = 0$$

Πίνακας 1.2: Ρίζες της εξίσωσης  $J'_m(k_{\perp} \alpha) = 0$

$m/n$	1	2	3
0	3.832	7.016	10.173
1	1.841	5.331	8.536
2	3.054	6.706	9.969

# ΚΥΛΙΝΔΡΙΚΟΣ ΚΥΜΑΤΟΔΗΓΟΣ (7)

## Ρυθμός $TE_{11}$

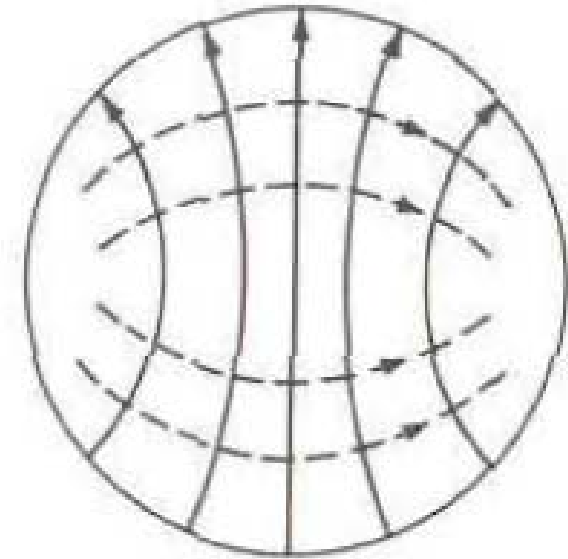
$$h_z = J_1(k_{\perp 1}\rho)[a \cos \phi + b \sin \phi]$$

$$e_\rho = -\frac{1}{k_{\perp 1}^2} \frac{i\omega\mu_0}{\rho} J_1(k_{\perp 1}\rho)[-a \sin \phi + b \cos \phi]$$

$$e_\phi = -\frac{1}{k_{\perp 1}} (-i\omega\mu_0) J_1'(k_{\perp 1}\rho)[a \cos \phi + b \sin \phi]$$

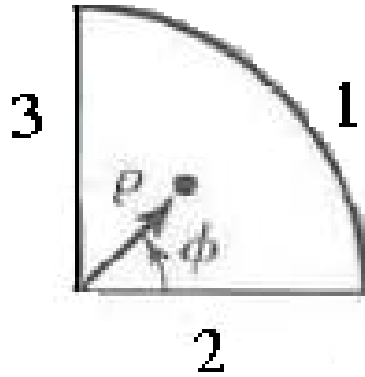
$$k_{\perp 1}a = 1.841$$

Εκφυλισμός πρώτης τάξης, δηλ. δύο  
ρυθμοί με κάθετες μεταξύ τους πολώσεις





## ΚΥΛΙΝΔΡΙΚΟΣ ΚΥΜΑΤΟΔΗΓΟΣ (8)



Κύματα TE σε κυματοδηγό κυκλικού τομέα 90°

$$H_z(\rho, \phi, z) = AJ_m(k_{\perp}\rho) [a_m \cos(m\phi) + b_m \sin(m\phi)] e^{-i\beta z}$$

Οριακές Συνθήκες

Επιφάνεια 1 ( $\rho = a$ ):  $E_{\phi} = 0 \Rightarrow J'_m(k_{\perp}a) = 0$

Επιφάνεια 2 ( $\phi = 0$ ):  $E_{\rho} = 0 \Rightarrow E_{\rho} \propto \frac{\partial H_z}{\partial \phi} = 0 \Rightarrow b_m = 0$

Επιφάνεια 3 ( $\phi = \pi/2$ ):  $E_{\rho} = 0 \Rightarrow E_{\rho} \propto \frac{\partial H_z}{\partial \phi} = 0$

$$\Rightarrow -a_m \sin\left(m\frac{\pi}{2}\right) + b_m \cos\left(m\frac{\pi}{2}\right) = 0 \Rightarrow \sin\left(\frac{m\pi}{2}\right) = 0 \Rightarrow \frac{m\pi}{2} = \ell\pi$$

$$\Rightarrow m = 2\ell, \ell = 0, 1, 2, \dots \text{ και } m = 0, 2, 4, \dots$$

## ΚΥΛΙΝΔΡΙΚΟΣ ΚΥΜΑΤΟΔΗΓΟΣ (9)

**Άσκηση 3.** Έστω κυλινδρικός κυματοδηγός ακτίνας  $a$  στα τοιχώματα του οποίου ικανοποιείται η σχέση  $E_z/H_\phi = -\zeta$  (σε  $\Omega$ ). Να βρεθεί η συνθήκη για τη διάδοση κυμάτων TM με ανεξαρτησία από το  $\phi$  καθώς και η έκφραση του διανύσματος Poynting.

**Λύση**

$$E_z(\rho, z) = AJ_0(k_\perp \rho) e^{-i\beta z}$$

$$H_\phi = \frac{-i\omega\epsilon_0}{k_\perp^2} \frac{\partial E_z}{\partial \rho} = -\frac{i\omega\epsilon_0}{k_\perp} AJ'_0(k_\perp \rho) e^{-i\beta z}$$

$$\frac{E_z}{H_\phi} = \frac{AJ_0(k_\perp a)}{-\frac{i\omega\epsilon_0}{k_\perp} AJ'_0(k_\perp a)} = -\frac{k_\perp J_0(k_\perp a)}{i\omega\epsilon_0 J'_0(k_\perp a)} = -\zeta \in I$$

$$\vec{P}_{av} = \frac{1}{2} \operatorname{Re} \begin{vmatrix} \hat{\rho} & \hat{\phi} & \hat{z} \\ E_\rho & 0 & E_z \\ 0 & H_\phi^* & 0 \end{vmatrix} = \frac{1}{2} \operatorname{Re} (-\hat{\rho} E_z H_\phi^* + \hat{z} E_\rho H_\phi^*)$$

## ΚΥΜΑΤΑ TEM ( $E_z = 0, H_z = 0$ )

$$\vec{\nabla} \times \vec{E} = \begin{vmatrix} \hat{x} & \hat{y} & \hat{z} \\ \frac{\partial}{\partial x} & \frac{\partial}{\partial y} & -\gamma \\ E_x & E_y & 0 \end{vmatrix} = -i\omega\mu_0 \vec{H} \Rightarrow \frac{\partial E_y}{\partial x} - \frac{\partial E_x}{\partial y} = 0$$

$$\vec{\nabla} \cdot \vec{E} = 0 \Rightarrow \frac{\partial E_x}{\partial x} + \frac{\partial E_y}{\partial y} = 0$$

$$E_x(x, y, z) = e_x(x, y)e^{-\gamma z}, \quad E_y(x, y, z) = e_y(x, y)e^{-\gamma z}$$

$$\vec{e} = -\vec{\nabla}\Phi(x, y) \Rightarrow \left\{ \begin{array}{l} e_x = -\frac{\partial\Phi}{\partial x} \Rightarrow \frac{\partial E_x}{\partial y} = -\frac{\partial^2\Phi}{\partial y\partial x} \\ e_y = -\frac{\partial\Phi}{\partial y} \Rightarrow \frac{\partial E_y}{\partial x} = -\frac{\partial^2\Phi}{\partial x\partial y} \end{array} \right\} \Rightarrow \frac{\partial e_x}{\partial y} = \frac{\partial e_y}{\partial x}$$

$$\nabla^2\Phi(x, y) = 0$$

Για να υπάρξει ρυθμός TEM πρέπει να υπάρχει εσωτερικός αγωγός 51

# ΟΜΟΑΞΟΝΙΚΗ ΓΡΑΜΜΗ (1)

## Κύματα TEM

$$\nabla^2 \Phi(\rho, \phi) = 0 \Rightarrow \frac{1}{\rho} \frac{\partial}{\partial \rho} \left( \rho \frac{\partial \Phi}{\partial \rho} \right) = 0 \Rightarrow$$

$$\Phi(\rho) = A \ln \rho + B$$

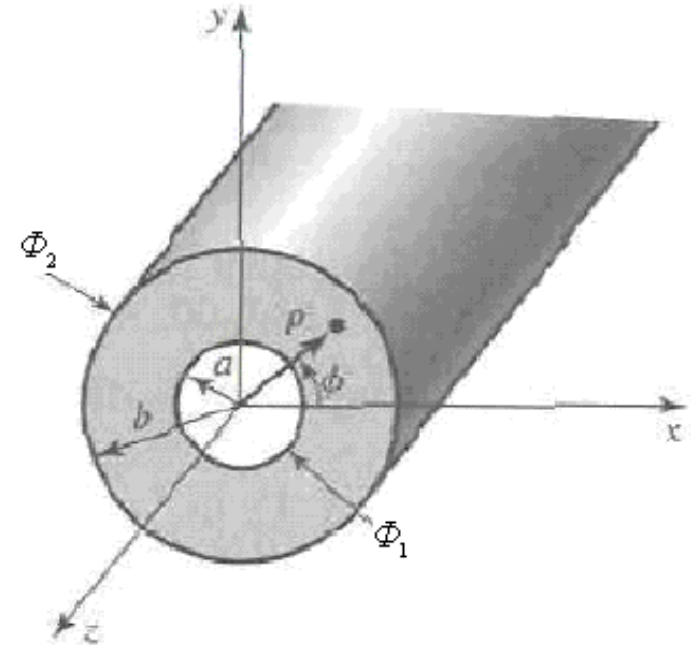
$$\left. \begin{array}{l} \Phi(a) = \Phi_1 \\ \Phi(b) = \Phi_2 \end{array} \right\} \Rightarrow A = \frac{\Phi_1 - \Phi_2}{\ln a - \ln b} = \frac{\Phi_1 - \Phi_2}{\ln(a/b)}$$

$$B = \Phi_1 - \frac{\Phi_1 - \Phi_2}{\ln(a/b)} \ln a = \frac{\Phi_2 \ln a - \Phi_1 \ln b}{\ln(a/b)}$$

$$\Rightarrow \Phi(\rho) = \frac{V_0}{\ln(a/b)} \ln \rho + B, \quad V_0 = \Phi_1 - \Phi_2$$

$$\vec{e}(\rho, \phi) = -\hat{\rho} \frac{1}{\rho \ln(a/b)} \frac{V_0}{\rho} \Rightarrow \vec{E}(\rho, \phi, z) = -\hat{\rho} \frac{1}{\rho \ln(a/b)} \frac{V_0}{\rho} e^{-\gamma z}$$

$$\vec{H}(\rho, \phi, z) = \vec{h}(\rho, \phi) e^{-\gamma z}, \quad \vec{h}(\rho, \phi) = \vec{h}(\rho) = \hat{\phi} h(\rho), \quad \gamma e_\rho = i\omega\mu_0 h_\phi \quad 52$$



## ΟΜΟΑΞΟΝΙΚΗ ΓΡΑΜΜΗ (2)

$$\vec{H}(\rho, \phi, z) = -\hat{\phi} \frac{1}{\sqrt{\epsilon_0 \mu_0}} \frac{1}{\rho \ln(a/b)} V_0 e^{-\gamma z} \Rightarrow \frac{e_\rho}{h_\phi} = Z_{\text{TEM}} = \frac{\omega \mu_0}{\beta} = \sqrt{\frac{\mu_0}{\epsilon_0}} \cong 120\pi$$

Η διαφορά δυναμικού μεταξύ των δύο αγωγών:

$$V(z) = -\int_a^b (-E_\rho) d\rho = \frac{-V_0}{\ln(a/b)} e^{-\gamma z} \ln \rho \Big|_a^b = V_0 e^{-\gamma z}$$

Το φορτίο ανά μονάδα μήκους στον εξωτερικό αγωγό:

$$Q(z) = 2\pi \rho \epsilon_0 E_\rho(b, z) = -\frac{2\pi \epsilon_0}{\ln(a/b)} V_0 e^{-\gamma z}$$

Η χωρητικότητα ανά μονάδα μήκους:

$$C = \left| \frac{Q}{V} \right| = \frac{2\pi \epsilon_0}{\ln(a/b)}$$

Η ένταση του ρεύματος στον εξωτερικό αγωγό:

$$I(z) = \oint \vec{H} \cdot d\vec{l} = H_\phi 2\pi b = -\frac{2\pi}{\sqrt{\mu_0/\epsilon_0}} \frac{1}{\ln(a/b)} V_0 e^{-\gamma z}$$

### ΟΜΟΑΞΟΝΙΚΗ ΓΡΑΜΜΗ (3)

$$LC = \varepsilon_0 \mu_0 \Rightarrow L = \frac{\varepsilon_0 \mu}{2\pi \varepsilon_0} \ln\left(\frac{a}{b}\right)$$

$$v(z, t) = \operatorname{Re}\{V(z) e^{i\omega t}\} = V_0 \cos(\omega t - \beta z)$$

$$i(z, t) = \frac{2\pi}{\sqrt{\mu_0 / \varepsilon_0}} V_0 \cos(\omega t - \beta z)$$

$$\frac{\partial v}{\partial z} = -V_0 \sin(\omega t - \beta z)(-\beta) = \beta V_0 \sin(\omega t - \beta z)$$

$$\frac{\partial i}{\partial t} = \frac{2\pi V_0}{\sqrt{\mu_0 / \varepsilon_0} \ln(a/b)} (-\omega) \sin(\omega t - \beta z)$$

$$\Rightarrow \frac{\left(\frac{\partial v}{\partial z}\right)}{\left(\frac{\partial i}{\partial t}\right)} = \frac{-\beta \sqrt{\mu_0 / \varepsilon_0} \ln(a/b)}{2\pi \omega} \Rightarrow \left(\frac{\partial v}{\partial z}\right) = -L \left(\frac{\partial i}{\partial t}\right)$$

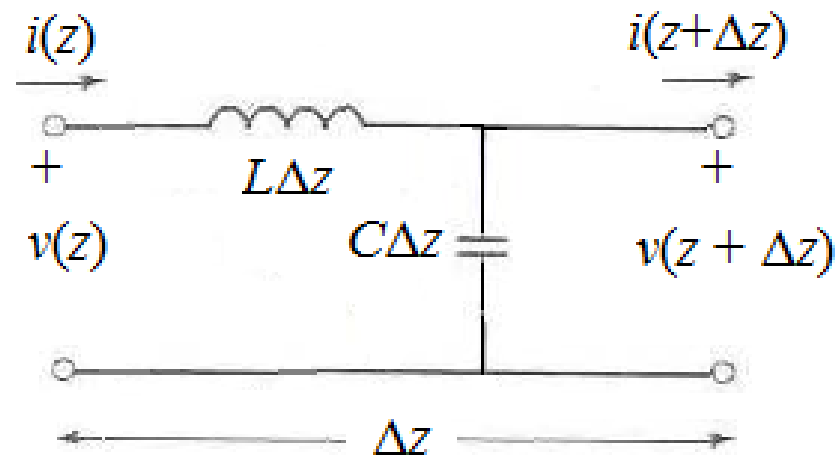
$$\text{αφού } \beta = \frac{\omega}{c} = \omega \sqrt{\varepsilon_0 \mu_0}$$

## ΟΜΟΑΞΟΝΙΚΗ ΓΡΑΜΜΗ (4)

$$\Rightarrow -\frac{\partial v}{\partial z} = L \frac{\partial i}{\partial t} \Rightarrow -\frac{v(z + \Delta z) - v(z)}{\Delta z} = L \frac{\partial i}{\partial t}$$

$$\Rightarrow v(z) - v(z + \Delta z) = (L\Delta z) \frac{\partial i}{\partial t}$$

$$\text{Αναλογία: } \frac{\partial i}{\partial z} = -c \frac{\partial v}{\partial t} \Rightarrow i(z) - i(z + \Delta z) = (C\Delta z) \frac{\partial v}{\partial t} \Rightarrow$$



## ΟΜΟΑΞΟΝΙΚΗ ΓΡΑΜΜΗ (5)

**Κύματα TE:**  $e_z = 0$ ,  $h_z(\rho, \phi) = e^{im\phi} [AJ_m(k_\perp \rho) + BY_m(k_\perp \rho)]$

Οριακές συνθήκες:  $e_\phi \propto \frac{\partial h_z}{\partial \rho} = 0 \Big|_{\rho=a,b}$

$$AJ'_m(k_\perp a) + BY'_m(k_\perp a) = 0 \text{ και } AJ'_m(k_\perp b) + BY'_m(k_\perp b) = 0$$

$$\Rightarrow J'_m(k_\perp a)Y'_m(k_\perp b) - J'_m(k_\perp b)Y'_m(k_\perp a) = 0$$

**Κύματα TM:**  $h_z = 0$ ,  $e_z(\rho, \phi) = e^{im\phi} [AJ_m(k_\perp \rho) + BY_m(k_\perp \rho)]$

Οριακές συνθήκες:  $e_z = 0 \Big|_{\rho=a,b}$  και  $e_\phi \propto \frac{\partial e_z}{\partial \phi} = 0 \Big|_{\rho=a,b}$

$$AJ_m(k_\perp a) + BY_m(k_\perp a) = 0 \text{ και } AJ_m(k_\perp b) + BY_m(k_\perp b) = 0$$

$$\Rightarrow J_m(k_\perp a)Y_m(k_\perp b) - J_m(k_\perp b)Y_m(k_\perp a) = 0$$



## ΟΜΟΑΞΟΝΙΚΗ ΓΡΑΜΜΗ (6)

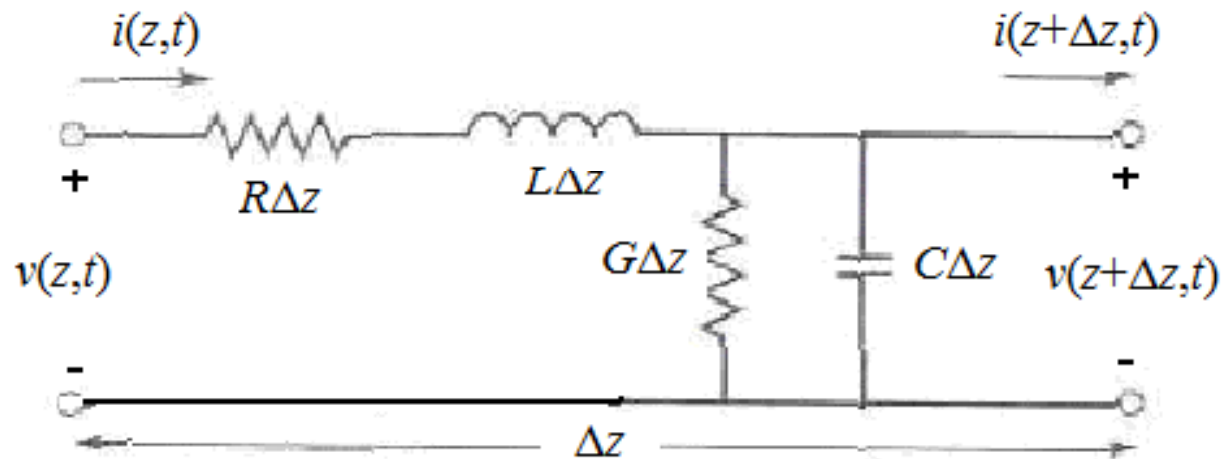
Επιφανειακό ρεύμα σε ομοαξονική γραμμή :

$$\vec{K} = \hat{\rho} \times \vec{H} \Big|_{\rho=a}, \quad \vec{K} = -\hat{\rho} \times \vec{H} \Big|_{\rho=b}$$

Ισχύς σε ομοαξονική γραμμή :

$$\begin{aligned} P_{o\lambda} &= \oint \vec{p}_{av} \cdot d\vec{S} = \int_a^b \rho d\rho \int_0^{2\pi} d\phi p_z(\rho, \phi) \\ &= \int_a^b \rho d\rho \int_0^{2\pi} d\phi \hat{z} \frac{1}{2} \operatorname{Re} \left\{ \vec{E}(\rho, \phi) e^{-i\beta z} \times \vec{H}^*(\rho, \phi) e^{+i\beta z} \right\} \end{aligned}$$

## ΓΡΑΜΜΕΣ ΜΕΤΑΦΟΡΑΣ (1)



Για γραμμή μεταφοράς με μήκος  $l$  ( $\ll \lambda_0$ , μήκος κύματος ελευθέρου χώρου) γίνεται εφαρμογή των νόμων Kirchhoff, ενώ όταν  $l \approx \lambda_0$  τότε χρησιμοποιούνται οι εξισώσεις Maxwell.

Παρόλα αυτά, και στη δεύτερη περίπτωση αν χωρίσουμε τη γραμμή σε στοιχειώδη μήκη  $\Delta z$  ( $\ll \lambda_0$ ), μπορούμε να εφαρμόσουμε τους νόμους Kirchhoff σε κάθε στοιχειώδες μήκος  $\Delta z$ .

## ΓΡΑΜΜΕΣ ΜΕΤΑΦΟΡΑΣ (2)

$$-\frac{\partial v}{\partial z} = Ri + L \frac{\partial i}{\partial t} \quad \text{και} \quad -\frac{\partial i}{\partial z} = Gv + C \frac{\partial v}{\partial t}$$

Για αρμονικά μεταβαλλόμενα πεδία:

$$v = v(z, t) = \text{Re} \{ V(z) e^{i\omega t} \}, \quad i = i(z, t) = \text{Re} \{ I(z) e^{i\omega t} \}$$

$$\Rightarrow \left\{ \begin{array}{l} -\frac{dV}{dz} = RI + Li\omega I \\ -\frac{dI}{dz} = GV + Ci\omega V \end{array} \right\} \Rightarrow \left\{ \begin{array}{l} -\frac{dV}{dz} = (R + i\omega L)I \\ -\frac{dI}{dz} = (G + i\omega C)V \end{array} \right\}$$

$$\Rightarrow -\frac{d^2 V}{dz^2} = (R + i\omega L) \frac{dI}{dz} = -(R + i\omega L)(G + i\omega C)V$$

$$\Rightarrow \frac{d^2 V}{dz^2} - (R + i\omega L)(G + i\omega C)V = 0 \Rightarrow \frac{d^2 V}{dz^2} - \gamma^2 V = 0$$

$$\text{Ανάλογα ισχύει: } \frac{d^2 I}{dz^2} - \gamma^2 I = 0$$

## ΓΡΑΜΜΕΣ ΜΕΤΑΦΟΡΑΣ (3)

Οι λύσεις των παραπάνω εξισώσεων είναι:

$$V(z) = V_+ e^{-\gamma z} + V_- e^{+\gamma z} \quad \text{και} \quad I(z) = I_+ e^{-\gamma z} + I_- e^{+\gamma z}$$

$$\Rightarrow I(z) = \frac{-1}{R + i\omega L} \frac{dV}{dz} = \frac{-1}{R + i\omega L} (-\gamma V_+ e^{-\gamma z} + \gamma V_- e^{+\gamma z})$$

$$\Rightarrow I(z) = \sqrt{\frac{G + i\omega C}{R + i\omega L}} (V_+ e^{-\gamma z} - V_- e^{+\gamma z})$$

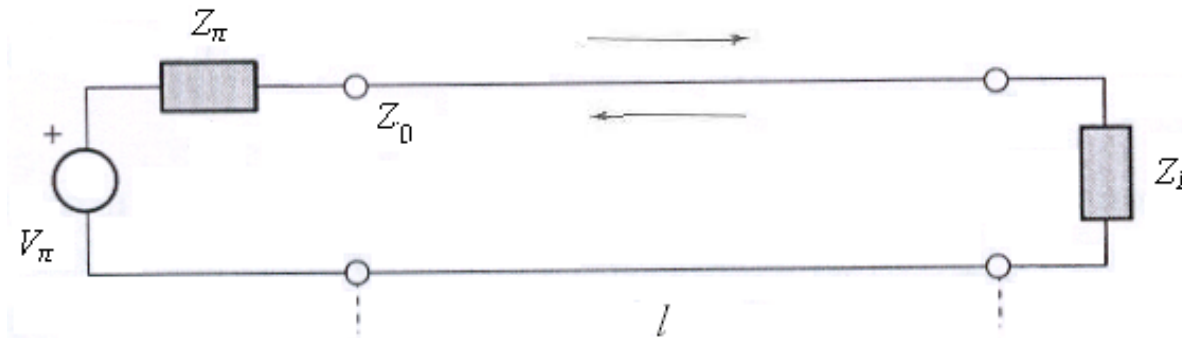
$$\Rightarrow I(z) = \frac{1}{Z_0} (V_+ e^{-\gamma z} - V_- e^{+\gamma z})$$

$$Z_0 = \sqrt{\frac{R + i\omega L}{G + i\omega C}} \quad \text{είναι η σύνθετη αντίσταση γραμμής μεταφοράς}$$

**Γραμμή χωρίς απώλειες**

$$Z_0 = \sqrt{\frac{L}{C}}, \quad \gamma = i\omega\sqrt{LC} = i\beta, \quad u_\phi = \frac{\omega}{\beta} = \frac{1}{\sqrt{LC}} = \frac{1}{\sqrt{\epsilon_0\mu_0}} = c$$

## ΓΡΑΜΜΕΣ ΜΕΤΑΦΟΡΑΣ (4)



$V_+ e^{-\gamma z}$ : προσπίπτον κύμα και  $V_- e^{+\gamma z}$ : ανακλώμενο κύμα

$$\rho(z) = \frac{V_{av}}{V_{\pi\rho}} = \frac{V_- e^{+\gamma z}}{V_+ e^{-\gamma z}} \Rightarrow \rho(l) = \frac{V_-}{V_+} e^{+2\gamma l}$$

$$\frac{V(z)}{I(z)} = Z(z) = Z_0 \frac{V_+ e^{-\gamma z} + V_- e^{+\gamma z}}{V_+ e^{-\gamma z} - V_- e^{+\gamma z}} \Rightarrow Z(z) = Z_0 \frac{1 + \rho(z)}{1 - \rho(z)} \Rightarrow \frac{Z(z)}{Z_0} = \frac{1 + \rho(z)}{1 - \rho(z)}$$

$$\Rightarrow 1 + \frac{Z(z)}{Z_0} = 1 + \frac{1 + \rho(z)}{1 - \rho(z)} \Rightarrow \frac{Z_w + Z(z)}{Z_0} = \frac{2}{1 - \rho(z)} \Rightarrow \rho(z) = \frac{Z(z) - Z_0}{Z(z) + Z_0}$$

## ΓΡΑΜΜΕΣ ΜΕΤΑΦΟΡΑΣ (5)

- $Z(z) = Z_0 \Rightarrow \rho(z) = 0$  προσαρμογή
- $Z(z) = 0 \Rightarrow \rho(z) = -1$  βραχυκύκλωμα
- $Z(z) = \infty \Rightarrow \rho(z) = +1$  ανοιχτοκύκλωμα

$$\rho_L = \rho(l) = \frac{Z_L - Z_0}{Z_L + Z_0} = \frac{V_-}{V_+} e^{2\gamma l} \quad (2.1)$$

$$\text{Στην είσοδο: } Z_{in} = Z(0) = Z_0 \frac{V_+ + V_-}{V_+ - V_-}$$

$$\text{Στο φορτίο: } Z_L = Z_0 \frac{V_+ e^{-\gamma l} + V_- e^{+\gamma l}}{V_+ e^{-\gamma l} - V_- e^{+\gamma l}} \Rightarrow \frac{Z_L}{Z_0} = \frac{1 + \frac{V_-}{V_+} e^{2\gamma l}}{1 - \frac{V_-}{V_+} e^{2\gamma l}}$$

$$\zeta_L = \frac{Z_L}{Z_0} \text{ είναι η ανηγμένη αντίσταση στο φορτίο}$$

## ΓΡΑΜΜΕΣ ΜΕΤΑΦΟΡΑΣ (6)

$$1 + \frac{V_-}{V_+} e^{2\gamma l} = \zeta_L - \zeta_L \left( \frac{V_-}{V_+} \right) e^{2\gamma l} \Rightarrow \left( \frac{V_-}{V_+} \right) e^{2\gamma l} (1 + \zeta_L) = \zeta_L - 1 \Rightarrow \frac{V_-}{V_+} = \frac{\zeta_L - 1}{\zeta_L + 1} e^{-2\gamma L}$$

$$\Rightarrow \zeta_{in} = \frac{1 + \frac{V_-}{V_+}}{1 - \frac{V_-}{V_+}} = \frac{(\zeta_L + 1) + (\zeta_L - 1)e^{-2\gamma L}}{(\zeta_L + 1) - (\zeta_L - 1)e^{-2\gamma L}} = \frac{\zeta_L (e^{\gamma L} + e^{-\gamma L}) + (e^{\gamma L} - e^{-\gamma L})}{\zeta_L (e^{\gamma L} + e^{-\gamma L}) + (e^{\gamma L} - e^{-\gamma L})}$$

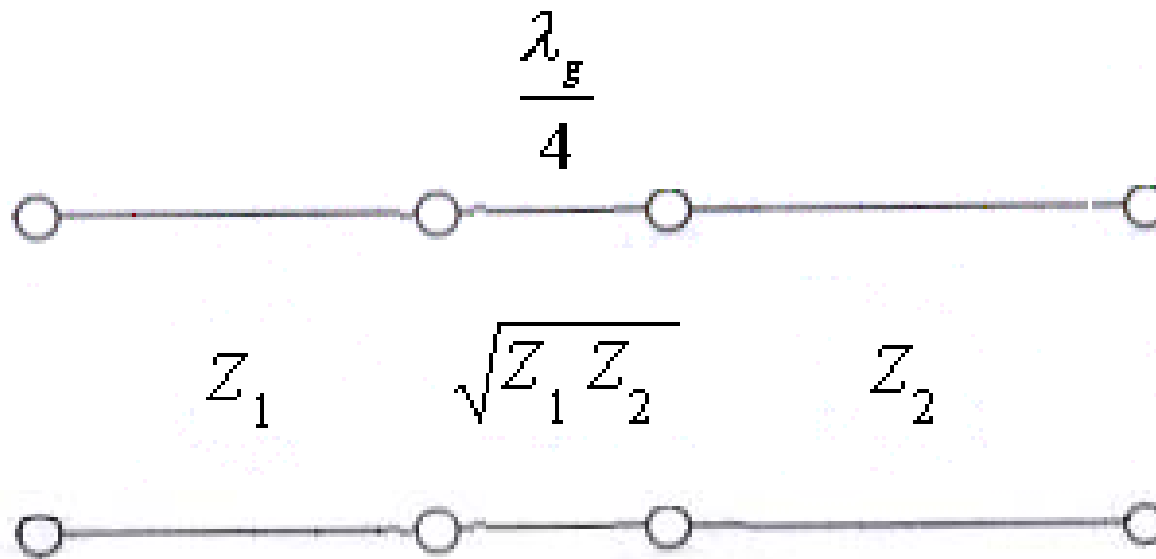
$$\Rightarrow \zeta_{in} = \frac{\zeta_L \cosh(\gamma l) + \sinh(\gamma l)}{\zeta_L \sinh(\gamma l) + \cosh(\gamma l)} \Rightarrow \frac{Z_{in}}{Z_0} = \frac{\frac{Z_L}{Z_0} + \tanh(\gamma l)}{1 + \frac{Z_L}{Z_0} \tanh(\gamma l)}$$

**Γραμμη μεταφορας χωρίς απώλειες:**

$$\gamma = i\beta \left( = i\omega\sqrt{LC} \in I \right), \quad \tanh(ix) = i \tan(x), \quad \frac{Z_{in}}{Z_0} = \frac{\frac{Z_L}{Z_0} + i \tan(\beta l)}{1 + i \frac{Z_L}{Z_0} \tan(\beta l)}$$

## ΓΡΑΜΜΕΣ ΜΕΤΑΦΟΡΑΣ (7)

- $l = \frac{\lambda_g}{2} \Rightarrow \beta l = \pi \Rightarrow Z_{in} = Z_L$
- $l = \frac{\lambda_g}{4} \Rightarrow \beta l = \frac{\pi}{2} \Rightarrow \frac{Z_{in}}{Z_0} = \frac{Z_0}{Z_L} \Rightarrow Z_{in} Z_L = Z_0^2$





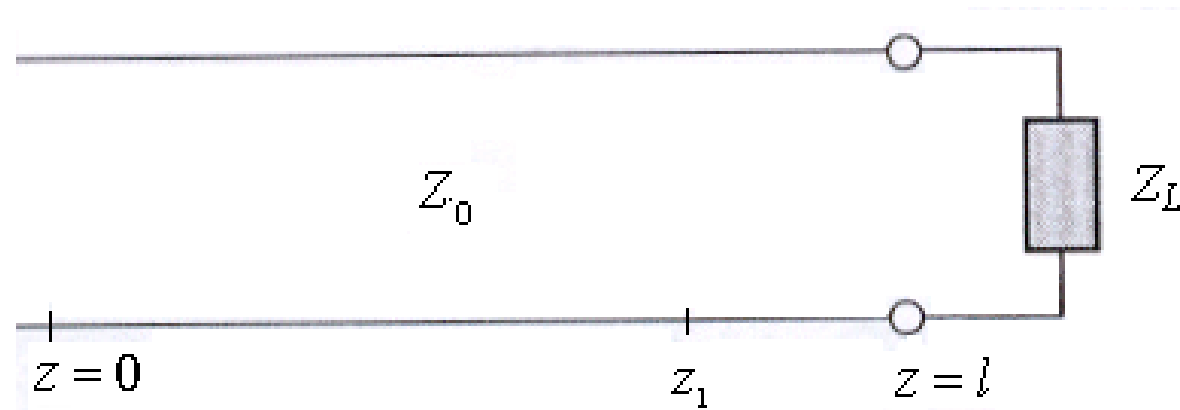
## ΓΡΑΜΜΕΣ ΜΕΤΑΦΟΡΑΣ (8)

$$\begin{aligned} V(z) &= V_+ e^{-\gamma z} + V_- e^{+\gamma z} = V_+ e^{-az} e^{-i\beta z} + V_- e^{+az} e^{i\beta z} \\ &= V_+ e^{-az} e^{-i\beta z} \left[ 1 + \left( \frac{V_-}{V_+} \right) e^{2az} e^{2i\beta z} \right] = V_+ e^{-az} e^{-i\beta z} \left[ 1 + \rho_L e^{2a(z-l)} e^{i2\beta(z-l)} \right] \\ \rho_L \in \mathbb{C} &\Rightarrow V(z) = V_+ e^{-az} e^{-i\beta z} \left[ 1 + |\rho_L| e^{2a(z-l)} e^{i2\beta(z-l)+i\psi} \right] \end{aligned}$$

**Χωρίς απώλειες :**

$$\begin{aligned} V(z) &= V_+ e^{-i\beta z} \left[ 1 + |\rho_L| e^{i[\psi+2\beta(z-l)]} \right] \Rightarrow \\ |V(z)| &= |V_+| \sqrt{\left( 1 + |\rho_L| \cos[\psi + 2\beta(z-l)] \right)^2 + |\rho_L|^2 \sin^2[\psi + 2\beta(z-l)]} \\ &= |V_+| \sqrt{\left( 1 + |\rho_L|^2 + 2|\rho_L| \cos[\psi + 2\beta(z-l)] \right)} \end{aligned}$$

## ΓΡΑΜΜΕΣ ΜΕΤΑΦΟΡΑΣ (9)



$$\frac{V_{\max}}{V_{\min}} = \frac{1 + |\rho_L|}{1 - |\rho_L|} = S \text{ είναι ο λόγος στάσιμου κύματος τάσης } VSWR$$

$$0 \leq |\rho_L| \leq 1 \Rightarrow 1 \leq S < \infty$$

Το πρώτο ελάχιστο τάσης απέχει από το φορτίο απόσταση  $d \equiv l - z_1$ :

$$\cos[\psi + 2\beta(z_1 - l)] = -1 \Rightarrow \cos(\psi - 2\beta d) = \cos(\pi)$$

$$\Rightarrow \psi - 2\beta d = \pi \Rightarrow d = \frac{\psi - \pi}{2\beta}$$

# ΓΡΑΜΜΕΣ ΜΕΤΑΦΟΡΑΣ (10)

## Χάρτης Smith

$$\rho_L = \frac{Z_L - Z_0}{Z_L + Z_0} = \frac{\zeta_L - 1}{\zeta_L + 1} \Rightarrow \rho_L = |\rho_L| e^{i\psi} = |\rho_L| \cos \psi + i |\rho_L| \sin \psi \equiv u + iv$$

$$\zeta_L = R + iX$$

$$\rho_L = \frac{(R-1) + iX}{(R+1) + iX}$$

$$|\rho_L| = \frac{\sqrt{(R-1)^2 + X^2}}{\sqrt{(R+1)^2 + X^2}}, \quad \psi = \tan^{-1}\left(\frac{X}{R-1}\right) - \tan^{-1}\left(\frac{X}{R+1}\right)$$

$$\rho_L = \frac{[(R-1) + iX][(R+1) - iX]}{(R+1)^2 + X^2} = \frac{1}{[(R+1)^2 + X^2]} \left\{ (R^2 - 1 + X^2) + i2X \right\}$$

## ΓΡΑΜΜΕΣ ΜΕΤΑΦΟΡΑΣ (11)

$$u = |\rho_L| \cos \psi \quad \text{και} \quad v = |\rho_L| \sin \psi \Rightarrow -1 \leq u, v \leq 1$$

$$|\rho_L| = \sqrt{u^2 + v^2}$$

$$u = \frac{R^2 + X^2 - 1}{(R+1)^2 + X^2} \quad v = \frac{2X}{(R+1)^2 + X^2}$$

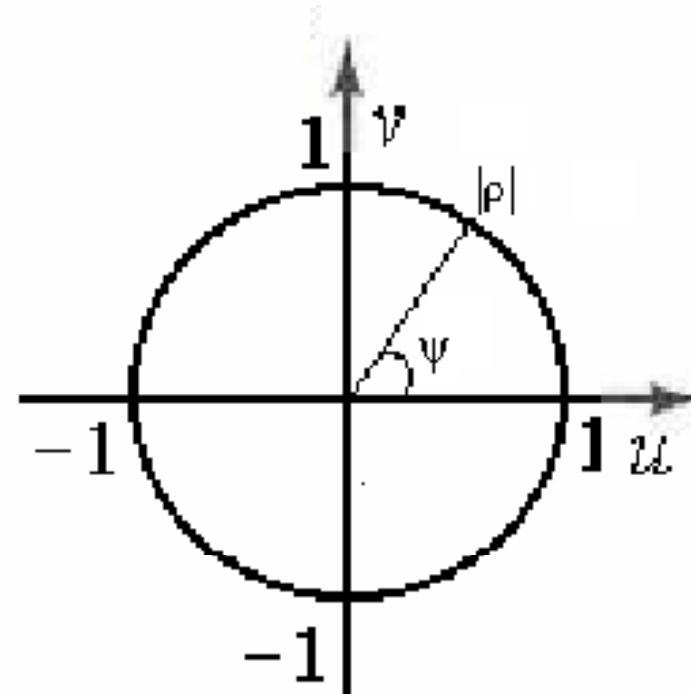
$$R = 0 \Rightarrow |\rho_L| = 1 \quad \psi = 0, \pi$$

$$X = 0 \Rightarrow |\rho_L| = \frac{|R-1|}{R+1}$$

$$SWR = \frac{R+1 + |R-1|}{R+1 - |R-1|}$$

i)  $R > 1$ :  $SWR = R$

ii)  $R < 1$ :  $SWR = \frac{1}{R}$



## ΓΡΑΜΜΕΣ ΜΕΤΑΦΟΡΑΣ (12)

$$\zeta = R + iX = \frac{1 + \rho_L}{1 - \rho_L} = \frac{1 + u + iv}{1 - u - iv}$$

$$\Rightarrow \left( u - \frac{R}{R+1} \right)^2 + v^2 = \frac{1}{(R+1)^2}$$

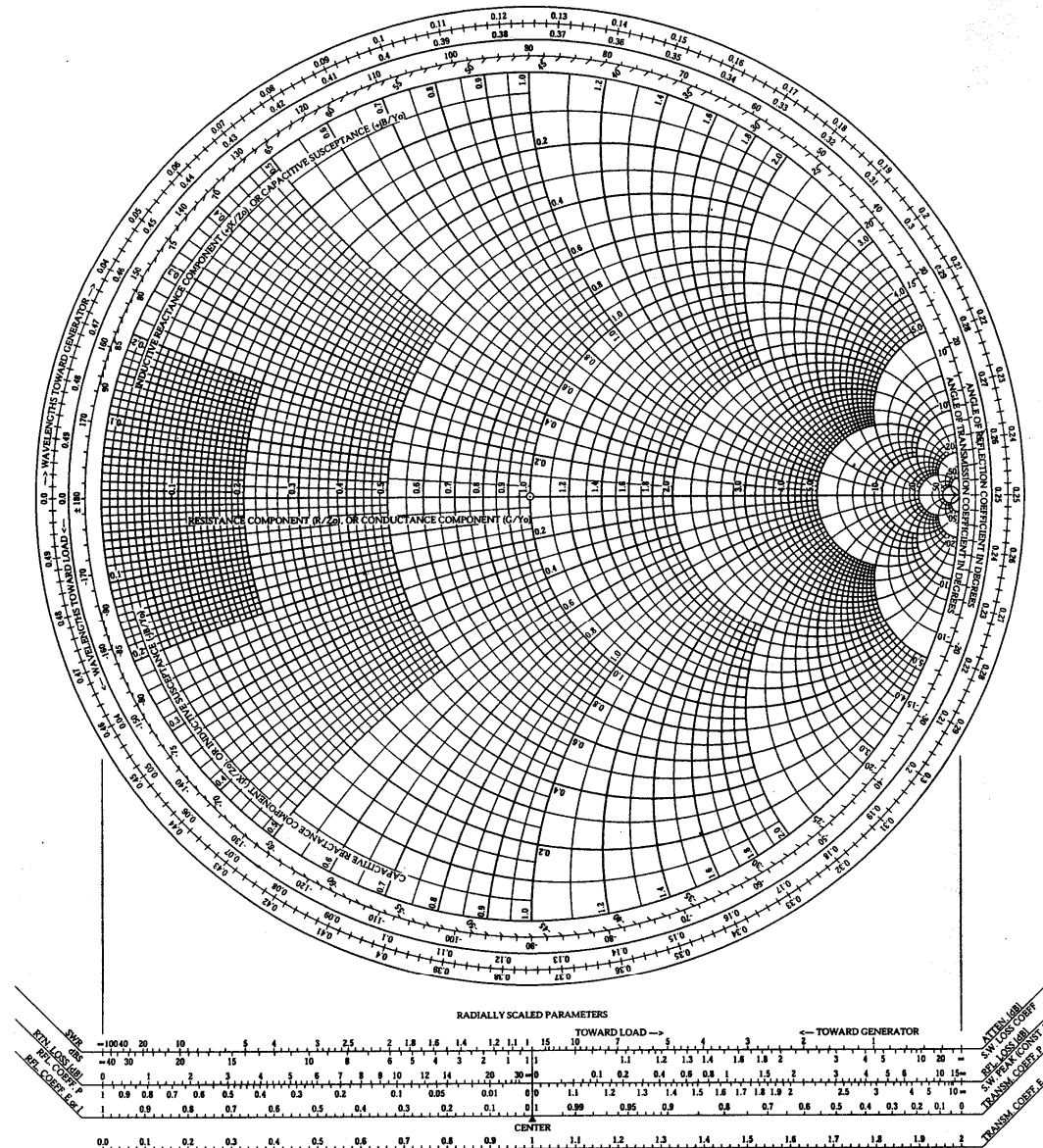
$$(u-1)^2 + \left( v - \frac{1}{X} \right)^2 = \frac{1}{X^2}$$

$$\left. \begin{array}{l} R = \text{σταθερό} \\ -\infty < X < +\infty \end{array} \right\} \Rightarrow \text{κύκλος: κέντρο } \left( u = \frac{R}{R+1}, v = 0 \right), \quad \text{ακτίνα } \frac{1}{R+1}$$

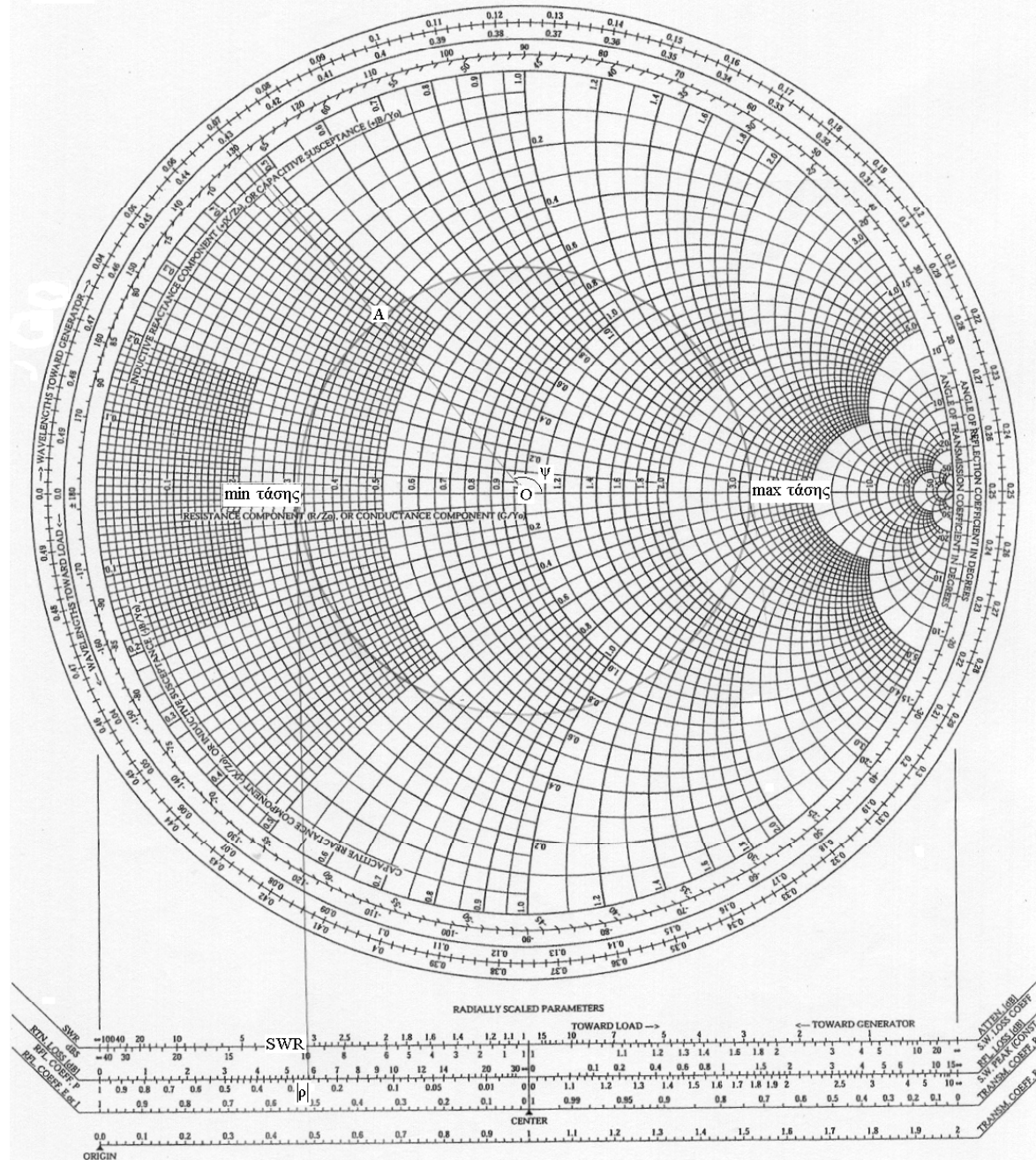
$$\left. \begin{array}{l} X = \text{σταθερό} \\ 0 < R < +\infty \end{array} \right\} \Rightarrow \text{κύκλος: κέντρο } \left( u = 1, v = \frac{1}{X} \right), \quad \text{ακτίνα } \frac{1}{X}$$

# ΓΡΑΜΜΕΣ ΜΕΤΑΦΟΡΑΣ (13)

The Complete Smith Chart  
Black Magic Design

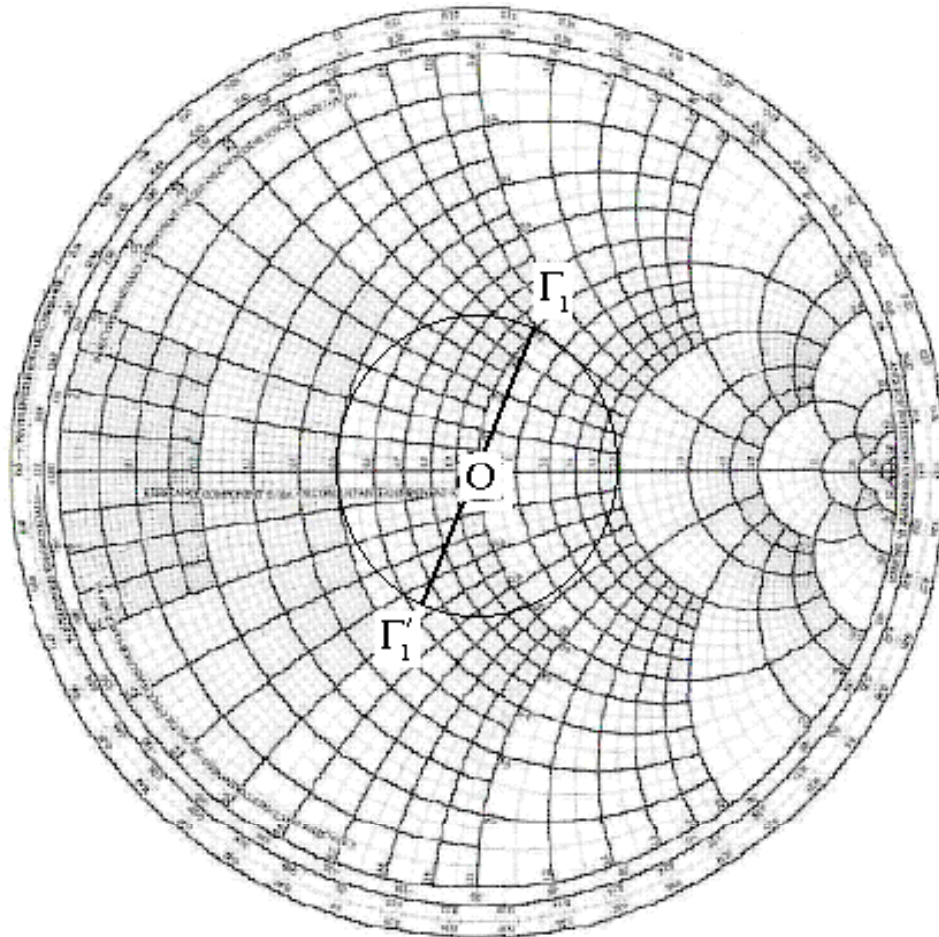
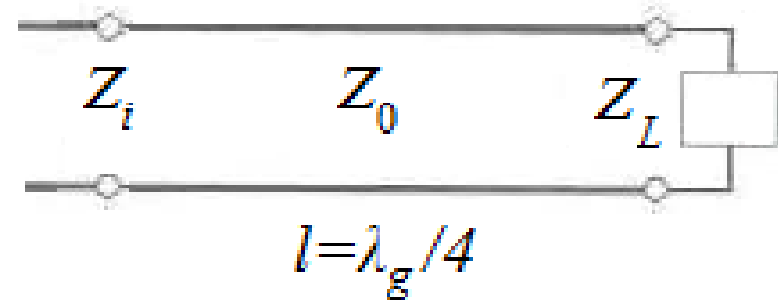


# ΓΡΑΜΜΕΣ ΜΕΤΑΦΟΡΑΣ (14)



## ΓΡΑΜΜΕΣ ΜΕΤΑΦΟΡΑΣ (15)

$$\frac{Z_i}{Z_0} = \frac{1}{\frac{Z_L}{Z_0}} \Rightarrow \zeta_i = \frac{1}{\zeta_L} = y_L$$



Η ανηγμένη αντίσταση ενός σημείου ισούται με την ανηγμένη αγωγιμότητα του αντιδιαμετρικού του σημείου.



## ΓΡΑΜΜΕΣ ΜΕΤΑΦΟΡΑΣ (16)

**Άσκηση 4.** Έστω γραμμή μεταφοράς χωρίς απώλειες με χαρακτηριστική αντίσταση  $50 \Omega$ , φορτίο  $Z_L=20-i30 (\Omega)$  και συχνότητα λειτουργίας  $50 \text{ MHz}$ . Να βρεθεί ο συντελεστής ανάκλασης στο φορτίο, ο λόγος στασίμου κύματος και η θέση του πρώτου ελαχίστου τάσης από το φορτίο αναλυτικά και γραφικά.

**Λύση**

$$\zeta_L = \frac{Z_L}{Z_0} = 0.4 - i0.6 \text{ σημείο } M(0.4, -0.6) \Rightarrow$$

$$\rho_L = \frac{0.4 - i0.6 - 1}{0.4 - i0.6 + 1} = \frac{-0.6 - i0.6}{1.4 - i0.6} = \frac{-0.6}{2.32} (0.8 + i2) \cong 0.557 e^{i248^\circ},$$

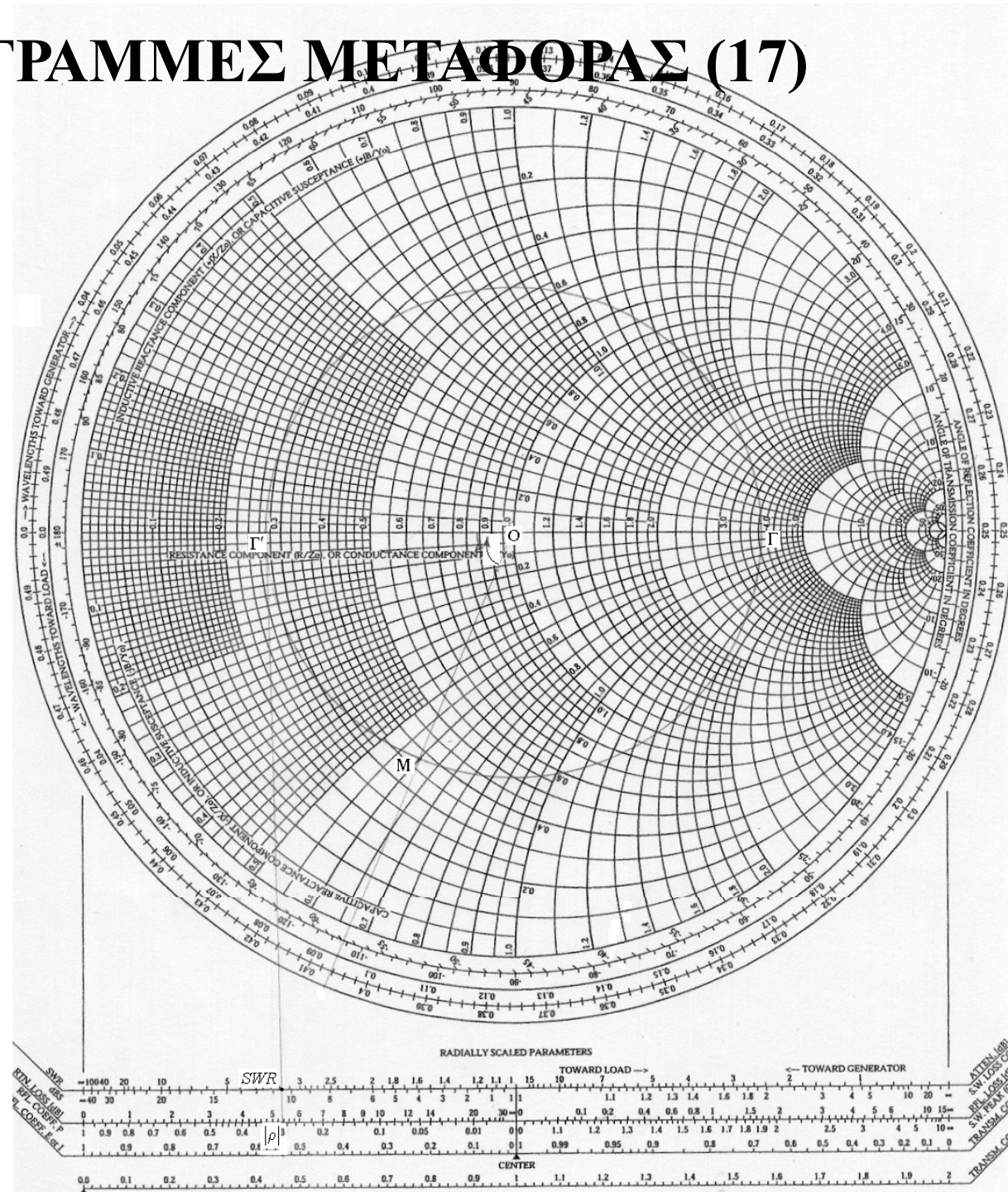
$$SWR = \frac{1 + |\rho_L|}{1 - |\rho_L|} = \frac{1.557}{0.443} \cong 3.516$$

1<sup>ο</sup> ελάχιστο τάσης:  $d = \frac{\psi - \pi}{2\beta} \approx 0.57m$ ,  $\beta = \frac{2\pi}{\lambda_g} = \frac{2\pi f}{c} = \frac{\pi}{3}$ , στο χάρτη Smith κινούμαστε

δεξιοστρόφα κατά  $\varphi = 68^\circ \Rightarrow \frac{68^\circ}{360^\circ} \frac{\lambda_g}{2}$  (τόξο ΜΓ')

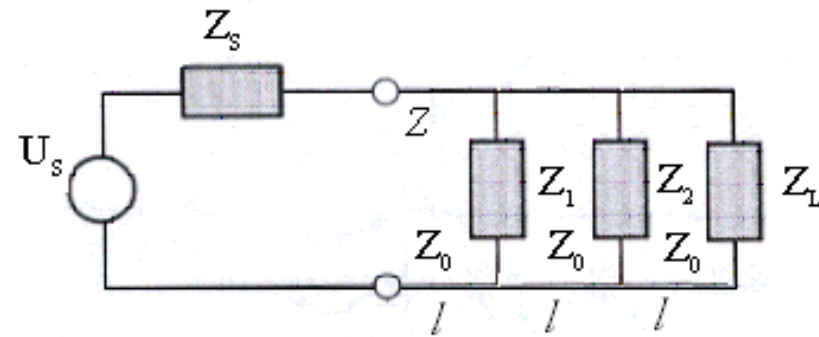
# ΓΡΑΜΜΕΣ ΜΕΤΑΦΡΑΣ (17)

Χάρτης Smith  
για την άσκηση 4



## ΓΡΑΜΜΕΣ ΜΕΤΑΦΟΡΑΣ (18)

**Άσκηση 5.** Έστω γραμμή μεταφοράς χωρίς απώλειες με χαρακτηριστική αντίσταση  $100 \Omega$  και φορτίο  $65 + i100 \Omega$ . Κατά μήκος της γραμμής και σε αποστάσεις  $l = 0.132\lambda_g$  συνδέονται τα φορτία  $Z_1 = i87 \Omega$  και  $Z_2 = 500 \Omega$ .



Αν στην είσοδο της γραμμής τοποθετηθεί πηγή με τάση  $U_S = 100 \text{ V}$  και  $Z_S = 100 \Omega$ . Πόση είναι η σύνθετη αντίσταση στην είσοδο της γραμμής καθώς πόση η κατανάλωση ισχύος σε αυτήν;

**Λύση**

$$\zeta_L = 0.65 + i \text{ (σημείο T)}$$

$$y_L = \frac{1}{\zeta_L} = 0.45 - i0.7 \text{ (σημείο U) αντιδιαμετρικό σημείο του T}$$

Ο εξωτερικός κύκλος τέμνεται στο  $0.392\lambda_g$  από την προέκταση της ευθείας ΟΥ. Κινούμαστε κατά  $0.132\lambda_g$  προς την πηγή, δηλ.

$$0.392\lambda_g + 0.132\lambda_g = 0.524\lambda_g \Rightarrow \text{σημείο A } y_L^A = 0.3 + i0.14$$

## ΓΡΑΜΜΕΣ ΜΕΤΑΦΟΡΑΣ (19)

$\zeta_2 = 5 \Rightarrow y_2 = 0.2 \Rightarrow y_B = y_L^A + y_2 = 0.5 + i0.14$ . Νέος κύκλος (O,OB).

Η προέκταση της ακτίνας OB τέμνει τον εξωτερικό κύκλο στο  $0.03\lambda_g$ .

Κινούμαστε προς την πηγή κατά  $0.132\lambda_g$ , δηλ.  $0.132\lambda_g + 0.03\lambda_g = 0.162\lambda_g$

$\Rightarrow$  σημείο C  $y_C = 1.1 + i0.75$  και  $y_1 = \frac{1}{\zeta_1} = \frac{1}{i0.87} = -i1.15 \Rightarrow$

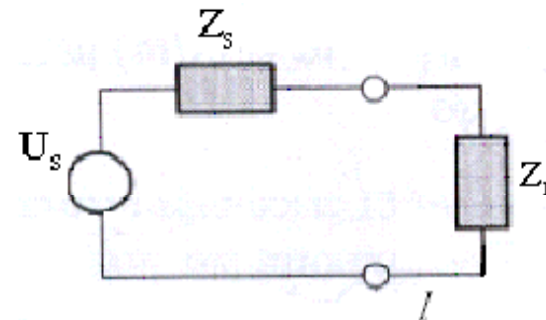
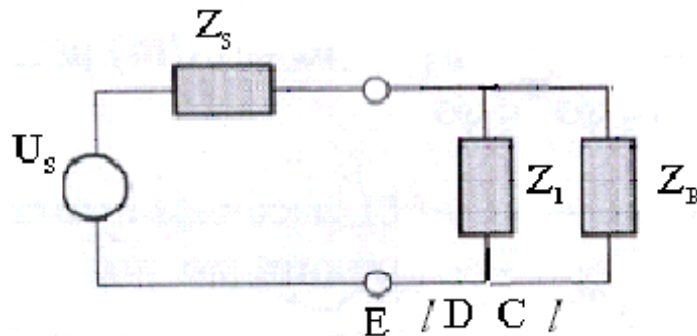
$y_D = y_C + y_1 = 1.1 + i0.75 - i1.15 = 1.1 - i0.4$ .

Η ευθεία OD τέμνει τον εξωτερικό κύκλο στο  $0.32\lambda_g$ . Κινούμαστε ξανά

προς την πηγή κατά  $0.132\lambda_g$ , δηλ.  $0.132\lambda_g + 0.32\lambda_g = 0.472\lambda_g \Rightarrow$  σημείο E

$y_E \approx 0.67 - i0.1$ . Παίρνουμε το αντιδιαμετρικό σημείο F του E,

$\zeta_F = 1.4 + i0.2 \Rightarrow Z_F = 140 + i20 \Omega$



# Βήματα επίλυσης

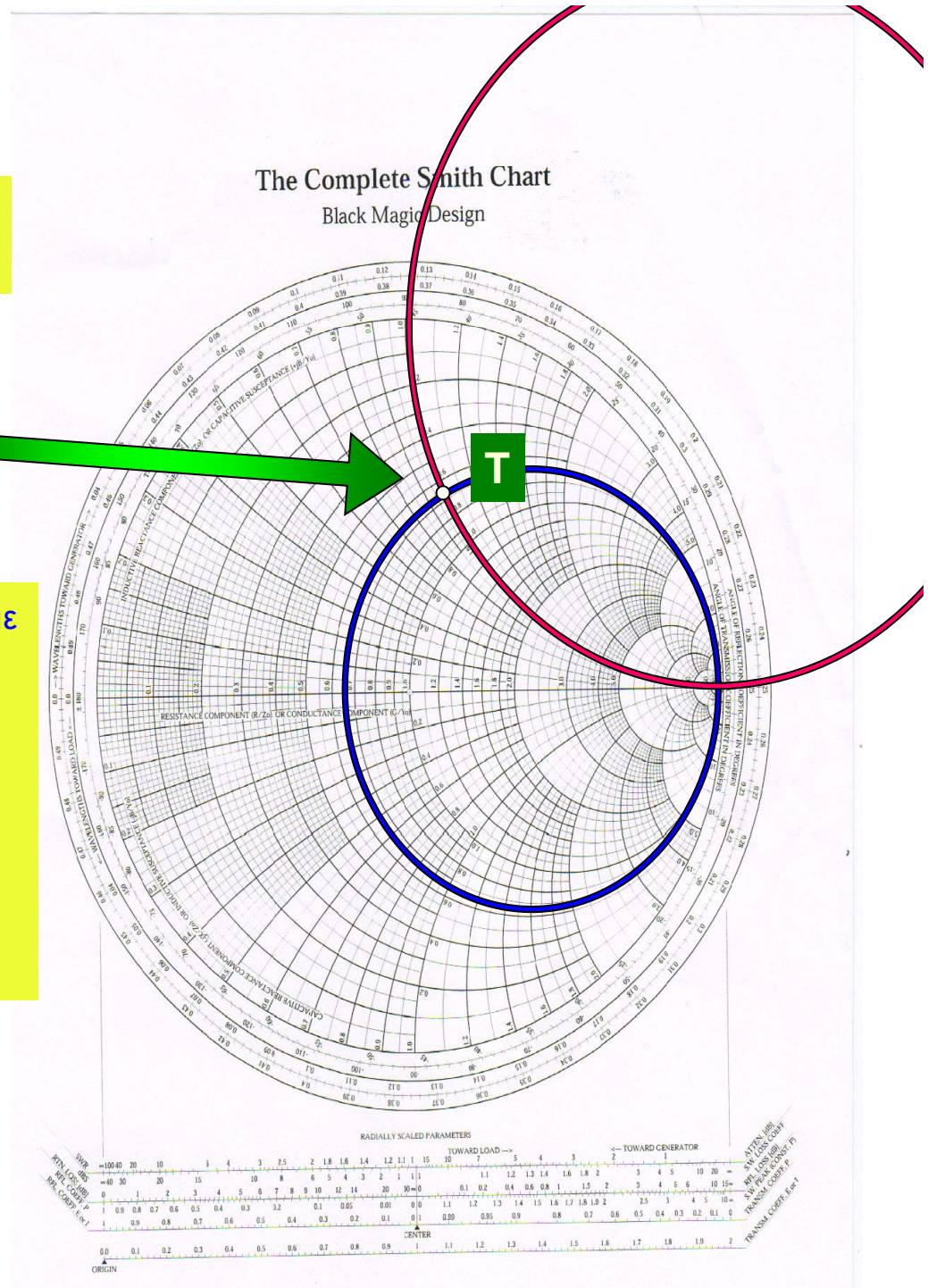
1. Αντιστοιχίζουμε την ανηγμένη αντίσταση του φορτίου  $z_L (=0.65+i1)$  στο σημείο **T**.

Βρίσκουμε τον κύκλο με  $R=0.65$

Βρίσκουμε τον κύκλο με  $X=1$

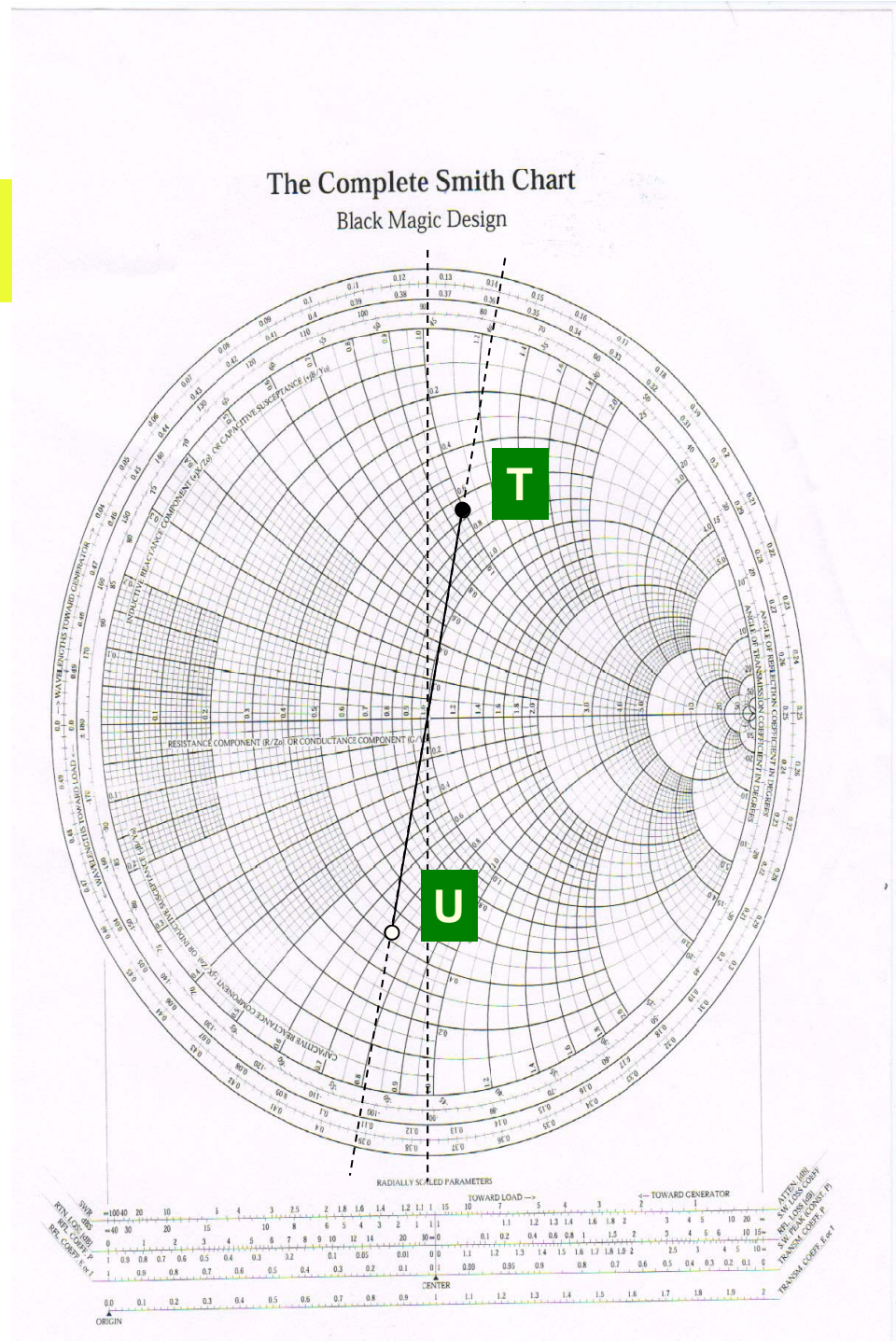
Η τομή τους είναι το σημείο **T**

2. Επειδή οι αντιστάσεις  $Z_1$  και  $Z_2$  συνδέονται με το φορτίο παράλληλα συμφέρει να δουλέψουμε με αγωγιμότητες. Έτσι, αντί για το σημείο **T**, λοιπόν, επιλέγουμε το αντιδιαμετρικό του **U**, αφού στο χάρτη Smith μπορούν να παρασταθούν τόσο αντιστάσεις όσο και αγωγιμότητες, αρκεί αυτές να είναι ανηγμένες ποσότητες.



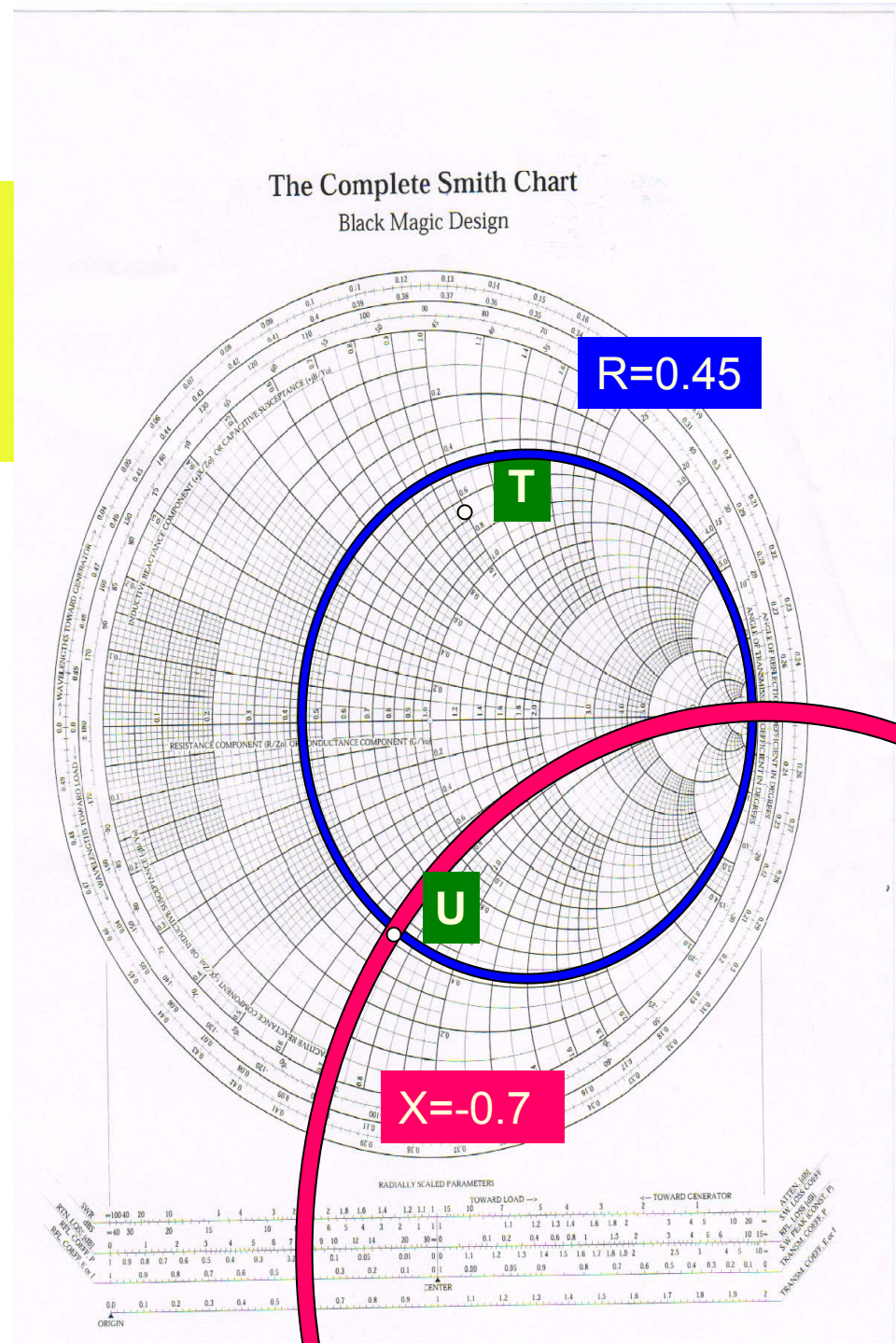
# Βήματα επίλυσης

1. Αντιστοιχίζουμε την ανηγμένη αντίσταση του φορτίου  $Z_L$  στο σημείο  $T$ .
2. Επειδή οι αντιστάσεις  $Z_1$  και  $Z_2$  συνδέονται με το φορτίο παράλληλα συμφέρει να δουλέψουμε με αγωγιμότητες. Αντί για το σημείο  $T$ , λοιπόν, επιλέγουμε το αντιδιαμετρικό του  $U$ , εφόσον τα σημεία στο χάρτη Smith μπορούν να παριστούν τόσο αντιστάσεις όσο και αγωγιμότητες, αρκεί αυτές να είναι ανηγμένες.



## Βήματα επίλυσης

3. Το σημείο **U** όπως είναι φυσικό αντιστοιχεί στην αγωγιμότητα  $y_L = 1/(0.65+i) = 0.45 - i 0.7$
4. Πράγματι, αυτό μπορεί να επαληθευτεί με το γεγονός ότι το σημείο **U** στο χάρτη Smith είναι η τομή των κύκλων  $R=0.45$  και  $X=-0.7$



## Βήματα επίλυσης

5. Στη συνέχεια μετακινούμαστε σε τόξο μήκους  $0.132\lambda_g$ , το οποίο αντιστοιχεί σε μετακίνηση από το φορτίο προς την πηγή, για αυτό και η κίνηση γίνεται δεξιόστροφα.

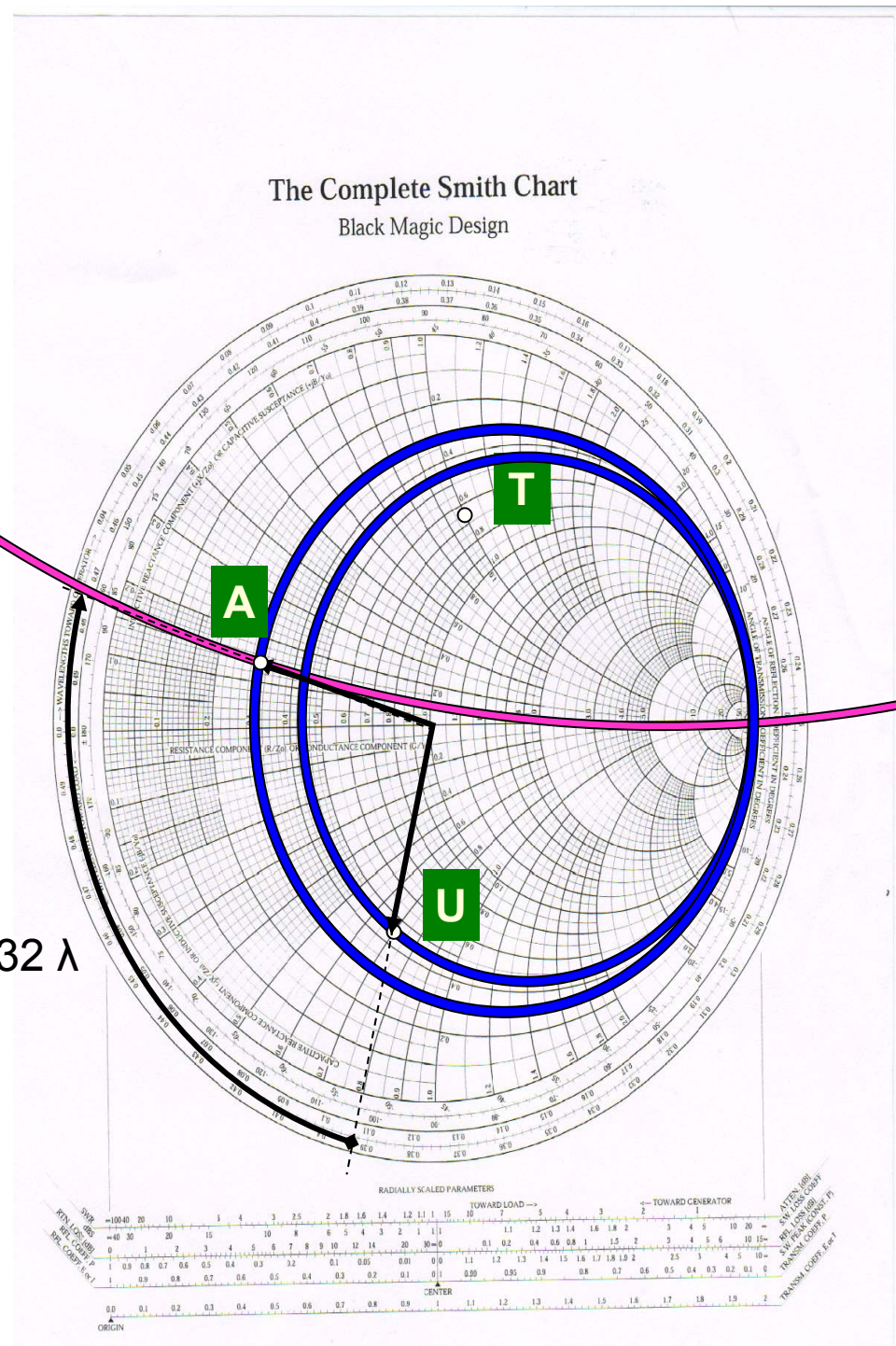
Ερώτηση: Το σημείο A βρίσκεται μόνο γραφικά;

6. Προσοχή: Είναι λάθος να πέσει το σημείο A πάνω στον κύκλο  $R=0.45$ .

7. Το σημείο A απέχει από την αρχή O όσο είναι το μέτρο της ακτίνας OU.

8. Το σημείο A έχει ανηγμένη αγωγιμότητα  $y_L=0.3 + i 0.14$  και είναι η τομή των κύκλων  $R=0.3$  και  $X=0.14$ .

$0.132 \lambda$

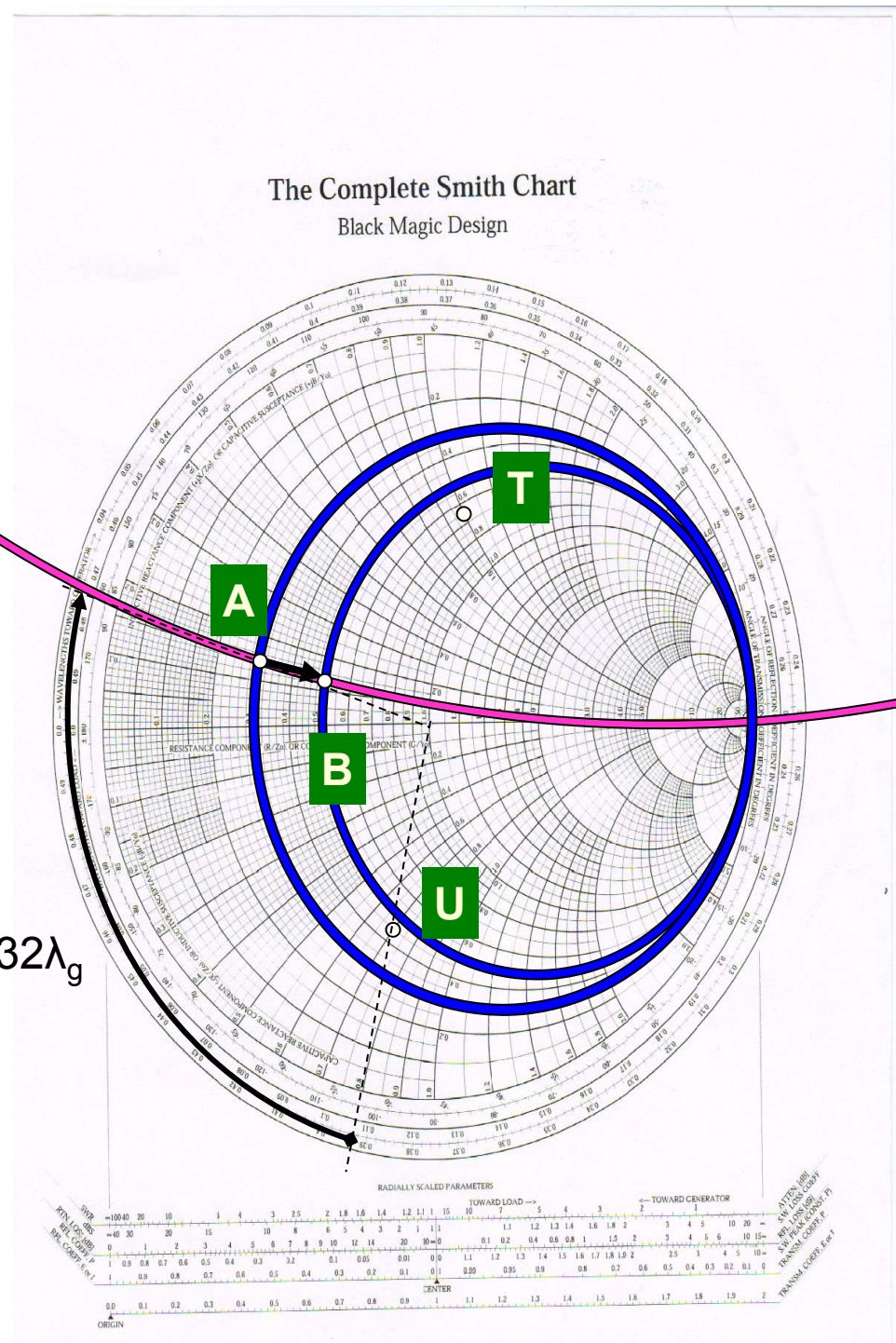




## Βήματα επίλυσης

9. Στη συνέχεια, προσθέτουμε την ανηγμένη αντίσταση  $z_2=5$ , η οποία δεν έχει φανταστικό μέρος.
10. Προσοχή: Δουλεύουμε με ανηγμένες αγωγιμότητες, γι' αυτό μετατρέπουμε πρώτα τη  $z_2$  σε  $y_2=0.2$ .
11. Κινούμαστε πάνω στο τόξο που αντιστοιχεί στο  $X=0.14$ , αφού το φορτίο  $Z_2$  δεν έχει φανταστικό μέρος.
12. Έτσι βρίσκουμε το σημείο B που αντιστοιχεί σε  $R=0.5$

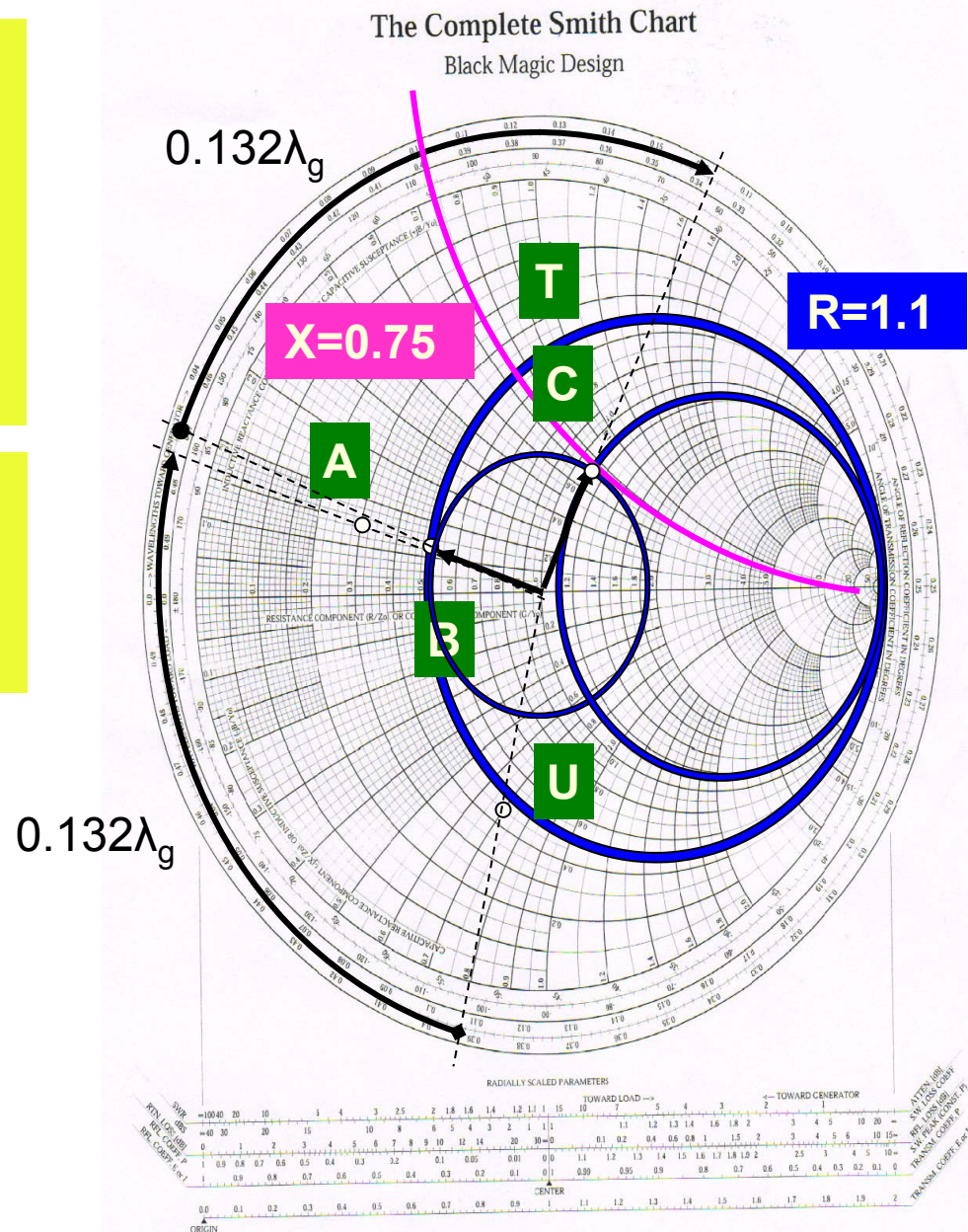
$$0.132\lambda_g$$



## Βήματα επίλυσης

12. Όπως και προηγουμένως υπολογίζουμε την επίδραση του μήκους  $l$  της γραμμής μεταφοράς μεταξύ των φορτίων  $Z_2$  και  $Z_1$ , μετακινούμενοι πάλι πάνω σε τόξο  $0.132\lambda_g$  δεξιόστροφα για τους ίδιους λόγους που αναλύσαμε πριν.

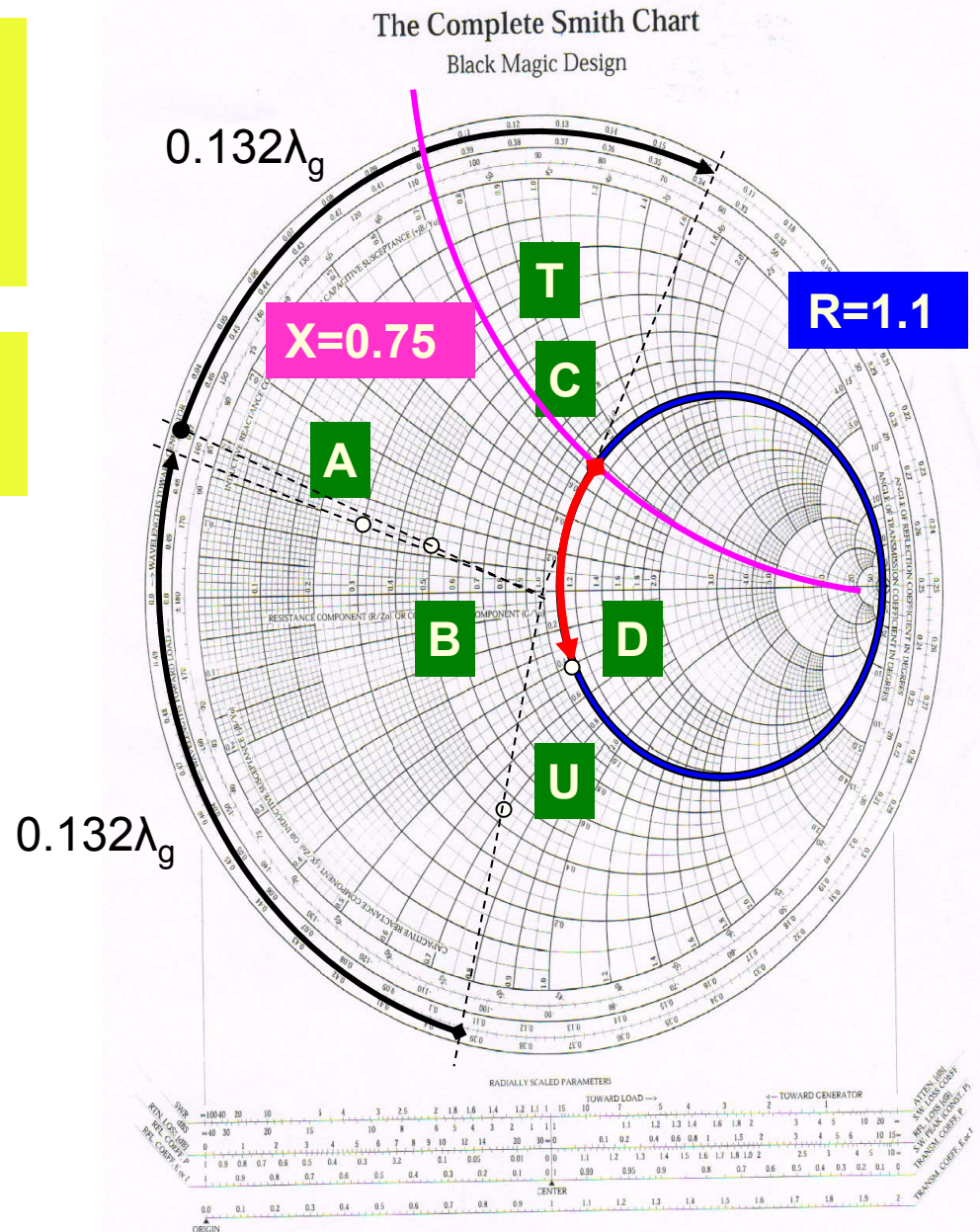
13. Φυσικά το νέο σημείο του κύκλου (O, OB) που προκύπτει είναι το σημείο C, το οποίο αντιστοιχεί σε  $R=1.1$  και  $X=+0.75$ .



## Βήματα επίλυσης

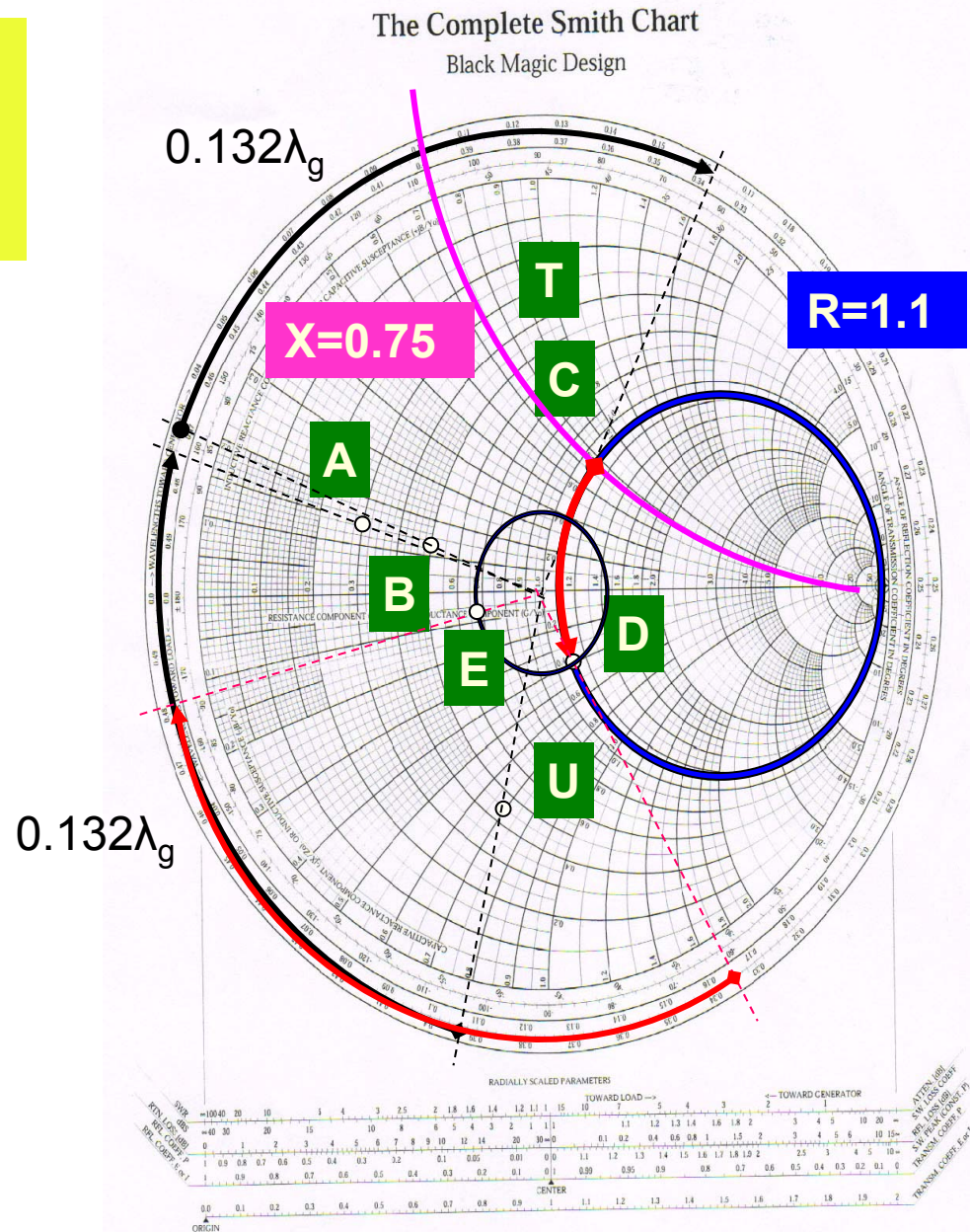
13. Στη συνέχεια, η πρόσθεση της αγωγιμότητας  $\zeta_1$  ισοδυναμεί με τη μετακίνηση πάνω στον κύκλο  $R=1.1$  έως το σημείο που τέμνει τον  $X=-0.4$ .  
Γιατί;

14. Έτσι βρίσκουμε το σημείο D, το οποίο αντιστοιχεί σε ανηγμένη αγωγιμότητα  $1.1-i0.4$ .



# Βήματα επίλυσης

16. Απομένει να υπολογιστεί η ανηγμένη αγωγιμότητα σε μήκος  $l=0.132\lambda_g$  από το φορτίο  $Z_1$  καθώς κινούμαστε προς την πηγή.

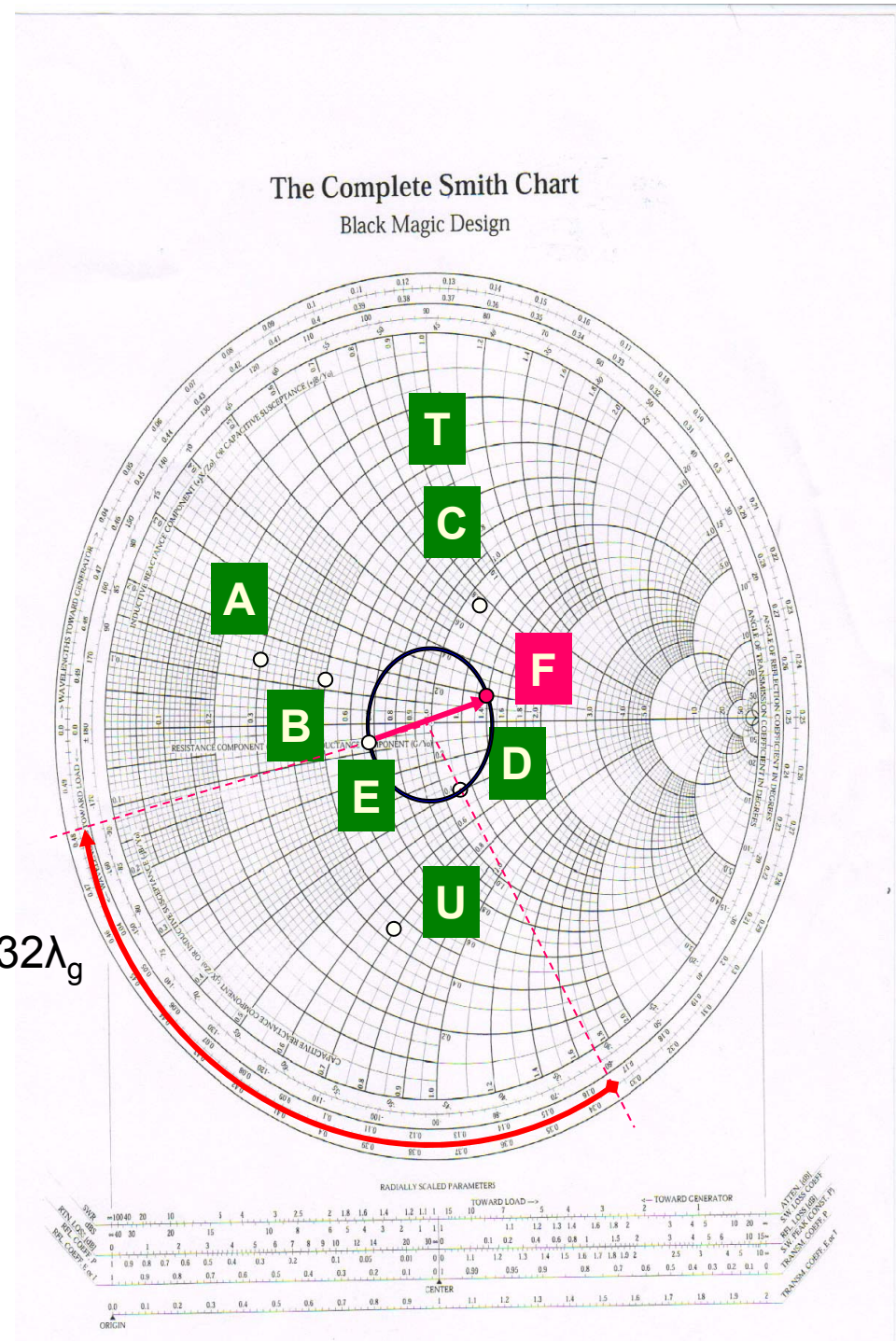


## Βήματα επίλυσης

17. Απομένει να υπολογιστεί το σημείο **F**, το οποίο είναι αντιδιαμετρικό του **E**, για να πάρουμε τιμές για την ανηγμένη αντίσταση που ενδιαφέρει.

18. Η ανηγμένη αντίσταση στο σημείο **F**, είναι:  $\zeta_F = 1.4 + i 0.2$

$0.132\lambda_g$

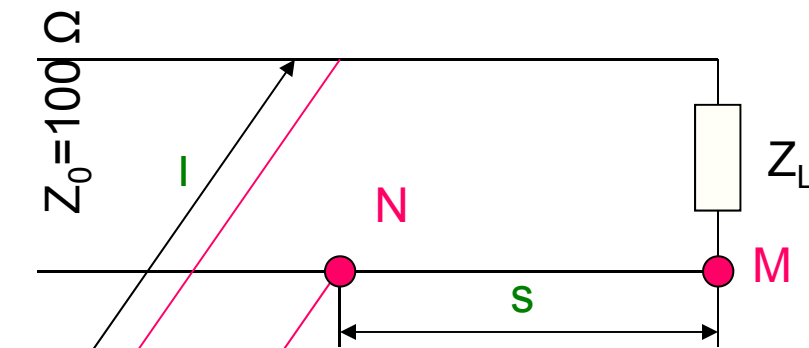


## ΓΡΑΜΜΕΣ ΜΕΤΑΦΟΡΑΣ (21)

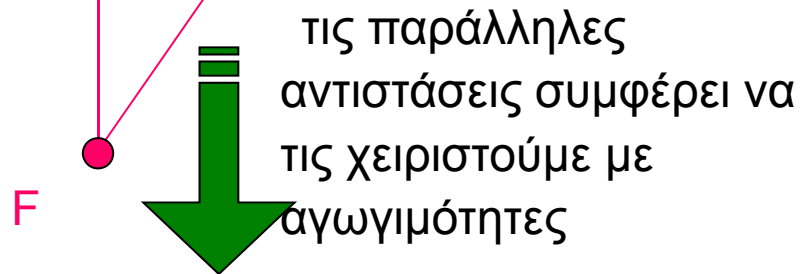
**Άσκηση 6.** Σε γραμμή μεταφοράς χωρίς απώλειες με χαρακτηριστική αντίσταση  $100 \Omega$  και φορτίο  $25 - i75 \Omega$ . Αν το μήκος κύματος στη γραμμή είναι  $30\text{cm}$ , να βρεθεί σε ποια θέση πρέπει να τοποθετηθεί παράλληλα μια βραχυκυκλωμένη γραμμή μεταφοράς καθώς και το μήκος αυτής, ώστε να έχουμε προσαρμογή.

**Λύση**

## Βήματα επίλυσης

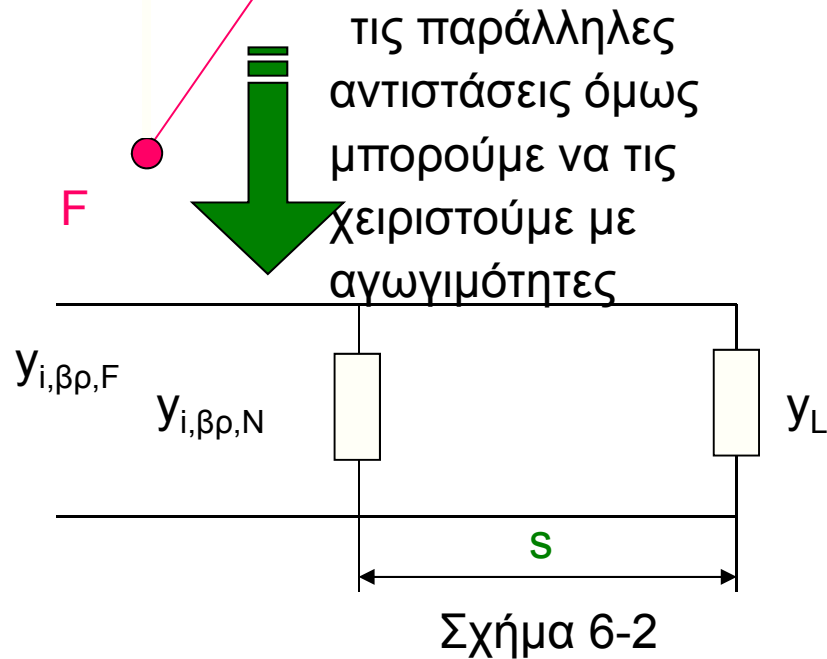
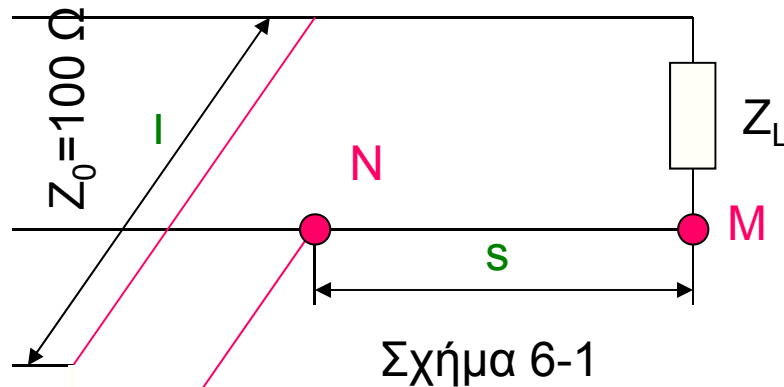


Σχήμα 6-1



Σχήμα 6-2

1. Η ανηγμένη αντίσταση της γραμμής μεταφοράς με χαρακτηριστική αντίσταση  $Z_0=100 \Omega$  πρέπει να είναι  $\zeta_0=1$  στην είσοδο.
2. Όμως, η ανηγμένη αντίσταση αυτή είναι ο παράλληλος συνδυασμός της ανηγμένης αντίστασης εισόδου της βραχυκυκλωμένης γραμμής μεταφοράς και της αντίστασης εισόδου της γραμμής μεταφοράς με φορτίο  $Z_L$ .
3. Η προσαρμογή γίνεται στο σημείο (στη θέση) **N**.
4. Η βραχυκυκλωμένη γραμμή μεταφοράς έχει μήκος  $l$  και βρίσκεται σε απόσταση  $s$  από το φορτίο.



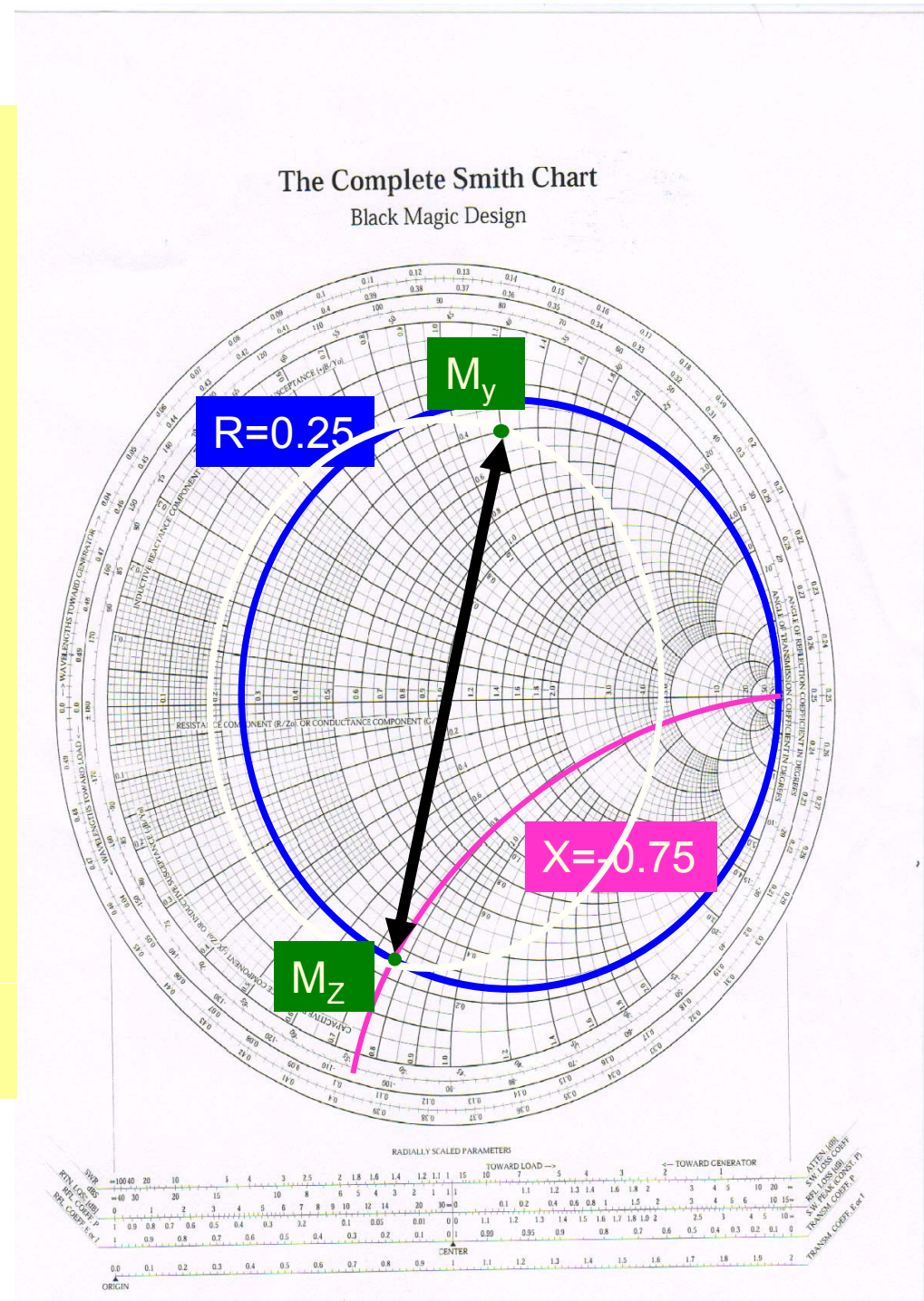
5. Η ολική ανηγμένη αγωγιμότητα του Σχήματος 6-2 είναι ίση με το άθροισμα της τιμής  $y_{i,\beta\rho,N}$  και  $y_{L,N}$
6. Γνωρίζουμε ότι η βραχυκυλωμένη γραμμή μεταφοράς στη θέση (σημείο)  $F$  έχει αντίσταση  $0 \Omega$ , δηλαδή ανηγμένη αντίσταση  $0 + j0$ .
7. Στη συνέχεια, η  $y_L$  πρέπει να υπολογιστεί στη θέση  $N$ . Για την προσαρμογή πρέπει να ισχύει:  $y_{i,\beta\rho,N} + y_{L,N} = 1$ .
8. Τότε  $R_{L,N} + i X_{L,N} + i X_{\beta\rho,N} = 1$ . Επομένως,  $R_{L,N} = 1$  και  $X_{L,N} = -X_{\beta\rho,N}$ , πράγμα που δηλώνει «συζυγή προσαρμογή».



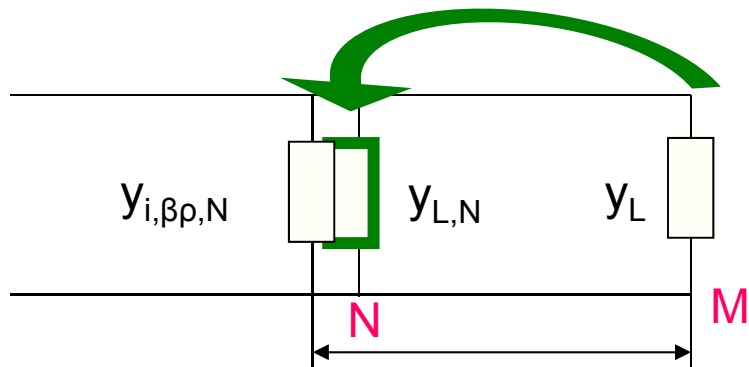
9. Η γραμμή μεταφοράς έχει με φορτίο  $Z_L=25-j75 \Omega$ , δηλαδή έχει ανηγμένη αντίσταση  $z_{L,M}=0.25 - j0.75$  στη θέση  $M$ , η οποία αντιστοιχεί στο σημείο  $M_Z$  πάνω στο χάρτη Smith.

10. Κατά τα γνωστά το σημείο αυτό είναι η τομή των κύκλων  $R=0.25$  και  $X=-0.75$ .

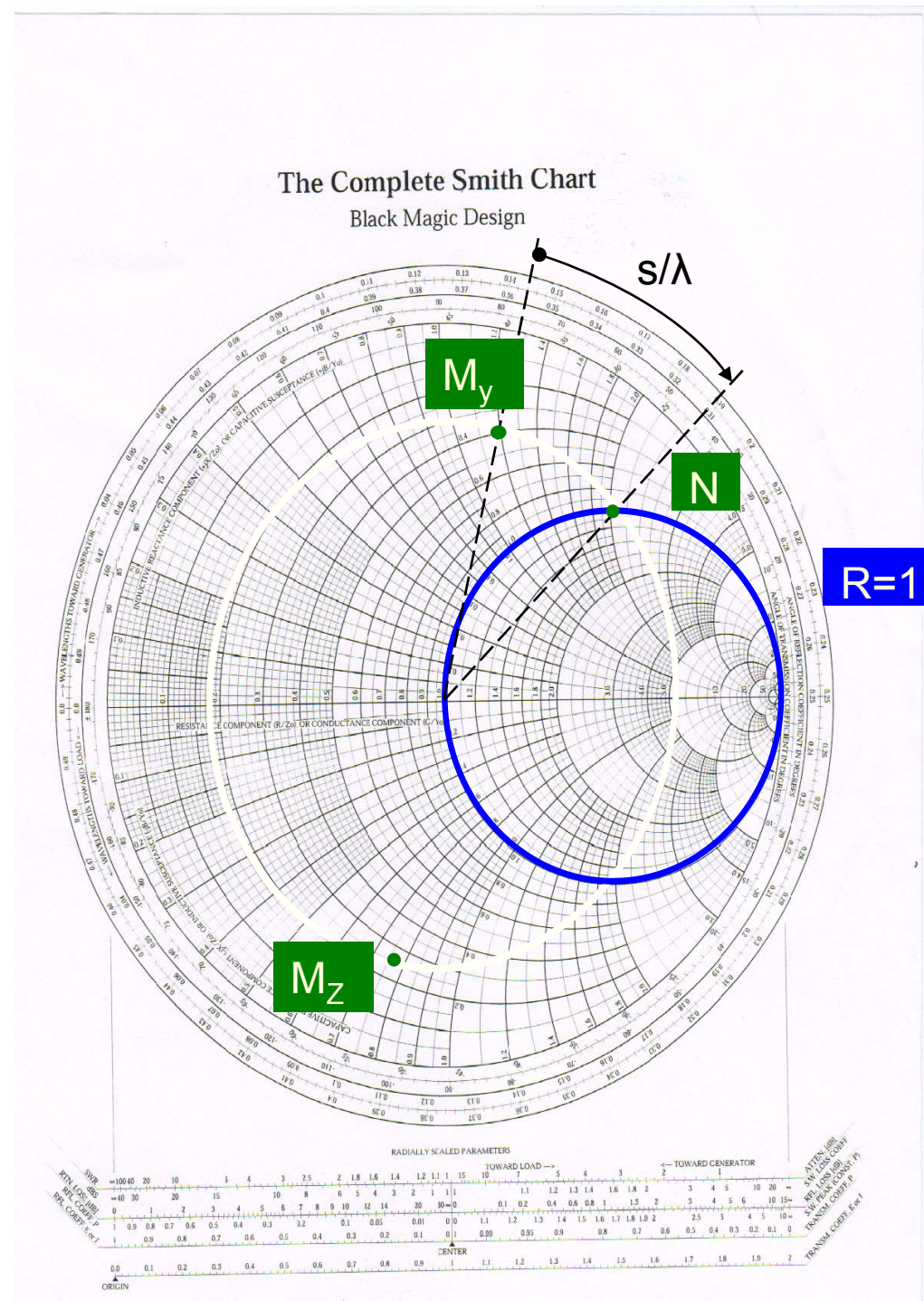
11. Συνεπώς, θα πάρουμε το αντιδιαμετρικό του  $M_y$  πάνω στον κύκλο της γραμμής μεταφοράς για να βρούμε την ανηγμένη αγωγιμότητα στη θέση  $M$ .



12. Εφόσον το σημείο  $M_y$  αντιστοιχεί στην αγωγιμότητα του φορτίου  $Z_L$  στο σημείο  $M$ , πρέπει αυτή να την βρούμε στη θέση  $N$  (είσοδο της γραμμής).



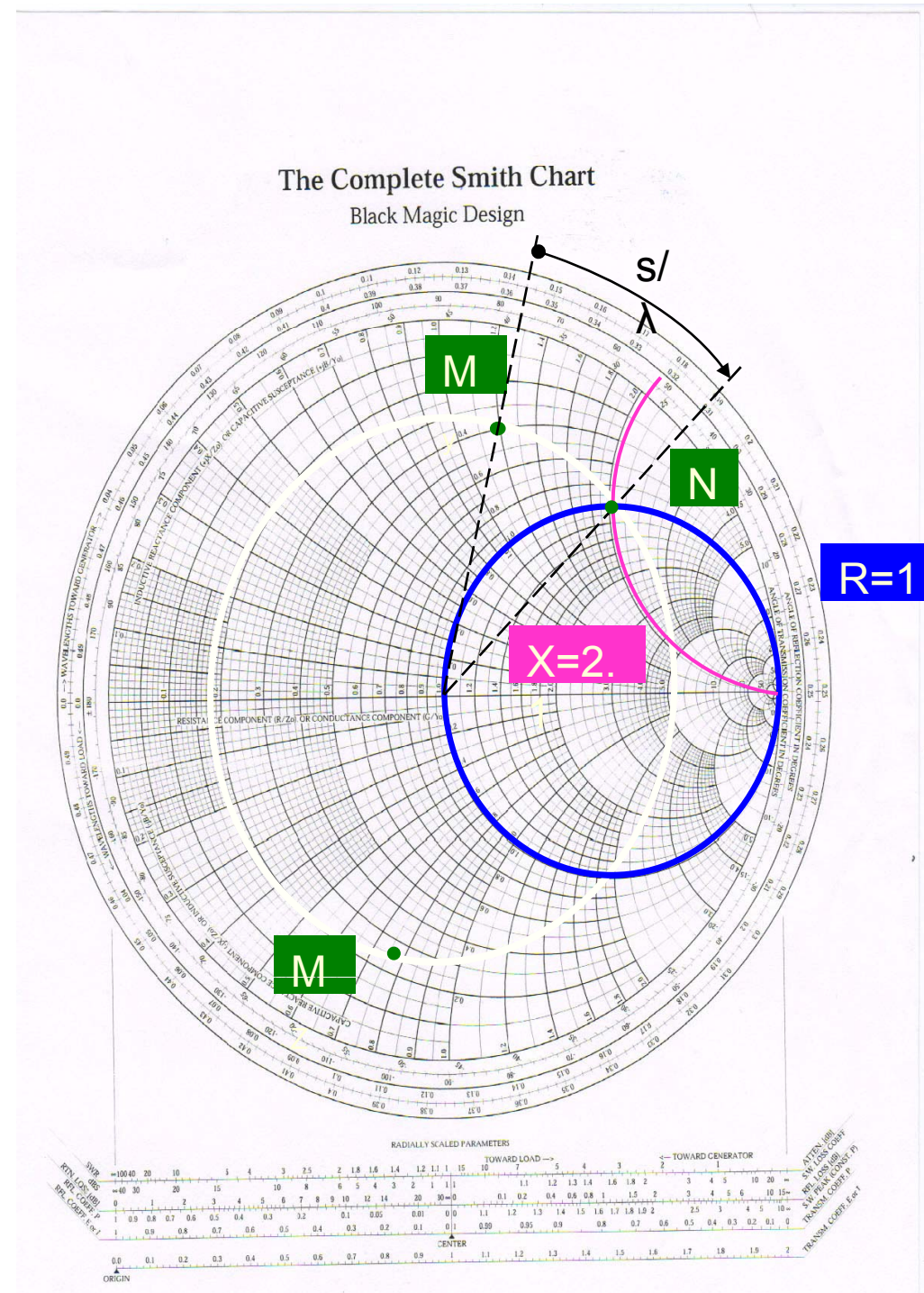
13. Άρα, πρέπει να κινηθούμε κατά τόξο μήκους  $s/\lambda$  προς την πηγή. Επειδή το πραγματικό μέρος της ανηγμένης αγωγιμότητας πρέπει είναι 1, η λύση θα είναι το σημείο τομής της γραμμής μεταφοράς με τον κύκλο  $R=1 \rightarrow$  σημείο  $N$ .



14. Από το χάρτη Smith βρίσκουμε ότι  $s/\lambda=0.046$ .

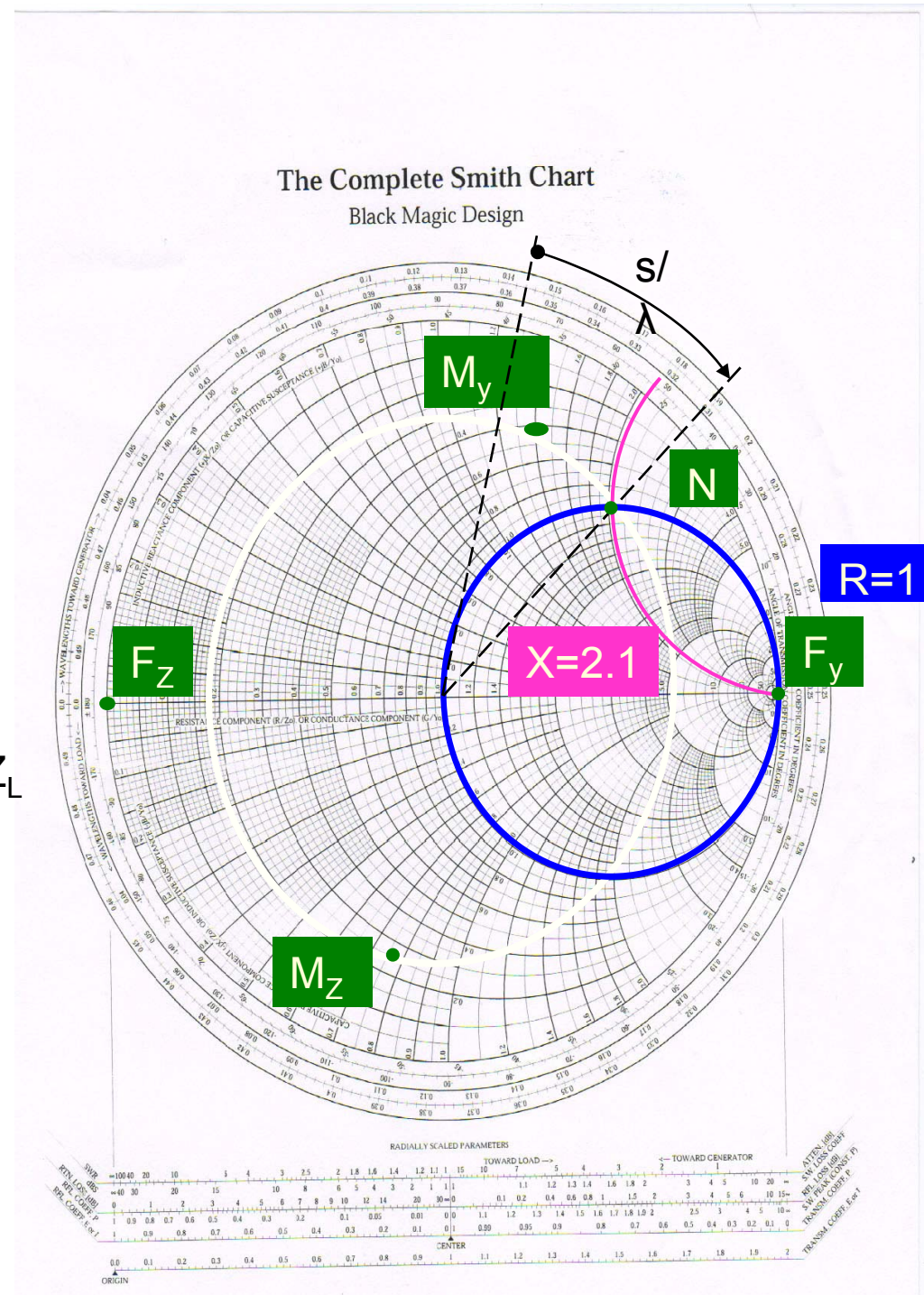
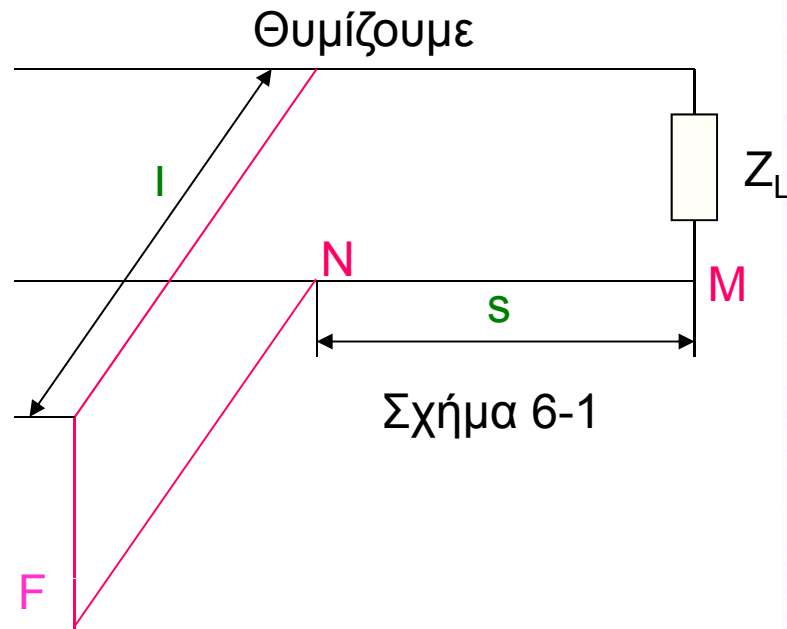
15. Κατά τα γνωστά το σημείο **N** είναι η τομή του κύκλου με αγωγιμότητα  $R=1$  και φανταστική αγωγιμότητα  $X=2.1$

16. Στην πραγματικότητα, η ολική φανταστική ανηγμένη αγωγιμότητα πρέπει να είναι 0. Το ρόλο της αντιστάθμισης παίζει η βραχυκυκλωμένη γραμμή μεταφοράς. Αυτή είναι η φυσική σημασία της συζυγούς προσαρμογής, όπου είχαμε βρει ότι πρέπει  $R=1$  και  $X_{L,N} = -X_{\beta p,N}$



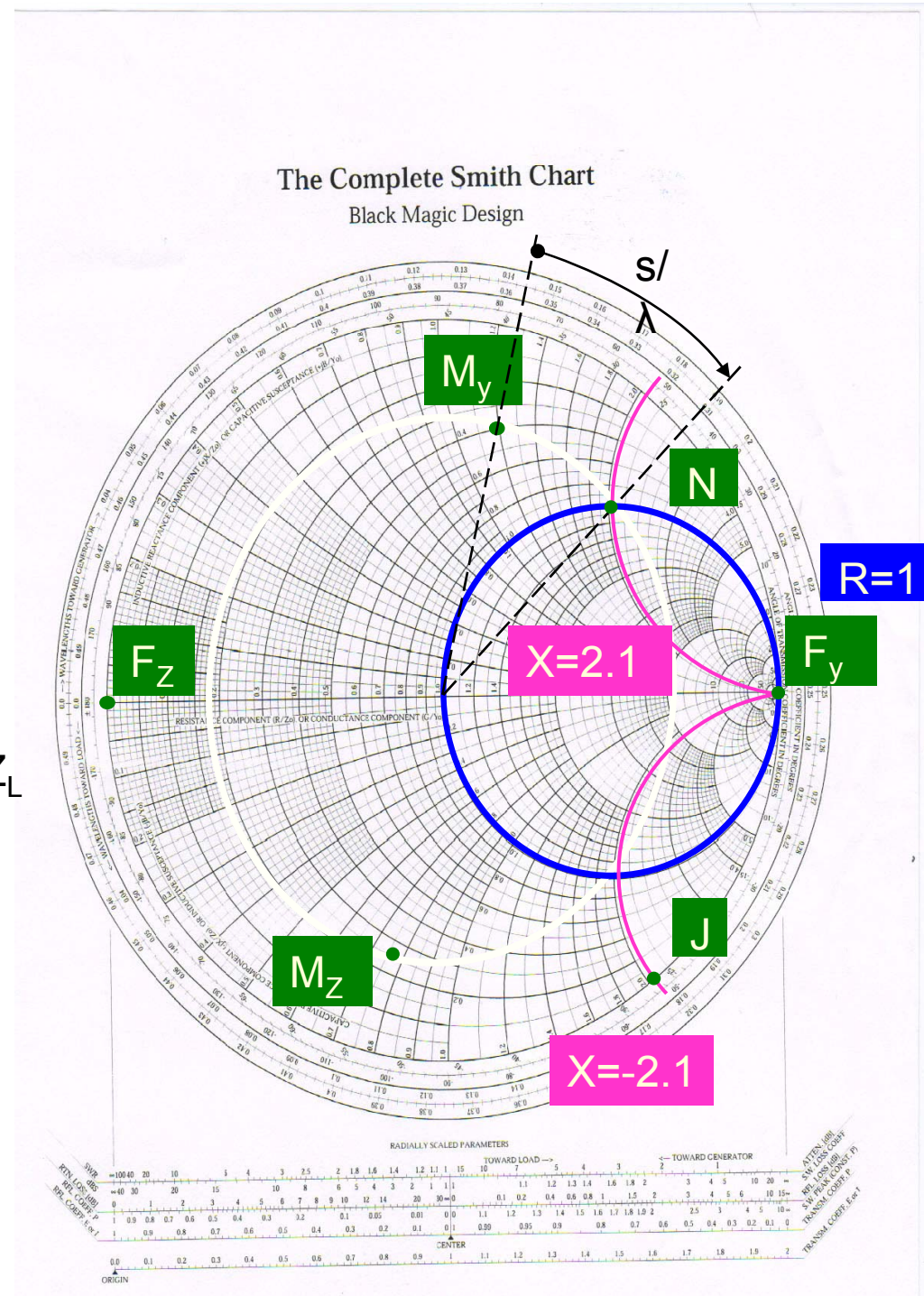
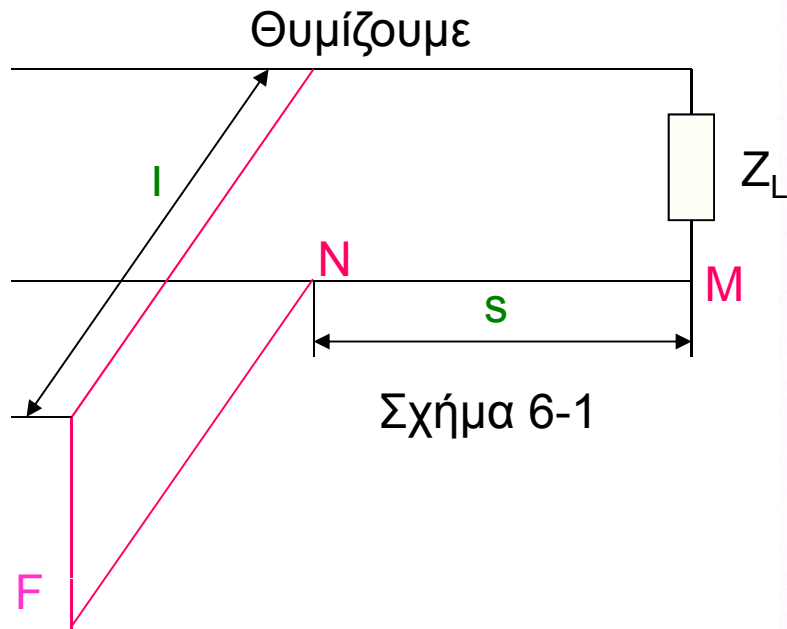
17. Το βραχυκύκλωμα ως  
 ανηγμένη αντίσταση είναι το  
 σημείο  $F_Z$ .

18. Το βραχυκύκλωμα ως  
 ανηγμένη αγωγιμότητα είναι το  
 σημείο  $F_y$ .



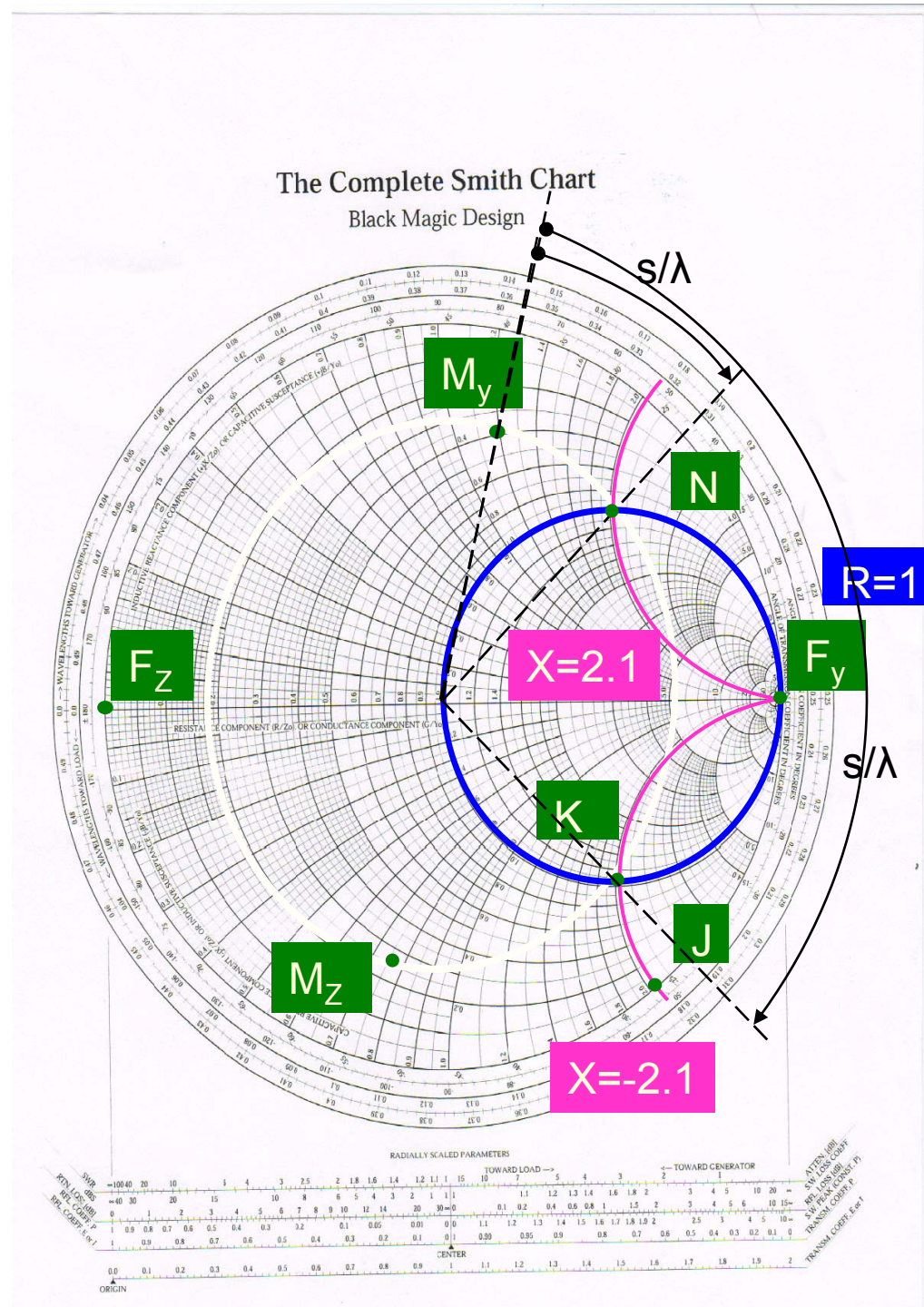
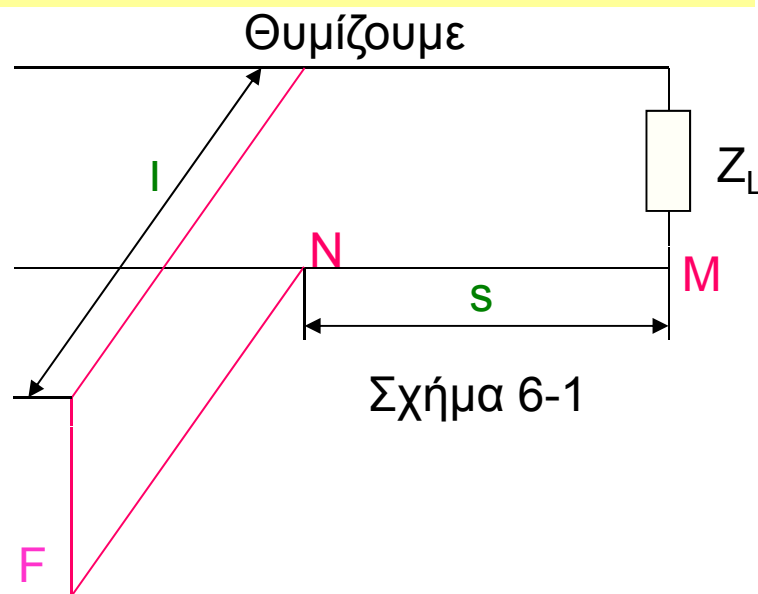
19. Εύκολα καταλαβαίνουμε ότι

$X_{\beta\rho,N} = -2.1$ . Το ζητούμενο μήκος  $l$  αντιστοιχεί στο τόξο  $F_y J$ , όπου το σημείο  $J$  αντιστοιχεί σε  $X_{\beta\rho,N} = -2.1$ . Από το τόξο αυτό βρίσκουμε ότι  $l/\lambda = 0.07$ .

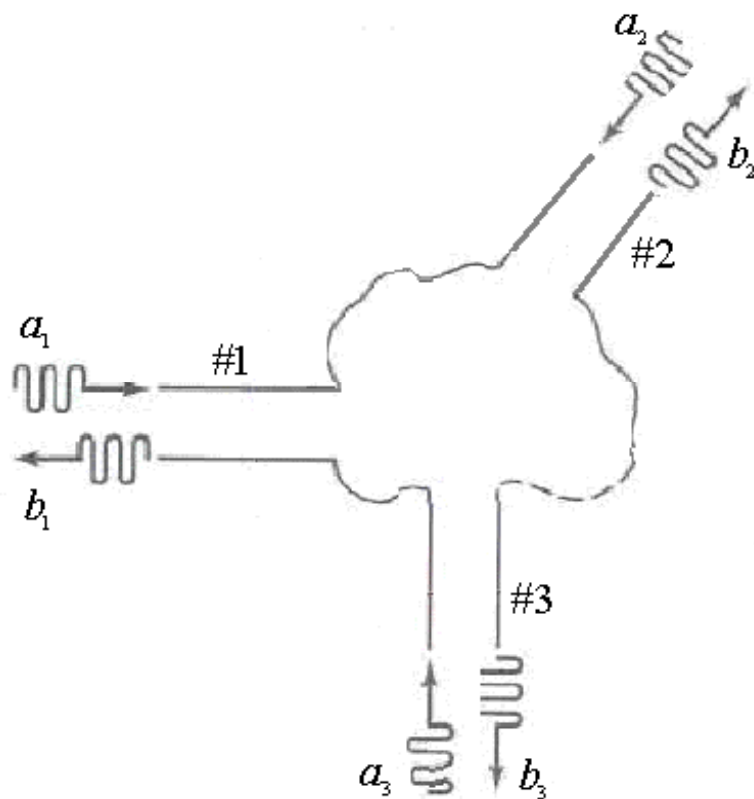


20. Η τομή του κύκλου της γραμμής μεταφοράς με τον κύκλο  $R=1$  είναι μόνο το σημείο  $N$ ;

21. Αν αντί του τόξου  $M_yN$  παίρναμε το τόξο  $M_yK$ , τότε θα είχαμε μεγαλύτερο  $s$ . Πώς θα μεταβάλλονταν τότε το μήκος  $l$ ; Ποιά είναι η βέλτιστη περίπτωση; (Αφήνεται ως άσκηση)



# ΠΑΡΑΜΕΤΡΟΙ ΣΚΕΛΑΣΗΣ (1)



Κανονικοποιημένες κυματικές τάσεις

- εισόδου  $a_i$
- εξόδου  $b_i$

$$b_1 = S_{11}a_1 + S_{12}a_2 + S_{13}a_3$$

$$b_2 = S_{21}a_1 + S_{22}a_2 + S_{23}a_3$$

$$b_3 = S_{31}a_1 + S_{32}a_2 + S_{33}a_3$$

Συντελεστής ανάκλασης στη θύρα #1

$$\rho_1 \equiv \frac{b_1}{a_1} = S_{11} + S_{12} \frac{a_2}{a_1} + S_{13} \frac{a_3}{a_1}$$

$$\rho_1 = S_{11} \Big|_{a_2=0, a_3=0}$$

Συντελεστής μεταφοράς από τη θύρα  $l$   
στη θύρα  $k$

$$S_{kl} = \frac{b_k}{a_l} \Big|_{a_i=0 \forall i \neq l}$$

# ΠΑΡΑΜΕΤΡΟΙ ΣΚΕΔΑΣΗΣ (2)

## Ιδιότητες πολύθυρων

- Χωρίς απώλειες

$$\sum_{i=1}^N P_{in,i} = \sum_{i=1}^N P_{out,i} \Leftrightarrow \sum_{i=1}^N |a_i|^2 = \sum_{i=1}^N |b_i|^2 \Rightarrow S \cdot S^{*T} = I$$

- Αμφίδρομα

$$S_{ij} = S_{ji}, \quad \forall i \neq j$$

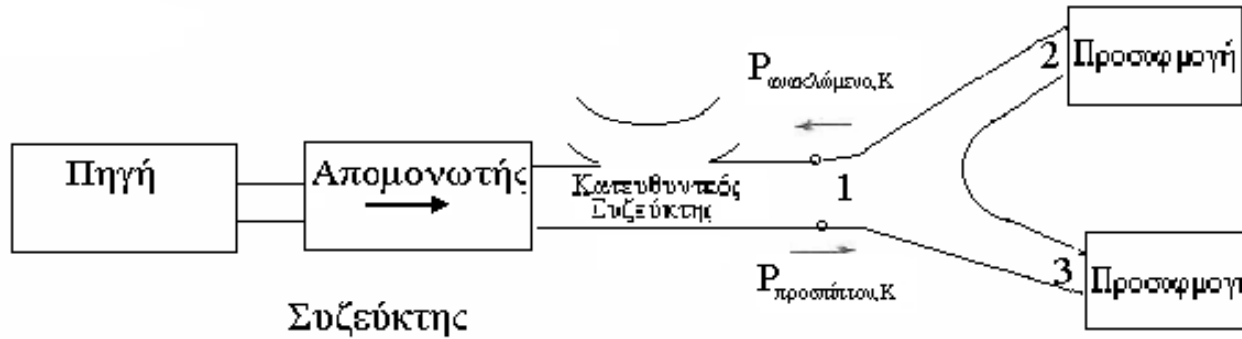
- Προσαρμοσμένα σε όλες τις θύρες τους

$$S_{ii} = 0, \quad \forall i$$



# ΠΑΡΑΜΕΤΡΟΙ ΣΚΕΔΑΣΗΣ (3)

## Μέτρηση παραμέτρου ανάκλασης $S_{ii}$

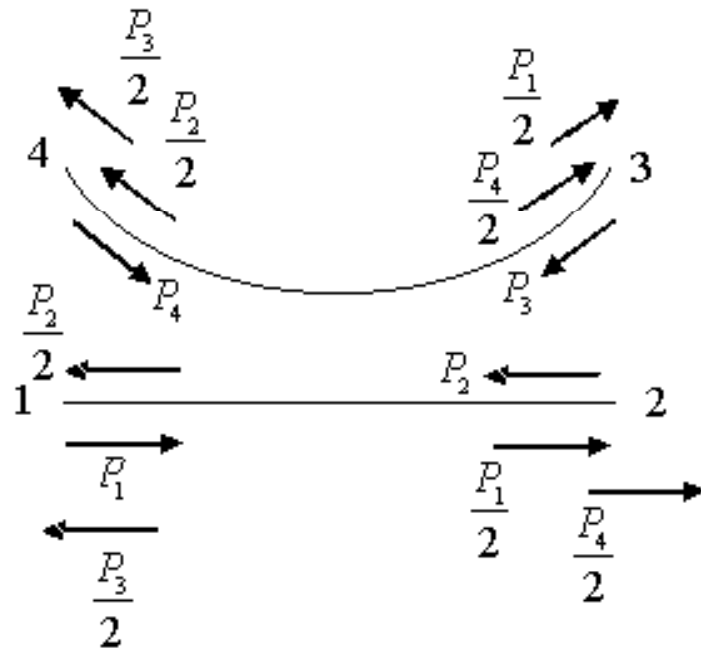


Θύρα #4 προσαρμοσμένη ( $P_4 = 0$ )

$$\Rightarrow Q_3 = \frac{P_1}{2} = P_{\pi\rho,K}$$

Θύρα #3 προσαρμοσμένη ( $P_3 = 0$ )

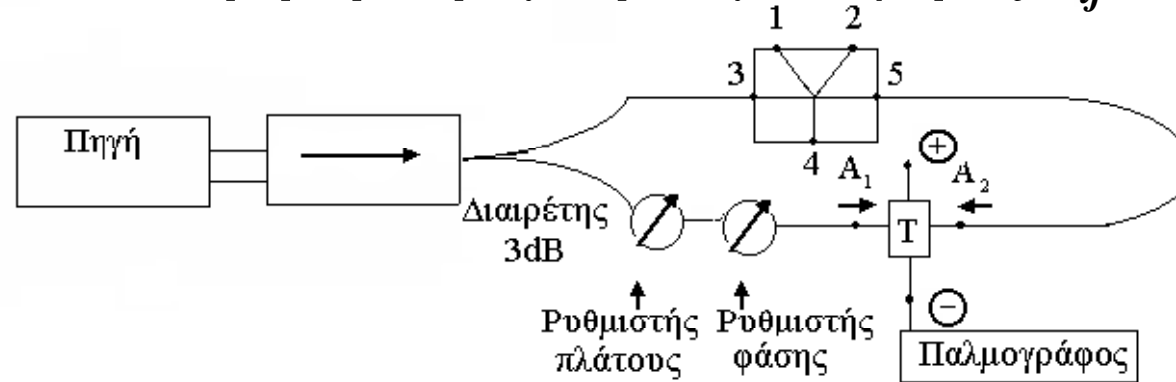
$$\Rightarrow Q_4 = \frac{1}{2} P_2 = \frac{1}{2} P_{\alpha\nu,K}$$



$$S_{11} = \frac{P_{\alpha\nu,K}}{P_{\pi\rho,K}}$$

# ΠΑΡΑΜΕΤΡΟΙ ΣΚΕΛΑΣΗΣ (4)

## Μέτρηση παραμέτρου μεταφοράς $S_{ij}$



- **Χωρίς το πολύθυρο**

Ρυθμίζουμε πλάτος και φάση ώστε  $A_1 = A_2$  (η έξοδος του παλμογράφου είναι μηδενική). Ενδείξεις ρυθμιστών:  $R_1$  ( $dB$ ),  $\varphi_1$

- **Με το πολύθυρο**

Το πολύθυρο θα προκαλέσει αλλαγή πλάτους και φάσης (η έξοδος του παλμογράφου θα είναι μη μηδενική). Με αλλαγή των ρυθμιστών σε  $R_2$  ( $dB$ ),  $\varphi_2$  (η έξοδος του παλμογράφου θα γίνει πάλι μηδενική).

$R_1 - R_2 = |S_{53}|$ ,  $\varphi_1 - \varphi_2 = \varphi_{53}$  οι υπόλοιπες 3 θύρες είναι προσαρμοσμένες.

## ΠΑΡΑΜΕΤΡΟΙ ΣΚΕΛΑΣΗΣ (5)

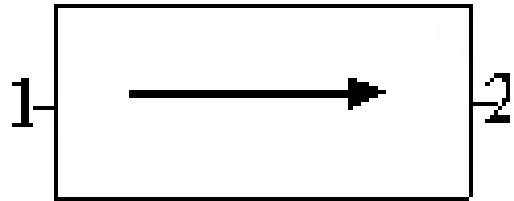
I) Για απλό κυματοδηγό



$$S = \begin{pmatrix} 0 & e^{i\phi} \\ e^{i\phi} & 0 \end{pmatrix}$$

Με κατάλληλη ρύθμιση του μήκους της γραμμής εισόδου:  $S = \begin{pmatrix} 0 & 1 \\ 1 & 0 \end{pmatrix}$

II) Για απομονωτή



$$S = \begin{pmatrix} 0 & 0 \\ 1 & 0 \end{pmatrix}$$

## ΠΑΡΑΜΕΤΡΟΙ ΣΚΕΛΑΣΗΣ (6)

III) Για εξασθενητή 3 dB



$$S = \begin{pmatrix} 0 & \frac{1}{\sqrt{2}} \\ \frac{1}{\sqrt{2}} & 0 \end{pmatrix}$$

IV) Για εξασθενητή 20 dB



$$S = \begin{pmatrix} 0 & 0.1 \\ 0.1 & 0 \end{pmatrix}$$

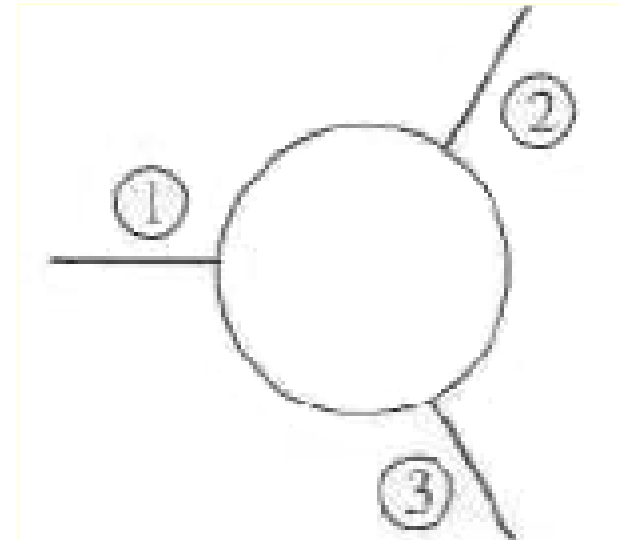
## ΠΑΡΑΜΕΤΡΟΙ ΣΚΕΛΑΣΗΣ (7)

**Άσκηση 7.** Μικροκυματικό τρίθυρο χωρίς απώλειες είναι προσαρμοσμένο σε όλες τις θύρες του, μη αμφίδρομο και με  $S_{21} \neq 0$ . Να βρεθεί η μήτρα σκέδασης του τριθύρου.

**Λύση**

$$S = \begin{pmatrix} 0 & S_{12} & S_{13} \\ S_{21} & 0 & S_{23} \\ S_{31} & S_{32} & 0 \end{pmatrix} \Rightarrow S^{*T} = \begin{pmatrix} 0 & S_{21}^* & S_{31}^* \\ S_{12}^* & 0 & S_{32}^* \\ S_{13}^* & S_{23}^* & 0 \end{pmatrix}$$

$$S \cdot S^{*T} = I \Rightarrow \left\{ \begin{array}{l} |S_{12}|^2 + |S_{13}|^2 = 1 \quad (\text{a}) \\ S_{13} S_{23}^* = 0 = S_{13}^* S_{23} \quad (\text{b}) \\ S_{12} S_{32}^* = 0 = S_{32} S_{12}^* \quad (\text{c}) \\ |S_{21}|^2 + |S_{23}|^2 = 1 \quad (\text{d}) \\ S_{21} S_{31}^* = 0 = S_{31} S_{21}^* \quad (\text{e}) \\ |S_{31}|^2 + |S_{32}|^2 = 1 \quad (\text{f}) \end{array} \right.$$



## ΠΑΡΑΜΕΤΡΟΙ ΣΚΕΛΑΣΗΣ (8)

$$S_{21} \neq 0, (e) \Rightarrow S_{31} = 0 \quad (1)$$

$$(f), (1) \Rightarrow |S_{32}| = 1 \Rightarrow S_{32} = e^{i\varphi_{32}} \quad (2)$$

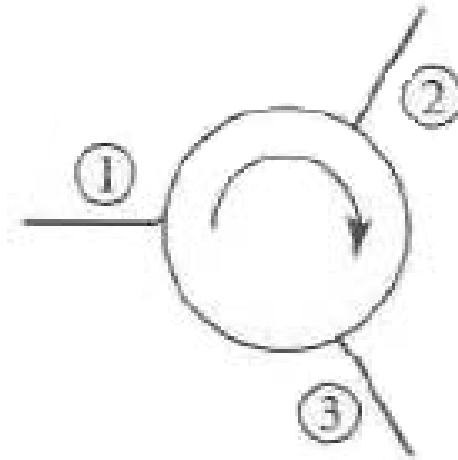
$$(c), (2) \Rightarrow S_{12} = 0 \quad (3)$$

$$(a), (3) \Rightarrow |S_{13}| = 1 \Rightarrow S_{13} = e^{i\varphi_{13}} \quad (4)$$

$$(b), (4) \Rightarrow S_{23} = 0 \quad (5)$$

$$(d), (5) \Rightarrow |S_{21}| = 1 \Rightarrow S_{21} = e^{i\varphi_{21}} \quad (6)$$

$$\Rightarrow S = \begin{pmatrix} 0 & 0 & e^{i\varphi_{13}} \\ e^{i\varphi_{21}} & 0 & 0 \\ 0 & e^{i\varphi_{32}} & 0 \end{pmatrix}$$



"Δεξιόστροφος κυκλοφορητής"

Για "αριστερόστροφο κυκλοφορητή" θα έπρεπε  $S_{12} \neq 0$

## ΠΑΡΑΜΕΤΡΟΙ ΣΚΕΔΑΣΗΣ (9)

**Άσκηση 8.** Μικροκυματικό τετράθυρο αμφίδρομο και χωρίς απώλειες είναι προσαρμοσμένο σε όλες τις θύρες του, οι θύρες του 1 και 4 είναι ασύζευκτες,  $S_{12}=k \in \mathcal{R}$  και  $S_{13}=S_{24}$ . Να υπολογιστεί η μήτρα σκέδασης του τετράθυρου και να βρεθεί η ισχύς που βγαίνει από κάθε θύρα του, αν η ισχύς εισόδου στη θύρα 1 είναι 1 mW.

**Λύση**

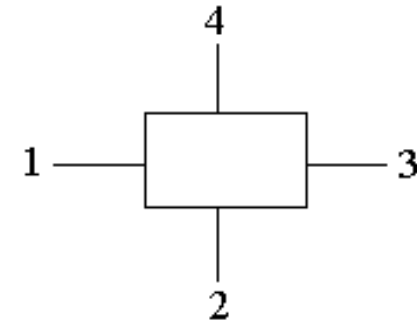
$$\begin{pmatrix} b_1 \\ b_2 \\ b_3 \\ b_4 \end{pmatrix} = \begin{pmatrix} 0 & S_{12} & S_{13} & 0 \\ S_{12} & 0 & S_{23} & S_{13} \\ S_{13} & S_{23} & 0 & S_{34} \\ 0 & S_{13} & S_{34} & 0 \end{pmatrix} \begin{pmatrix} a_1 \\ 0 \\ 0 \\ 0 \end{pmatrix}$$

$$b_1 = 0$$

$$b_2 = S_{12}a_1 \Rightarrow |b_2|^2 = |S_{12}|^2 |a_1|^2 = k^2 \text{ mW}$$

$$b_3 = S_{13}a_1 \Rightarrow |b_3|^2 = |S_{13}|^2 |a_1|^2 = (1 - k^2) \text{ mW}$$

$$b_4 = 0$$



## ΠΑΡΑΜΕΤΡΟΙ ΣΚΕΛΑΣΗΣ (10)

$$\mathcal{S} \cdot \mathcal{S}^{*T} = \begin{pmatrix} 0 & \mathcal{S}_{12} & \mathcal{S}_{13} & 0 \\ \mathcal{S}_{12} & 0 & \mathcal{S}_{23} & \mathcal{S}_{13} \\ \mathcal{S}_{13} & \mathcal{S}_{23} & 0 & \mathcal{S}_{34} \\ 0 & \mathcal{S}_{13} & \mathcal{S}_{34} & 0 \end{pmatrix} \begin{pmatrix} 0 & \mathcal{S}_{12} & \mathcal{S}_{13} & 0 \\ \mathcal{S}_{12} & 0 & \mathcal{S}_{23} & \mathcal{S}_{13} \\ \mathcal{S}_{13} & \mathcal{S}_{23} & 0 & \mathcal{S}_{34} \\ 0 & \mathcal{S}_{13} & \mathcal{S}_{34} & 0 \end{pmatrix} = \mathbf{I}$$

$$\Rightarrow |\mathcal{S}_{12}|^2 + |\mathcal{S}_{13}|^2 = 1 \Rightarrow |\mathcal{S}_{13}| = \sqrt{1 - k^2}$$

$$\mathcal{S}_{13} \mathcal{S}_{23}^* = 0 \Rightarrow \mathcal{S}_{23} = 0$$

$$\mathcal{S}_{12} \mathcal{S}_{13}^* + \mathcal{S}_{13} \mathcal{S}_{34}^* = 0$$

$$|\mathcal{S}_{12}|^2 + |\mathcal{S}_{23}|^2 + |\mathcal{S}_{13}|^2 = 1$$

$$\mathcal{S}_{23} \mathcal{S}_{34}^* = 0$$

$$|\mathcal{S}_{13}|^2 + |\mathcal{S}_{23}|^2 + |\mathcal{S}_{34}|^2 = 1$$

$$|\mathcal{S}_{13}|^2 + |\mathcal{S}_{34}|^2 = 1 \Rightarrow |\mathcal{S}_{34}| = k$$



## ΠΑΡΑΜΕΤΡΟΙ ΣΚΕΛΑΣΗΣ (11)

$$\begin{pmatrix} 0 & S_{12} & S_{13} & 0 \\ S_{12} & 0 & S_{23} & S_{13} \\ S_{13} & S_{23} & 0 & S_{34} \\ 0 & S_{13} & S_{34} & 0 \end{pmatrix} = \begin{pmatrix} 0 & k & \sqrt{1-k^2} e^{i\varphi_{13}} & 0 \\ k & 0 & 0 & \sqrt{1-k^2} e^{i\varphi_{13}} \\ \sqrt{1-k^2} e^{i\varphi_{13}} & 0 & 0 & ke^{i\varphi_{34}} \\ 0 & \sqrt{1-k^2} e^{i\varphi_{13}} & ke^{i\varphi_{34}} & 0 \end{pmatrix}$$

$$\Rightarrow k\sqrt{1-k^2} e^{-i\varphi_{13}} + \sqrt{1-k^2} e^{i\varphi_{13}} ke^{-i\varphi_{34}} = 0$$

$$e^{-i\varphi_{13}} = e^{-i\varphi_{13}} = -e^{i(\varphi_{13}-\varphi_{34})} = e^{i(\pi+\varphi_{13}-\varphi_{34})}$$

$$-\varphi_{13} = \pi + \varphi_{13} - \varphi_{34}$$

$$2\varphi_{13} - \varphi_{34} + \pi = 0$$

$$\varphi_{34} = 0 \Rightarrow \varphi_{13} = -\frac{\pi}{2}$$

## ΒΙΒΛΙΟΓΡΑΦΙΑ

- Ε. Λεκατσά, *Εισαγωγή στη Θεωρία των Μικροκυματικών Στοιχείων*, Εκδόσεις Σελλούντος, 1979.
- C. Balanis, *Advanced Engineering Electromagnetics*, J. Wiley, 1989.
- Ι. Σάχαλου, *Μικροκύματα.*, Εκδόσεις Αϊβαζή-Ζουμπούλη, 1990.
- F. Benson and T. Benson, *Fields, Waves and Transmission Lines*, Chapman & Hall, 1991.
- R. Collin, *Field Theory of Guided Waves*, IEEE Press, 1991.
- R. Collin, *Foundations for Microwave Engineering*, 2<sup>nd</sup> Edition, McGraw-Hill, 1992.
- S. Ramo et al., *Fields & Waves in Communication Electronics*, J. Wiley, 1992.
- Ν. Ουζούνογλου, *Εισαγωγή στα Μικροκύματα*, Εκδόσεις Παπασωτηρίου 1994.

## ΒΙΒΛΙΟΓΡΑΦΙΑ (συνέχεια)

- L. C. Chen και J. A. Kong, *Εφαρμοσμένος Ηλεκτρομαγνητισμός*, Μετάφραση Κ. Λιολιούση, Εκδόσεις Ίων, 1995.
- Σ. Λιβιεράτος και Χ. Βαζούρας, *Εργαστήριο Μικροκυμάτων – Κεραιών*, Σχολή Ναυτικών Δοκίμων, 1997.
- D. Pozar, *Μικροκυματική Τεχνολογία*, Μετάφραση Κ. Λιολιούση, Εκδόσεις Ίων, 1998.
- Κ. Λιολιούση, *Μικροκύματα Ι*, Εκδόσεις Ίων 2000.